

INSTITUTO DE CIBERNETICA, MATEMATICA Y FISICA

**METODOS NO PERTURBATIVOS  
EN LA MECANICA CUANTICA  
DE TRES O MAS PARTICULAS**

Augusto de Jesús González García

Resumen de la Tesis en opción al grado de Doctor en Ciencias

Ciudad de La Habana, Cuba

Diciembre del 2005



## A la memoria de mis padres

### Agradecimientos

En primer lugar, quisiera reconocer al Prof. D.A. Kirzhnits (fallecido en 1998), ya que muchos de los trabajos incluidos en la tesis se inspiran en la actividad desarrollada bajo su tutoría de 1986 a 1990.

A Hugo Pérez Rojas, Alejandro Cabo y el resto de los compañeros del Grupo de Física Teórica del ICIMAF les estoy en deuda por las numerosas discusiones científicas y el ambiente camaraderil que se ha establecido en el grupo.

Debo agradecer también a un conjunto grande de coautores de los trabajos reportados, entre los cuales quiero destacar a Ricardo Pérez, Boris Rodríguez, Alain Delgado y Herbert Vinck.

Y, finalmente, quisiera dejar plasmado el agradecimiento grande a mi familia por su comprensión y apoyo.

## Resumen

En la presente tesis se reporta un conjunto de investigaciones teóricas realizadas por el autor en el periodo de 1991 a 2005, es decir, con posterioridad a la defensa de su Tesis de Candidato a Doctor en Ciencias Físico - Matemáticas en 1990 en el Instituto de Física P.N. Lebedev de Moscú. Los sistemas físicos que se estudian abarcan modelos de quarks de bariones, clusters atómicos, átomos confinados en trampas, así como electrones y excitones en puntos cuánticos. El común denominador de todos ellos es que son descritos por la Mecánica Cuántica no relativista y que se componen de tres o más partículas. Incluso para el sistema más pequeño considerado, el de tres partículas, no existen soluciones analíticas exactas que permitan hacer comparaciones o den una visión cualitativa de sus propiedades. Por otro lado, en un problema donde intervienen decenas o centenares de partículas aparecen fenómenos nuevos como excitaciones colectivas (“plasmones”) y otros que son determinantes en la explicación de sus características. Los métodos utilizados en el estudio de estos sistemas van desde la diagonalización directa acompañada por el algoritmo de Lanczos y algunos métodos analíticos (la expansión en potencias de  $1/D$ , la cuantización semiclassical en conjunción con transformaciones canónicas, etc) en los sistemas más pequeños (menos de 6 partículas), hasta métodos aproximados en los más grandes (de 7 a cientos de partículas) como, por ejemplo, los aproximantes dobles de Padé, el método variacional de Monte Carlo, Hartree-Fock y la aproximación de fase aleatoria (RPA) en su versión de Física Nuclear para sistemas finitos, la aproximación BCS y el algoritmo de Bethe-Goldstone de la Física Nuclear. El rasgo común de todos estos métodos es su carácter no perturbativo y la necesidad de recursos computacionales relativamente importantes. El autor y sus colaboradores han utilizado diversas estrategias para optimizar los procedimientos reduciendo así el costo computacional. Un ejemplo ilustrativo es el caso estudiado de 12 electrones en un campo magnético intenso donde la matriz hamiltoniana, de dimensión superior a 170 millones, es imposible de diagonalizar directamente y, sin embargo, sus autovalores más bajos fueron hallados utilizando una combinación del algoritmo de Lanczos con la teoría de perturbaciones degenerada de segundo orden. Las propiedades físicas estudiadas abarcan los espectros de energías, las densidades, la textura del espín, el radio cuadrático medio, la absorción y emisión de luz en distintas frecuencias, la dispersión inelástica de la luz y la evolución dinámica hasta llegar a un régimen estacionario. En algunos de los casos, el autor y sus colaboradores han sido los primeros, o incluso los únicos, que han descrito determinadas características de estos sistemas tan complejos. Para citar un ejemplo, no existen en la literatura científica otros cálculos de dispersión inelástica (Raman) de luz en puntos cuánticos semiconductores con más de 40 electrones, aún cuando los experimentos reportados estiman que el número de electrones puede llegar hasta 200. En general, la novedad del trabajo que se presenta consiste en la aplicación por primera vez de métodos, desarrollados con anterioridad o utilizados en otras ramas de la Física, al estudio de problemas en que intervienen desde tres hasta decenas o cientos de partículas y cuya fenomenología es nueva y está en plena discusión en la literatura científica del momento. Utilizando estos métodos se han hecho predicciones importantes sobre propiedades de los sistemas físicos estudiados, que pueden ser sin dudas verificadas experimentalmente. Entre ellas podemos citar, por ejemplo, la existencia de resonancias gigantes en la absorción óptica de puntos cuánticos fuertemente excitados o la aparición de discontinuidades en la densidad de estados de puntos cuánticos con pocos electrones bajo campos magnéticos intensos.

# Índice General

<b>1</b>	<b>Introducción</b>	<b>8</b>
1.1	Unidad de la tesis . . . . .	8
1.2	Complejidad de la temática abordada . . . . .	9
1.3	Novedad del trabajo de tesis . . . . .	10
1.4	Estructura de la tesis . . . . .	13
1.5	Avales de la tesis . . . . .	14
1.5.1	Participación en Conferencias . . . . .	14
1.5.2	Trabajos de Diploma, M.C. y Dr. en Física relacionados con la tesis . . .	16
1.5.3	Dirección de proyectos de investigación . . . . .	16
1.5.4	Reconocimientos . . . . .	17
1.5.5	Citas a los trabajos presentados . . . . .	17
<b>2</b>	<b>Descripción técnica abreviada</b>	<b>18</b>
2.1	El desarrollo en potencias de $1/D$ y su aplicación en hadrones, conglomerados atómicos y puntos	
2.1.1	Razón entre los radios cuadráticos medios de bariones y mesones . . . . .	20
2.1.2	Energías de ligadura y de excitación en clusters atómicos con interacción de Lennard-Jon	
2.1.3	Espectro de energías de pocos electrones en un punto cuántico . . . . .	23
2.2	Cuantización semiclásica y supersimetría en Mecánica Cuántica. Vibraciones moleculares	25
2.3	El método de los aproximantes dobles de Padé en sistemas con decenas de electrones o de átomos	
2.3.1	Energía del estado base de puntos cuánticos con decenas o cientos de electrones	29
2.3.2	Aproximaciones analíticas a la solución de la ecuación de Gross-Pitaevskii para bosones e	
2.4	La función BCS y las ecuaciones de Bethe-Goldstone para sistemas multiexcitónicos confinados	
2.4.1	La transición al régimen BCS, la luminiscencia coherente y otras propiedades de sistemas	
2.4.2	Dinámica de un punto cuántico acoplado a una microcavidad óptica . . .	37
2.4.3	Energía de excitones múltiplemente cargados a partir de la ecuación de Bethe-Goldstone	
2.5	El método de Monte Carlo variacional en la descripción de bosones en trampas y la proyección p	

2.5.1	Energía de sistemas de bosones cargados en trampas de átomos . . . . .	41
2.5.2	Proyección estocástica de la función BCS . . . . .	43
2.6	La diagonalización exacta y el algoritmo de Lanczos. Aplicación a puntos cuánticos pequeños	45
2.6.1	Absorción y luminiscencia inter-banda en puntos cuánticos bajo campos magnéticos muy	
2.6.2	Tunelamiento resonante a través de un punto cuántico . . . . .	46
2.6.3	Densidad de niveles de energía en un punto cuántico con 6 electrones . .	48
2.6.4	Transiciones ópticas intra-bandas en el biexcitón . . . . .	50
2.6.5	Absorción intra-banda por excitones múltiplemente cargados . . . . .	51
2.7	La aplicación de los métodos de Hartree-Fock y de la fase aleatoria (RPA) a puntos cuánticos gr	
2.7.1	Resonancias dipolares gigantes en sistemas neutros de electrones y huecos	54
2.7.2	Dispersión inelástica de luz (Raman) en puntos cuánticos . . . . .	56
2.8	La teoría degenerada de perturbaciones a segundo orden en puntos cuánticos de tamaño interme	
<b>3</b>	<b>Conclusiones y perspectivas</b>	<b>62</b>
	<b>Bibliografía</b>	<b>65</b>

# Capítulo 1

## Introducción

### 1.1 Unidad de la tesis

La presente tesis de doctorado en ciencias ha sido diseñada a posteriori, es decir después que los trabajos que la constituyen fueron concluídos. A lo largo de estos 15 años el autor ha abordado problemas con fenomenología diversa que abarcan sistemas de la Física subnuclear, los conglomerados (clusters) de átomos, el condensado de Bose, los denominados átomos artificiales (electrones en un punto cuántico) y sistemas que exhiben una gran analogía con los núcleos atómicos (multiexcitones en puntos cuánticos). Fue una sorpresa para el autor descubrir la unidad en esta multitud y darse cuenta que la misma se basa en el impulso recibido durante el trabajo de candidatura en Moscú en el intervalo de 1986 a 1990.

Así, en la candidatura que se culminó en 1990, siguiendo una sugerencia del Prof. D.A. Kirzhnits, se abordaron principalmente problemas de 3 y 4 partículas en la Física Nuclear y Atómica. El foco de atención eran los autovalores mas bajos de energía y, muy especialmente, la obtención de relaciones universales, es decir independientes del potencial de interacción entre las partículas.

En el trabajo posterior, que constituye el grueso de la presente tesis, se amplió el rango de los sistemas considerados, llegando a estudiar problemas con 400 partículas, se diversificaron los métodos utilizados en este estudio y se amplió sobremanera la fenomenología tratada, que ahora comprendió no sólo otras propiedades estáticas de estos sistemas sino, además, algunos aspectos de la óptica lineal y no lineal de los mismos y de la dinámica en condiciones de transiente. El espíritu, sin embargo, se puede afirmar que es el mismo: el estudio de sistemas de 3 o mas partículas utilizando métodos esencialmente no perturbativos.

El conjunto de artículos reportados como soporte de la tesis [1] – [39] responden a esta unidad. Han quedado excluídos sólo 3 trabajos, concluídos también en este periodo, que abordan, respectivamente, la distribución de corrientes en el efecto Hall cuántico entero [40], la analogía entre un problema de Dirichlet no lineal y las ecuaciones de Newton con fricción [41] y un comentario sobre las trampas atómicas [42]. El autor considera que estos 3 artículos se apartan de la línea general.

## 1.2 Complejidad de la temática abordada

El problema (clásico o cuántico) de una partícula moviéndose en un campo exterior tiene grandes atractivos. Por un lado, es el sistema conceptualmente más simple, donde muchas de las regularidades de la Física se ponen de manifiesto. El análisis cualitativo de muchos procesos físicos se basa en un cuadro de partículas independientes, donde las interacciones entre los cuerpos se desprecian en una primera aproximación. Así, por ejemplo, muchas propiedades electrónicas de los semiconductores pueden comprenderse sobre la base de este esquema. Por otro lado, se conoce una multitud de soluciones analíticas correspondientes a distintos potenciales externos con cierta simetría. Estas soluciones analíticas ofrecen un punto de partida para análisis perturbativos o sirven de bases para la descripción numérica de problemas en que no existe la solución exacta. El caso de dos cuerpos interactuando a través de fuerzas centrales se reduce al de una partícula en un campo exterior.

En contraposición, los problemas físicos en que participan más de dos cuerpos interactuantes son reconocidos como extremadamente complejos. Por ejemplo, el problema clásico gravitatorio de tres cuerpos: sol - tierra - luna, con una historia científica de cientos de años, permanece retando a los científicos hasta nuestros días [43] y, aún cuando las ecuaciones de Newton para tres partículas se pueden integrar numéricamente, la comprensión cualitativa de su dinámica dista mucho de ser completa.

En el ámbito cuántico, a la complejidad natural del problema de tres cuerpos se le suma el hecho de que a veces la Mecánica Cuántica contradice la intuición clásica. Un ejemplo muy ilustrativo es el denominado efecto Efimov [44]. Para dos partículas con interacción de corto alcance atractiva que escribiremos  $g V(r)$ , donde se ha separado explícitamente la constante adimensional  $g$ , existe un valor umbral  $g_0$  en el cual aparece un estado ligado. Es decir cuando  $g < g_0$  no hay estado ligado, mientras que cuando  $g > g_0$  sí lo hay. Consideremos ahora el sistema de tres cuerpos con interacción por pares cuando  $g$  toma el valor umbral. En ese caso existe una sucesión infinita de estados ligados cuyas energías tienden a cero. La mayoría de esos estados desaparece al aumentar  $g$ , quedando sólo el base. Esto es algo difícil de asimilar desde el punto de vista intuitivo.

Grandes dificultades aparecieron en los años 60 durante el estudio de los estados de tres cuerpos con energía mayor que cero (estados dispersivos) vinculadas al comportamiento asintótico de la función de onda. La motivación en este caso fueron los experimentos de dispersión neutrón - deuterio en Física Nuclear o electrón - átomo de Hidrógeno en Física Atómica. Estas dificultades fueron resueltas con la reformulación de la ecuación de Schrodinger como un sistema de tres ecuaciones acopladas que se conocen como ecuaciones de Fadeev [45]. La demostración de que se puede construir una base completa de funciones para el problema de dispersión fue posible en este marco. La generalización al problema de  $N$  cuerpos interactuantes se hizo casi inmediatamente después [45].

Con respecto a la existencia de soluciones analíticas exactas en un sistema cuántico de  $N$  partículas debemos decir que se conocen un conjunto de soluciones en el caso de movimiento en una dimensión [46], las cuales se relacionan con propiedades de simetría de los correspondientes hamiltonianos. Para el caso de movimiento en dimensión mayor o igual a dos prácticamente no se conocen soluciones exactas, excepto el caso (trivial) de interacción con potenciales armónicos, el cual con una transformación de coordenadas se reduce al problema de  $N$  osciladores independientes.

Por otro lado, en la solución numérica del problema de  $N = 1$  partícula, el procedimiento usual es construir una base de funciones y expresar el hamiltoniano del problema como una matriz en esta base. El número de funciones,  $N_{1part}$ , coincide con la dimensión de la matriz hamiltoniana. Usualmente los primeros autovalores y autovectores de esta matriz, digamos los 20 primeros, son responsables de muchas de las propiedades físicas. Para hallar con suficiente precisión estos 20 autovalores uno toma una base con  $N_{1part} = 200$ , por ejemplo. La dificultad que surge al utilizar este método en el caso de  $N \geq 2$  partículas es de naturaleza puramente combinatoria. Con  $N_{1part}$  estados uniparticulares uno puede formar  $N_{1part}!/((N_{1part} - N)!N!)$  estados del sistema de  $N$  partículas. En el caso  $N_{1part} = 200$ , por ejemplo, el número de estados es mayor que 64 millones sólo en el caso  $N = 4$ . Y la diagonalización de una matriz de este tamaño es prácticamente imposible. Uno puede reducir la dimensión utilizando leyes de conservación, como la del momento angular, que nos permiten trabajar en subespacios mas pequeños. Pero, en la práctica, los sistemas con 6 - 8 partículas son casos límites.

La mayoría de los problemas tratados en la presente tesis clasifican en el grupo donde la diagonalización exacta no es posible. Por esa razón, los métodos utilizados hacen determinadas aproximaciones. Sin embargo, en todos los casos el tratamiento de la interacción entre las partículas es exacto en todo orden de aproximación, es decir son métodos esencialmente no perturbativos.

### 1.3 Novedad del trabajo de tesis

En general, la novedad del trabajo que se presenta consiste en la aplicación por vez primera de métodos, desarrollados con anterioridad o utilizados en otras ramas de la Física, al estudio de problemas en que intervienen varias partículas y cuya fenomenología es nueva y está en plena discusión en la literatura científica del momento. Utilizando estos métodos se han hecho predicciones importantes sobre diversas propiedades de los sistemas físicos estudiados, muchas de las cuales pueden ser, sin dudas, verificadas experimentalmente.

Así por ejemplo, en la Ref. [1] se estudian sistemas de varias partículas en una dimensión. El método aquí es la supersimetría [47], que en las Teorías de Campos tiene un significado mas profundo, pero en la Mecánica Cuántica puede verse simplemente como una metódica para construir hamiltonianos casi isoenergéticos. El caso de una partícula en un potencial externo se había tratado en el trabajo [48]. En [1] se construyeron potenciales de interacción entre  $N$  partículas en una dimensión para los cuales se conoce exactamente la energía y la función de onda del estado base.

La supersimetría en conjunción con la cuantización semiclásica y las transformaciones canónicas se utilizó en los artículos [5, 6, 7, 8] para obtener los estados excitados de moléculas lineales y los estados de tres partículas con momento angular total igual a cero. Para una partícula en una dimensión ya se había reportado que una regla de Bohr-Sommerfeld modificada a sugerencia de la supersimetría era exacta en cierta clase de potenciales [49, 50, 51]. Pero la extensión al caso de varias partículas de la receta de cuantización semiclásica modificada por la supersimetría y la utilización de las transformaciones canónicas para reducir el hamiltoniano a una forma normal, fácilmente cuantizable, fue realizado, por primera vez, por nosotros.

Los trabajos [2, 3], [4] y [9, 10, 13, 15] son reminiscentes directos del trabajo de candidatura. En ellos se empleó el denominado método  $1/D$  consistente en utilizar el inverso de la

dimensión espacial (o del momento angular) como parámetro no perturbativo en la ecuación de Schrodinger [52]. En el artículo [2] se relacionaron los tamaños de los hadrones (compuestos de tres quarks, entre ellos el protón, por ej.) y de los mesones (compuestos de un quark y un antiquark) y se hizo una comparación cualitativa con resultados experimentales. Las relaciones se obtienen en la aproximación principal del método  $1/D$ . En la Ref. [3] el método se utilizó para obtener el espectro de mesones en un modelo relativista con interacciones armónicas, propuesto por Moshinsky. En el trabajo [4] la energía de ligadura y el espectro de excitaciones de conglomerados de átomos de gases nobles que contienen hasta 13 átomos fueron obtenidas y comparadas con simulaciones numéricas que utilizaron el mismo potencial de Lennard-Jones. En los artículos [9, 10, 13, 15] el interés se desplazó hacia sistemas del estado sólido como el excitón en un pozo cuántico [9], pocos electrones en un punto cuántico [10, 13] y anyones confinados [15]. Se puede decir que el aporte principal en todos estos casos es la utilización del cuadro cualitativo que brinda el método  $1/D$  al análisis de propiedades físicas tales como el espectro energético, el radio cuadrático medio y otras de sistemas que contienen hasta 13 partículas. La aplicación de este método a problemas con tres o más partículas fue iniciada por Herschbach en el estudio de iones de tipo He [53, 52]. Mas adelante se extendió a los átomos multielectrónicos [54]. Pero la utilización en otros sistemas de la Física Atómica, subnuclear y de la Física del Estado Sólido es de nuestra autoría.

El método de los aproximantes dobles de Padé fue utilizado por primera vez en los trabajos [11, 12, 14, 16, 17] para obtener aproximaciones analíticas a la energía del estado base y los primeros estados excitados de electrones en puntos cuánticos y átomos con espín entero (bosones) confinados en trampas. Los aproximantes de Padé fueron ampliamente empleados en otras áreas de la Física como, por ejemplo la teoría de transiciones de fase. Nosotros lo conocimos a través del trabajo de MacDonald y Ritchie [55] donde se estudian los niveles del excitón. La idea es sencilla: si se conocen las series perturbativas de la energía alrededor de los puntos  $\beta_0$  y  $\beta_1$ , entonces con el aproximante se construye una aproximación analítica a la energía en todo el intervalo  $(\beta_0, \beta_1)$ . En el caso de electrones en un punto cuántico, por ejemplo, donde  $\beta$  es la fortaleza de la interacción de Coulomb entre electrones, el caso  $\beta \rightarrow 0$  se puede tratar por teoría de perturbaciones y el caso  $\beta \rightarrow \infty$  también se puede resolver semi-analíticamente y corresponde a una versión finita del llamado cristal de Wigner. En el artículo [11], sistemas de hasta 5 electrones en un punto cuántico fueron tratados por este método. Mas tarde el número de electrones se elevó hasta 210 [14]. Por otro lado, en las Refs. [16, 17] se estudiaron sistemas de bosones. En el trabajo [16] se hizo uso de los dos límites analíticos de la ecuación de Gross-Pitaevskii: la teoría de perturbaciones cuando la interacción entre átomos es muy débil y el denominado límite de Thomas-Fermi cuando la interacción es muy fuerte [56]. Con ellos se construyó el aproximante de Padé. En la Ref. [17] se estudió la energía del estado base de hasta 200 bosones confinados en una trampa y con interacción de Coulomb entre ellos (iones). Como comparación, se hizo un cálculo por Monte Carlo variacional [57] de la misma magnitud ofreciendo muy buenos resultados. Por último, en el trabajo [12] se hizo uso de dos desarrollos en serie para construir una teoría de perturbaciones “renormalizada” que en espíritu es similar a los Padé. El sistema estudiado fue la impureza donora en un pozo cuántico de barrera finita. En todos estos casos, los aproximantes de Padé ofrecieron aproximaciones analíticas a las propiedades exactas de los sistemas físicos con errores que no rebasaron el 3 %.

En los trabajos [18, 19, 25, 35, 36] se hace uso extensivo de la denominada función BCS para describir el apareamiento de fermiones. Esta función es la base de la teoría clásica de la superconductividad y ha sido también muy empleada en la teoría del núcleo atómico [58].

Nosotros la utilizamos por primera vez para estudiar sistemas con un número finito de pares electrón-hueco confinados en un punto cuántico. Los mismos se logran bombardeando el punto cuántico con láseres de gran intensidad. En el artículo [19] el énfasis se puso en la región de alta densidad de pares y la transición a un régimen del tipo BCS cuando la densidad disminuye. El sistema mas grande analizado contenía 210 pares, es decir mas de 400 partículas. En la Ref. [25] estudiamos la textura del espín y la luminiscencia cuando el punto cuántico se halla bajo la influencia de un campo magnético fuerte. Debido al apareamiento y el carácter cuasi-bosónico de los pares, la luminiscencia manifiesta un reforzamiento coherente. En el trabajo [35] estudiamos los efectos de la interacción de Coulomb sobre la posición de las líneas de luminiscencia coherente. En el artículo [36] se estudió la dinámica de un punto cuántico acoplado resonantemente a una microcavidad óptica. Experimentos en sistemas de este tipo se han realizado recientemente buscando obtener fuentes que emitan pulsos con un solo fotón [59, 60, 61]. Por último, en el trabajo [18] se propuso un método estocástico para corregir la deficiencia de la función BCS en sistemas finitos, es decir el hecho de que no conserva el número de partículas.

En la función BCS el apareamiento es sólo entre pares electrón-hueco y se pueden describir sólo sistemas neutros, en que existe la misma cantidad de electrones que de huecos. La complejidad de este esquema es análoga a la de las ecuaciones de Hartree-Fock, lo cual recuerda que BCS es también una teoría de campo medio. Una aproximación un poco mas consistente, que tiene en cuenta todas las correlaciones de pares, se basa en las denominadas ecuaciones de Bethe-Goldstone, ampliamente utilizadas en la Teoría de Núcleos [62]. En el trabajo [20] se hace, por primera vez, uso de estas ecuaciones para estudiar sistemas de hasta 12 pares y sistemas no neutros (hasta 6 electrones y 2 huecos). La complejidad numérica no permitió abordar sistemas mas grandes.

En los trabajos [21, 24, 26, 28, 31] se empleó la diagonalización exacta del hamiltoniano cuántico para obtener diversas propiedades de sistemas relativamente pequeños. En [21] se calculó la absorción y luminiscencia interbandas de puntos que contienen hasta 3 electrones y en presencia de campos magnéticos muy fuertes. Estos campos permiten obtener convergencia numérica con una base relativamente reducida de funciones multielectrónicas (de dimensión  $\leq 3000$ ). En el trabajo [24] se estudió la conductancia de un punto cuántico que contiene un máximo de 6 electrones. Experimentos de este tipo fueron realizados recientemente [63]. El cálculo independiente de la conductancia y de la densidad de niveles del punto permitió concluir que midiendo experimentalmente la primera se podría estimar la segunda. El tamaño de las matrices se extendió hasta alrededor de 40,000 por lo que fue preciso recurrir a algoritmos del tipo Lanczos para obtener los autovalores mas bajos. En la Ref. [26] la diagonalización exacta combinada con Lanczos se utilizó para obtener la absorción intrabanda del biexcitón en un punto cuántico. En el artículo [28] parametrizamos la densidad de niveles excitados en un punto con 6 electrones hasta energías de excitación del orden de 1 meV en campos magnéticos de alrededor de 8 T. Las matrices diagonalizadas alcanzaron dimensión de 850,000, las cuales constituyen nuestro record personal. En el trabajo [31] calculamos la absorción intrabanda de excitones múltiplemente cargados, hasta el sistema con 5 electrones y un hueco.

Los trabajos [22, 23] están dedicados a la absorción intrabanda en sistemas de decenas o cientos de pares electrón-hueco en un punto cuántico, mientras que los artículos [27, 30, 32, 34, 37, 38] abordan la dispersión inelástica de luz (efecto Raman) en puntos cuánticos. El común denominador de todos ellos es que utilizan aproximaciones de campo medio tanto para el estado base (Hartree-Fock) como para los estados excitados (la denominada aproximación de

fase aleatoria, RPA). En dichos artículos se utiliza por primera vez en sistemas de excitones la versión de la RPA para sistemas finitos empleada en núcleos [58]. En las Refs. [22, 23] se muestra que los sistemas multiexcitónicos son análogos a los núcleos atómicos y exhiben “resonancias gigantes”, es decir estados que concentran prácticamente toda la absorción. Experimentos en esta dirección no existen, pero tampoco serían difíciles de realizar. Se requeriría un bombeo fuerte para producir gran cantidad de pares en el punto (la energía del láser debe ser mayor que la brecha del semiconductor) y monitorear la absorción intrabanda (es decir en el intervalo de energías del orden de los 10 meV). En el artículo [27] también se estudian sistemas neutros con decenas de pares pero se calcula la dispersión inelástica de luz. Tampoco existen ni experimentos ni cálculos parecidos a los nuestros. En las Refs. [30, 32, 34, 37, 38] se calcula el efecto Raman en puntos con decenas de electrones. La motivación son varios experimentos de los años 90 [64] en los que se mide la dispersión Raman en puntos con hasta 200 electrones para detectar excitaciones colectivas de carga y espín en estos sistemas. Resaltamos que en la literatura científica el sistema mas grande para el que se ha calculado la sección de dispersión Raman (con determinadas limitaciones en el algoritmo de Hartree-Fock, etc) es el punto con 12 electrones [65].

Finalmente, en el trabajo [39] se abordan problemas cuya matriz hamiltoniana es, en principio, extragrande, de dimensión 170 millones. Estas matrices surgen en la descripción variacional de puntos cuánticos con 12 electrones. Se propone un algoritmo basado en la combinación de la teoría de perturbaciones a segundo orden con el método de Lanczos para evitar la diagonalización de matrices tan grandes y obtener el espectro de excitaciones a bajas energías.

## 1.4 Estructura de la tesis

La tesis se compone de un capítulo introductorio, 8 capítulos de resultados y un capítulo final donde se ofrecen las conclusiones y las perspectivas hacia el futuro.

Los resultados se han agrupado de acuerdo al método utilizado en la solución del problema físico mas que por la fenomenología abordada.

En el Capítulo II (Sec. 2.1 del resumen) se reportan resultados de 7 artículos que tienen en común la utilización del método  $1/D$  para estimar el espectro de energías y otras propiedades esencialmente no perturbativas de sistemas cuánticos relativamente pequeños (hasta 13 partículas). Se aborda el estudio del radio de los hadrones, la energía de ligadura y el espectro de excitaciones de conglomerados (clusters) atómicos y de puntos cuánticos con varios electrones.

En el Capítulo III (Sec. 2.2 del resumen) se incluyen resultados que tienen que ver con la supersimetría en la Mecánica Cuántica y la receta de cuantización semiclásica mejorada por la supersimetría. Son reseñados 5 artículos que tienen que ver con esta temática, en particular con la obtención del espectro de excitaciones de moléculas triatómicas en una y tres dimensiones.

En el Capítulo IV (Sec. 2.3 del resumen) se reportan resultados de 4 artículos que utilizan los aproximantes dobles de Padé para estimar la energía de puntos grandes (cientos de electrones) o de trampas atómicas, donde son confinados desde decenas de miles hasta millones de átomos.

En el Capítulo V (Sec. 2.4 del resumen) se agrupan resultados que tienen que ver con el uso de la función BCS y la ecuación de Bethe-Goldstone. Ambos métodos describen de forma aproximada el apareamiento de fermiones. Son utilizados en la descripción de las propiedades

ópticas y electrónicas de sistemas de excitones en puntos cuánticos semiconductores. Al capítulo tributan 5 artículos.

El Capítulo VI (Sec. 2.5 del resumen) trata sobre la utilización del método de Monte Carlo, del cual son ejemplos los problemas abordados en los dos artículos que se reseñan, es decir, la obtención de la energía de un sistema con cientos de partículas y la estimación de la energía de apareamiento en núcleos..

El Capítulo VII (Sec. 2.6 del resumen) reúne 5 artículos que aplican la diagonalización exacta y el algoritmo de Lanczos. La fenomenología aquí es amplia y tiene que ver con la óptica lineal de puntos cuánticos, los procesos de conducción (a través de tunelamiento resonante) y la pametrización de la densidad de estados cuánticos en estos sistemas.

El Capítulo VIII (Sec. 2.7 del resumen) reúne 8 artículos que utilizan métodos del tipo Aproximación de fase aleatoria (RPA) para obtener los estados excitados de sistemas relativamente grandes. La fenomenología en este caso está relacionada con los estados colectivos que se distinguen en los procesos de absorción óptica y con la dispersión inelástica de luz.

Por último, en el Capítulo IX (Sec. 2.8 del resumen) se reseña un artículo que hace uso de la combinación de la teoría de perturbaciones degenerada con el método de Lanczos para abordar problemas donde la matriz hamiltoniana es de dimensión extragrande.

En cada capítulo se anexan uno o varios de los trabajos mas representativos publicados por el autor con el objetivo de ampliar y detallar el resumen contenido en el mismo. En total se han anexado 23 artículos.

En las Conclusiones se listan los que, a juicio del autor, son los principales resultados de la tesis y se señalan las perspectivas inmediatas de continuar el trabajo.

La bibliografía contiene los 39 artículos del autor que constituyen el cuerpo de la tesis. Además, se citan 7 de los restantes trabajos del autor y 74 referencias básicas sobre los métodos principales utilizados en la tesis y algunos artículos experimentales de gran relevancia. Si incluimos las citas bibliográficas de los anexos, el número de citas supera las 300.

## 1.5 Aavales de la tesis

El principal aval de la tesis es la publicación en el periodo de 1991 a 2005 de 37 artículos en revistas de impacto y amplia circulación internacional [1]–[28], [30]–[32], [34]–[39] y 2 artículos en la Revista Cubana de Física [29, 33]. Además, se han dirigido 3 Tesis de Maestría y 2 de Doctorado en Física. Una tercera Tesis de Doctorado ya concluida se defenderá próximamente y una cuarta está en ejecución. Los resultados se han presentado en conferencias científicas nacionales e internacionales, han constituido el cuerpo de proyectos de investigación dirigidos en Cuba o en el extranjero y fueron objeto de reconocimientos como, por ejemplo, premios anuales de la Agencia de Energía Nuclear en 1999 y 2003 y premios nacionales de la Academia de Ciencias de Cuba en 1993, 2001 y 2002.

### 1.5.1 Participación en Conferencias

- Simposio de la Sociedad Cubana de Física, La Habana, 1991

- Workshop on Condensed Matter, Atomic and Molecular Physics, Trieste, 1991
- Workshop on Condensed Matter, Atomic and Molecular Physics, Trieste, 1992
- Oaxtepec Conference on Nuclear Physics, Oaxtepec, Mexico, 1993
- Course on Geometric Phases, ICTP, Trieste, 1993.
- Encuentro de Geometría Diferencial en Física, Universidad de Los Andes, Bogotá, 1994
- Escuela de Física Teórica, Universidad de Antioquia, Medellín, 1994.
- Adriatico Research Conference on Chaos in Atoms and Molecules, ICTP, Trieste, 1995.
- Escuela de Física Teórica, Universidad Pedagógica, Bogotá, 1995.
- Escuela de Física de la Materia Condensada, Univ. de los Andes, Bogotá, 1996.
- Conference on few-body systems near criticality, European Center for Theory (ECT), Trento, 1997.
- Conferencia Internacional “Cibernética, Matemática y Física 97”. La Habana, 1997.
- Conference on Perspectives in Hadronic Physics, ICTP, Trieste, 1997.
- Conferencia Internacional “Cibernética, Matemática y Física 99”. La Habana, 1999.
- Workshop on Condensed Matter, Atomic and Molecular Physics, ICTP, Trieste, 1999.
- Escuela de Física de la Materia Condensada, Bucaramanga, 2000.
- Tercer Taller Caribeño de Mecánica Cuántica, Partículas y Campos, La Habana, 2000.
- Simposio de la Sociedad Cubana de Física, La Habana, 2002.
- Workshop on mesoscopic systems and Coulomb interactions, ICTP, Trieste, 2002.
- Third Stig Lundqvist Conference on Advancing Frontiers of Condensed Matter Physics, ICTP, Trieste, 2003.
- 6ta Escuela de Física de la Materia Condensada, Medellín, 2004.
- 17th Simposio Latinoamericano de Física del Estado Sólido, La Habana, 2004.
- X Simposio de la Sociedad Cubana de Física, La Habana, 2005.

### 1.5.2 Trabajos de Diploma, M.C. y Dr. en Física relacionados con la tesis

- Rene Martínez, “Radio de los hadrones debidos a la interacción fuerte a partir del método  $1/d$ ” (Tesis de Diploma, UH, 1993).
- David Leal, “Energías de enlace y excitación en clusters de Lennard-Jones a partir del método  $1/d$ ” (Tesis de Diploma, UH, 1993).
- Ricardo Pérez, “Dos anyones en un potencial de Coulomb” (Tesis de Diploma, ISCTN, 1994).
- Boris Rodríguez, “Sistemas planos de tres cuerpos con interacciones de Calogero y un campo magnético” (Tesis de M. C., UNALMED, 1997).
- Ricardo Pérez, “Sistemas de pocos anyones en un punto cuántico” (Tesis de M. C., ISCTN, 1998).
- Alain Delgado, “Resonancias dipolares gigantes en puntos cuánticos” (Tesis de M. C., ISCTN, 2000).
- Boris Rodríguez, “Núcleos artificiales: un estudio teórico sobre las correlaciones electrón-hueco para el estado básico de un sistema finito confinado en un punto parabólico bidimensional” (Tesis de Dr. en Física, UdeA, 2002).
- Ricardo Pérez, “Espectros de energías y transiciones internas en sistemas multiexcitónicos confinados” (Tesis de Dr. en Física, defendida en la UdeA, 2003).
- Alain Delgado, “Dispersión inelástica de luz por excitaciones electrónicas en átomos artificiales de GaAs” (Tesis de Dr. en Física, próxima a defenderse, ISCTN).
- Herbert Vinck-Posada, “Óptica no lineal de un punto cuántico acoplado a una microcavidad semiconductor” (Tesis de Dr. en Física, UdeA, en ejecución).

### 1.5.3 Dirección de proyectos de investigación

- Sistemas cuánticos de tres partículas, Universidad Nacional de Colombia - COLCIENCIAS, 1995-1996.
- Sistemas cuánticos de pocas partículas en dos dimensiones, Universidad de Antioquia - COLCIENCIAS, 1997-1998.
- Núcleos artificiales: sistemas de excitones en un punto cuántico, ICIMAF - CITMA, 1999-2000.
- Efectos magneto-ópticos lineales y no lineales en puntos cuánticos semiconductores, ICIMAF - CITMA, 2001-2003.

Ref.	autocitas	externas	Ref.	autocitas	externas
[1]	0	1	[21]	0	0
[2]	0	1	[22]	4	1
[3]	3	5	[23]	0	1
[4]	2	8	[24]	1	0
[5]	1	1	[25]	2	0
[6]	1	0	[26]	2	0
[7]	0	0	[27]	3	0
[8]	0	0	[28]	0	0
[9]	3	4	[29]	-	-
[10]	3	2	[30]	1	0
[11]	6	9	[31]	0	0
[12]	2	3	[32]	2	0
[13]	2	0	[33]	-	-
[14]	6	4	[34]	0	0
[15]	0	1	[35]	0	0
[16]	0	3	[36]	0	0
[17]	2	4	[37]	0	0
[18]	3	2	[38]	0	0
[19]	4	1	[39]	0	0
[20]	1	0	.	.	.

Tabla 1.1: Citas a los trabajos presentados de acuerdo con el ISI

### 1.5.4 Reconocimientos

- Premio Nacional de la Academia de Ciencias de Cuba en 1993 a la colección de trabajos denominada “Mecánica cuántica de pocos cuerpos y el método 1/D”.
- Premio Nacional de la Academia de Ciencias de Cuba en el 2001 a la colección de trabajos denominada “Espectro de energías, densidad de niveles, polarización del espín, propiedades de transporte y ópticas de puntos cuánticos y trampas de átomos”.
- Participación en el Premio Nacional de la Academia de Ciencias de Cuba en el 2002 a la colección de trabajos denominada “Dispersion Raman e hiper-Raman en sistemas de puntos cuánticos”, cuyo autor principal es E. Menéndez Proupín.
- Elección de A. González como Miembro Asociado del ICTP en el sector de Materia Condensada en el periodo de 1996 al 2003.

### 1.5.5 Citas a los trabajos presentados

Como un índice adicional del impacto de los trabajos realizados presentamos las citas a los mismos. Hemos separado las autocitas de las citas externas, es decir de las realizadas por autores sin ninguna relación con nosotros. Presentamos datos del Institute of Scientific Information (ISI). La información está actualizada hasta Julio del 2005.

# Capítulo 2

## Descripción técnica abreviada

### 2.1 El desarrollo en potencias de $1/D$ y su aplicación en hadrones, conglomerados atómicos y puntos cuánticos semiconductores

Como se mencionó en la Introducción, el desarrollo en potencias de  $1/D$ , donde  $D$  es la dimensión espacial o el momento angular, fue el método utilizado en el trabajo de candidatura del autor [66] para obtener relaciones universales (independientes del potencial de interacción) entre las magnitudes físicas correspondientes a los sistemas de dos y tres partículas. De forma que los trabajos relacionados con la presente sección [2, 3, 4, 9, 10, 13, 15] constituyen una extensión directa del trabajo de candidatura. De ellos hemos seleccionado los artículos [2], [4] y [13], los cuales contienen algunos de los resultados más interesantes y representativos en esta dirección.

La idea del método  $1/D$  es sencilla y consiste en utilizar la dimensión (o el momento angular) como parámetro para organizar una solución en serie de la ecuación de Schrodinger. El cuadro cualitativo que surge en la aproximación principal del método es muy interesante.

Consideremos la ecuación de Schrodinger para dos partículas idénticas con interacción central en el sistema del centro de masa. La ecuación radial en  $D$  dimensiones se escribe así [52]:

$$\left\{ -\frac{\hbar^2}{2m} \left( \frac{d^2}{dr^2} + \frac{D-1}{r} \frac{d}{dr} - \frac{l(l+D-2)}{r^2} \right) + gV(r) \right\} \psi = E\psi, \quad (2.1)$$

donde  $l$  es el número cuántico del momento angular y  $m = m_0/2$  es la masa reducida del par. Haciendo el cambio de variables  $\psi = \xi/r^{(D-1)/2}$ , eliminamos el término lineal en la primera derivada, lo cual da lugar al siguiente hamiltoniano:

$$h_2 = -\frac{\hbar^2}{2m} \left( \frac{d^2}{dr^2} - \frac{\Lambda(\Lambda+1)}{r^2} \right) + gV(r), \quad (2.2)$$

siendo  $\Lambda = l + (D-3)/2$ . Tanto  $l \rightarrow \infty$  como  $D \rightarrow \infty$  son límites en los que la energía cinética queda dominada por el término centrífugo. Tomando  $l = 0$ , por ejemplo, y  $D$  grandes resulta que el término principal de  $h$  viene dado por la energía potencial efectiva:

$$U_2(r) = \frac{\hbar^2 D^2}{8mr^2} + gV(r). \quad (2.3)$$

Minimizando  $U_2(r)$  hallamos un valor de  $r$  (una órbita),  $r_0$ , y una aproximación para la energía,  $U_2(r_0)$ . Correcciones a esta energía pueden hallarse escribiendo  $r = r_0 + \delta r$  y considerando oscilaciones (armónicas y anarmónicas) alrededor de  $r_0$ . Resulta:

$$E_2(g) = U_2(r_0) + (n + 1/2)\hbar\omega - \frac{\hbar^2}{2mr_0^2 D} + \dots, \quad (2.4)$$

donde  $\omega(g) = \sqrt{\hbar^2/(m^2 r_0^4) + 4gr_0^2 V''(r_0^2)/m}/D$  es la frecuencia de pequeñas oscilaciones. La derivada del potencial se toma respecto a  $r_0^2$ .

Expresiones análogas pueden hallarse para tres y, en general, para  $N$  partículas [67]. En el caso de tres partículas idénticas con interacciones por pares en estados con momento angular total igual a cero, resulta:

$$\begin{aligned} h_3 = & -\frac{\hbar^2}{2} \left\{ \frac{1}{m} \frac{\partial^2}{\partial r^2} + \frac{1}{\mu} \frac{\partial^2}{\partial \rho^2} + \left( \frac{1}{mr^2} + \frac{1}{\mu\rho^2} \right) \frac{\partial^2}{\partial \theta^2} \right\} \\ & + \frac{\hbar^2 D^2}{8 \sin^2 \theta} \left( \frac{1}{mr^2} + \frac{1}{\mu\rho^2} \right) + g(V_{12} + V_{23} + V_{31}) + \dots, \end{aligned} \quad (2.5)$$

donde  $\vec{r} = \vec{r}_2 - \vec{r}_1$ ,  $\vec{\rho} = \vec{r}_3 - (\vec{r}_1 + \vec{r}_2)/2$ ,  $\cos \theta = \vec{r} \cdot \vec{\rho}/(r\rho)$  y las masas reducidas son  $m = m_0/2$ ,  $\mu = 2m_0/3$ .

En el límite  $D \rightarrow \infty$ , la energía potencial efectiva que sobrevive en el hamiltoniano,  $U_3$ , es minimizada en una configuración del tipo triángulo equilátero ( $\cos \theta = 0$ ,  $\rho^2 = 3r^2/4$ ), resultando:

$$U_3(r, g) = \frac{\hbar^2 D^2}{4mr^2} + 3gV(r) = 2U_2(r, 3g/2), \quad (2.6)$$

por lo que [67]:

$$\left. \frac{E_3(g)}{2E_2(3g/2)} \right|_{D \rightarrow \infty} = 1. \quad (2.7)$$

Esta relación se satisface en muchos casos con un error inferior al 10 % incluso en el límite físico  $D = 3$ . Notar que es una relación universal, es decir independiente del potencial de interacción,  $V$ .

Correcciones a la Ec. (2.6) se calculan relajando la configuración rígida del límite  $D \rightarrow \infty$ , resultando:

$$\begin{aligned} E_3(n_+, n_-, n_\theta) = & 2U_2(r_0, 3g/2) + (n_+ + 1/2)\hbar\omega_+ + (n_- + 1/2)\hbar\omega_- \\ & + (n_\theta + 1/2)\hbar\omega_\theta - \frac{3\hbar^2}{2mr_0^2 D}, \end{aligned} \quad (2.8)$$

donde ahora existen tres frecuencias de oscilaciones, correspondientes a un modo simétrico (“respiratorio”),  $\omega_+$ , a un modo asimétrico,  $\omega_-$  y a un modo de deformación,  $\omega_\theta$ . Interesante el hecho de que:

$$\hbar\omega_+(g) = \hbar\omega(3g/2), \quad (2.9)$$

lo cual relaciona la energía de excitación del modo simétrico con la energía de excitación del sistema de dos partículas. Esta es también una relación universal.

### 2.1.1 Razón entre los radios cuadráticos medios de bariones y mesones

Comparando las secciones elástica e inelástica en la dispersión hadrón-protón, Povh y Hufner [68, 69, 70] estimaron los siguientes valores para los radios cuadráticos medios de mesones y bariones (en fm<sup>2</sup>):

$$R_\pi^2 = 0.41, \quad R_{\rho\omega}^2 = 0.52, \quad R_K^2 = 0.35, \quad R_\phi^2 = 0.21, \quad (2.10)$$

$$R_{J/\psi}^2 = 0.04, \quad R_p^2 = 0.67, \quad R_{\Lambda,\Sigma}^2 = 0.58, \quad R_\Omega^2 = 0.50. \quad (2.11)$$

En el trabajo [2] se hizo un análisis de estos valores a partir del método  $1/D$ . En particular se analizó la relación  $R_{\text{baryon}}^2/R_{\text{meson}}^2$ . El trabajo continúa la dirección iniciada en [71] donde se obtuvieron relaciones entre las masas de baryones y mesones.

En la aproximación principal del método  $1/D$ , la distancia cuadrática media entre las partículas de un mesón, compuesto de un quark  $q$  y el correspondiente antiquark  $\bar{q}$ , se determina de:

$$\langle r^2(g) \rangle_{q\bar{q}} = r_0^2 + \mathcal{O}(1/D), \quad (2.12)$$

donde  $r_0$  es la distancia que minimiza el potencial efectivo:

$$U_{q\bar{q}}(g) = \frac{\hbar^2 D^2}{8\mu_r r^2} + gV. \quad (2.13)$$

$\mu_r = m_q/2$  es la masa reducida del par y hemos separado explícitamente la constante de acoplamiento  $g$ . Al final haremos  $g = 1$ .

En el baryón, compuesto de tres quarks, el potencial efectivo en el límite  $D \rightarrow \infty$  depende de dos coordenadas de Jacobi:  $\vec{r}$  y  $\vec{\rho}$ . En estados con momento angular total igual a cero, sólo las combinaciones escalares  $r^2$ ,  $\rho^2$  y  $\gamma = \vec{r} \cdot \vec{\rho}/(r\rho)$  entran el potencial. Cuando los tres quarks son idénticos, el mínimo se alcanza en una configuración del tipo triángulo equilátero, resultando:

$$U_{qqq}(g) = 2U_{q\bar{q}}(3g/4), \quad (2.14)$$

por lo que para las distancias obtenemos:

$$\langle r^2(g) \rangle_{qqq} = \langle r^2(3g/4) \rangle_{q\bar{q}} + \mathcal{O}(1/D). \quad (2.15)$$

Las ecuaciones (2.6) y (2.14) se diferencian en el argumento. En la Ec. (2.14) el potencial de un par está evaluado en  $3g/4$ , mientras que en la (2.6) está evaluado en  $3g/2$ . La razón es que el potencial de interacción entre dos quarks en el baryón se relaciona con el potencial entre un quark y un antiquark en el mesón así:

$$V_{qq}|_{baryon} \approx \frac{1}{2}V_{q\bar{q}}|_{meson}. \quad (2.16)$$

Los radios cuadráticos medios, definidos como valores medios de las distancias al centro de masa al cuadrado, satisfarán, por tanto:

$$\frac{R_{qqq}^2(g)}{R_{q\bar{q}}^2(3g/4)} = \frac{4}{3} + \mathcal{O}(1/D). \quad (2.17)$$

Para comparar directamente los radios del baryón y el mesón (es decir  $R_{q\bar{q}}^2(g)$ ) es necesario una hipótesis sobre el potencial de interacción,  $V$ . Utilizaremos el potencial de Martin [72], para el cual  $V(r) \sim r^\beta$ , con  $\beta = 0.1$ . Obtenemos finalmente:

$$\frac{R_{qqq}^2}{R_{q\bar{q}}^2} = \left(\frac{4}{3}\right)^{(\beta+4)/(\beta+2)} + \mathcal{O}(1/D). \quad (2.18)$$

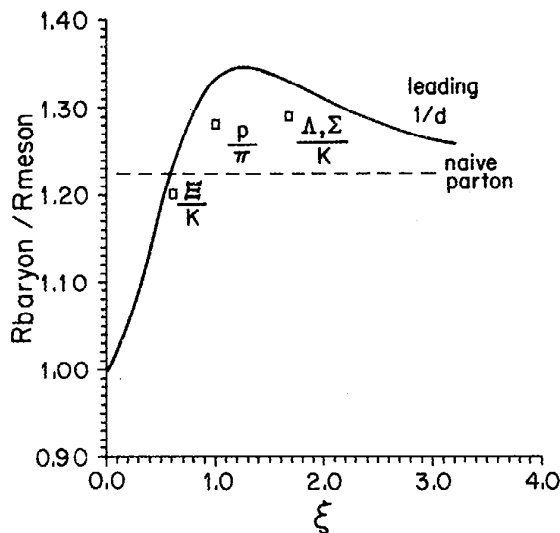


Figura 2.1: Comparación entre los resultados del método  $1/D$  (línea sólida) con los valores experimentales para el cociente  $R_{\text{baryon}}/R_{\text{meson}}$ . El valor predicho por el modelo naíf de partones se da como referencia.

En el caso de los quarks mas ligeros (u, d y s) es necesario incluir correcciones al término principal que provienen de la relatividad del movimiento. Expresiones análogas a (2.18) pueden obtenerse para mesones compuestos de quarks distintos ( $q\bar{Q}$  y  $Q\bar{q}$ ) y baryones del tipo  $Qqq$ . Los resultados para el cociente  $R_{\text{baryon}}/R_{\text{meson}}$  se muestran en la Fig. 2.1 como función del parámetro  $\xi = m_Q/m_q$ . Como referencia, se muestra el valor predicho por el modelo “naive” de partones,

$\sqrt{3}/2$ . Aunque los valores medidos de  $R_{\text{baryon}}/R_{\text{meson}}$  no son conclusivos, la curva obtenida en la aproximación principal del método  $1/D$  reproduce cualitativamente la dependencia con  $\xi$ .

### 2.1.2 Energías de ligadura y de excitación en clusters atómicos con interacción de Lennard-Jones

En el trabajo [4] se estudiaron conglomerados de átomos de gases inertes (Ne, Ar, Kr, Xe) a partir del método  $1/D$ . Para estos átomos, el potencial de interacción puede aproximarse con un potencial central. Nosotros utilizamos la parametrización de Lennard-Jones 12-6 dada en el artículo [73]. Los conglomerados atómicos han sido estudiados extensivamente en los últimos años. Los sistemas mas pequeños ( $B_3$ ,  $N_4$ , etc.) han sido analizados por métodos ab-initio (ver, por ej., [74, 75]), mientras que en los mas grandes (cientos de átomos) se ha utilizado una combinación de la dinámica molecular con el método de los funcionales de la densidad [76].

La propuesta nuestra para estimar la energía del estado base del cluster parte de la relación universal (independiente del potencial de interacción) obtenida en la aproximación principal del método  $1/D$  entre las energías del complejo de  $n$  partículas y de dos partículas [66, 67]:  $E_n(g) \approx (n-1)E_2(ng/2)$ , donde hemos escrito el potencial de interacción entre dos partículas como  $gV$ , separando explícitamente la constante de acoplamiento  $g$ . Al final escribiremos  $g = 1$ . Correcciones a esta relación pueden ser explícitamente calculadas con el método  $1/D$ , resultando:

$$R = \frac{E_n(g)}{(n-1)E_2(ng/2)} = 1 + \frac{1}{D} \frac{1}{(n-1)\epsilon_2(ng/2)} \left\{ -\frac{n-2}{2}\omega_0 + \frac{n-1}{2}\omega_1 + \frac{n(n-3)}{4}\omega_2 - \frac{(n-1)(n-2)}{2\mu_1\rho_1^2} \right\} + \mathcal{O}(1/D^2). \quad (2.19)$$

En esta fórmula,  $\epsilon_2$  es el término principal en el límite  $D \rightarrow \infty$  de la energía del dimer (dos átomos),  $\omega_0$ ,  $\omega_1$  y  $\omega_2$  son las frecuencias de pequeñas oscilaciones del cluster de  $n$  átomos alrededor de la estructura rígida que se obtiene en el límite  $D \rightarrow \infty$ , mientras que  $\mu_1$  es la masa reducida del dimer y  $\rho_1$  la distancia media entre dos átomos del cluster.

La fórmula (2.19) debe complementarse con un factor geométrico ya que la interacción entre átomos es de corto alcance. En  $D \rightarrow \infty$  cada átomo tiene como vecinos a todos los demás, pero en  $D = 3$  no. La ecuación final es:

$$E_n(g) = \left( \frac{\min \sum_{i<j} V(\vec{r}_i - \vec{r}_j)}{n(n-1) \min V(r)/2} \right) R(n-1)E_2(ng/2). \quad (2.20)$$

El factor entre paréntesis tiene el sentido de cociente entre el número efectivo de interacciones por pares en  $D = 3$  y  $D = \infty$ . Con esta expresión evaluamos la energía de clusters de  $n$  átomos (donde  $n$  va desde 3 hasta 13) y las comparamos con los resultados por Monte Carlo de la Ref. [73]. Los resultados para el Ar se muestran en el Cuadro 2.1. En el peor de los casos, la diferencia entre ambos es del orden del 1 %.

Por otro lado, comparando las frecuencias de pequeñas oscilaciones en el trimer (tres átomos) y el dimer podemos estimar la energía de excitación del primero en términos de la del segundo,

$n$	MC	$1/D$
3	-2.553	-2.558
4	-5.113	-5.131
5	-7.791	-7.804
6	-10.88	-10.91
7	-14.18	-14.19
13	-38.65	-38.35

Tabla 2.1: Comparación entre los resultados por Monte Carlo y el método  $1/D$  para la energía de clusters de  $n$  átomos de Ar.

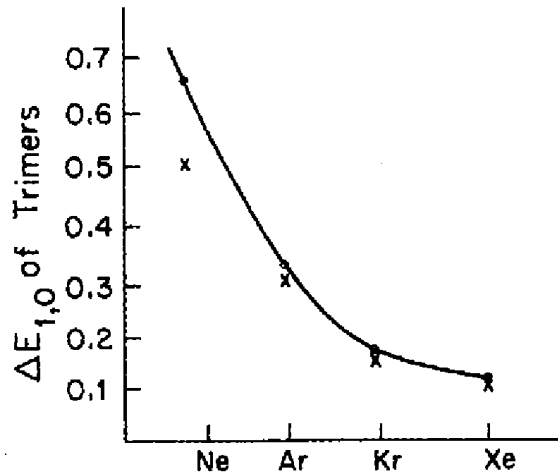


Figura 2.2: Comparación entre los resultados del método  $1/D$  (línea sólida) con los valores numéricos de la Ref. [73] para la energía de excitación de los trimers.

resultando:

$$\Delta E_3(g) = \Delta E_2(3g/2) \{1 + \mathcal{O}(1/D)\}. \quad (2.21)$$

En la Fig. 2.2 mostramos la comparación de nuestro estimado con los cálculos numéricos del artículo [73]. Vemos que el error es del orden del 30% en el  $\text{Ne}_3$  (el cluster mas ligero), donde los efectos cuánticos deben ser mayores, pero sólo del 3% en el  $\text{Xe}_3$ .

### 2.1.3 Espectro de energías de pocos electrones en un punto cuántico

En el trabajo [13] se estudiaron los niveles de energía de dos y tres electrones en un punto cuántico cuasi-bidimensional. Sobre los electrones actúa un campo magnético ortogonal al

plano del movimiento. El espíritu del artículo es muy similar al de la Ref. [77], donde se hace un análisis cuasi-clásico del mismo problema. La diferencia radica en el parámetro del desarrollo en serie, que es  $1/|J|$  en nuestro caso ( $J$  es el momento angular total) y  $\hbar$  en la Ref. [77].

El punto cuántico se modela con un potencial parabólico en el plano. En este caso el movimiento del centro de masa se puede separar y para el problema de  $N$  electrones el hamiltoniano escalado que describe el movimiento relativo es:

$$\begin{aligned}
h &= \frac{1}{|J|} \left\{ \frac{H_{int}}{\hbar\Omega} \right\} \\
&= \sum_{k=1}^{N-1} \left\{ \frac{1}{(N-1)^2} \frac{1}{\rho_k^2} + \frac{1}{4} \rho_k^2 \right\} + \tilde{\beta}^3 \sum_{k<l} \frac{1}{r_{kl}} \\
&+ \frac{1}{J^2} \left\{ - \sum_{k=1}^{N-1} \left( \frac{\partial^2}{\partial \rho_k^2} + \frac{1}{\rho_k} \frac{\partial}{\partial \rho_k} \right) - \sum_{k=1}^{N-2} \left( \frac{1}{\rho_k^2} + \frac{1}{\rho_{k+1}^2} \right) \frac{\partial^2}{\partial \theta_k^2} \right. \\
&+ \left. 2 \sum_{k=1}^{N-3} \frac{1}{\rho_{k+1}^2} \frac{\partial^2}{\partial \theta_k \partial \theta_{k+1}} \right\} + \frac{2i}{J(N-1)} \sum_{k=1}^{N-2} \left( \frac{1}{\rho_k^2} - \frac{1}{\rho_{k+1}^2} \right) \frac{\partial}{\partial \theta_k}, \tag{2.22}
\end{aligned}$$

donde  $\vec{\rho}_k$  son los correspondientes vectores de Jacobi en el plano,  $\theta_k$  es el ángulo entre  $\vec{\rho}_k$  y  $\vec{\rho}_{k+1}$ ,  $\beta = (E_{coul}/(\hbar\Omega))^{1/6}$ , donde  $E_{coul}$  es la energía característica de Coulomb y  $\Omega = \sqrt{\omega_0^2 + \omega_c^2}/4$ , siendo  $\hbar\omega_0$  la energía del confinamiento y  $\omega_c$  la frecuencia ciclotrónica en el campo  $B$ . La constante  $\beta$  se ha “renormalizado”,  $\tilde{\beta}^3 = \beta^3/|J|^{3/2}$ , de forma que en el límite formal  $|J| \rightarrow \infty$  la constante  $\tilde{\beta}$  se tomará fija y Coulomb se tratará no perturbativamente. En la Ec. (2.22) las longitudes se han escalado de acuerdo a  $\rho^2 \rightarrow |J|\rho^2$ .

Puede verse entonces que sólo la energía potencial efectiva (centrífuga + confinamiento + Coulomb) sobrevive en la Ec. (2.22) en el límite  $|J| \rightarrow \infty$ . Las primeras correcciones provienen del movimiento armónico de pequeña amplitud alrededor de la configuración de equilibrio (el mínimo del potencial efectivo). Correcciones mas altas provienen de considerar la anarmonicidad.

En el trabajo [13] se calcularon los coeficientes del desarrollo hasta el  $\epsilon_6$  para el caso de dos electrones y hasta el  $\epsilon_4$  para tres. La serie para  $\epsilon$  (es decir, el autovalor de  $h$ ) se escribe:

$$\epsilon = \epsilon_0 + \frac{\epsilon_2}{|J|} + \frac{\epsilon_4}{|J|^2} + \frac{\epsilon_6}{|J|^3} + \dots \tag{2.23}$$

Las comparaciones de nuestros estimados con cálculos numéricos exactos para dos electrones nos permiten concluir que el error al estimar la energía no rebasa el 0.3%.

En el caso de tres electrones podemos comparar la serie en  $1/|J|$  con los aproximantes de Padé obtenidos en [11]. Un ejemplo de esta comparación se muestra en la Fig. 2.3. Vemos que tanto el Padé como la serie en  $1/|J|$  son asintóticamente exactos en los límites  $\beta \rightarrow 0$  y  $\beta \rightarrow \infty$ . La diferencia entre ambos estimados no rebasa el 0.4% en todo el rango de variación de  $\beta$ .

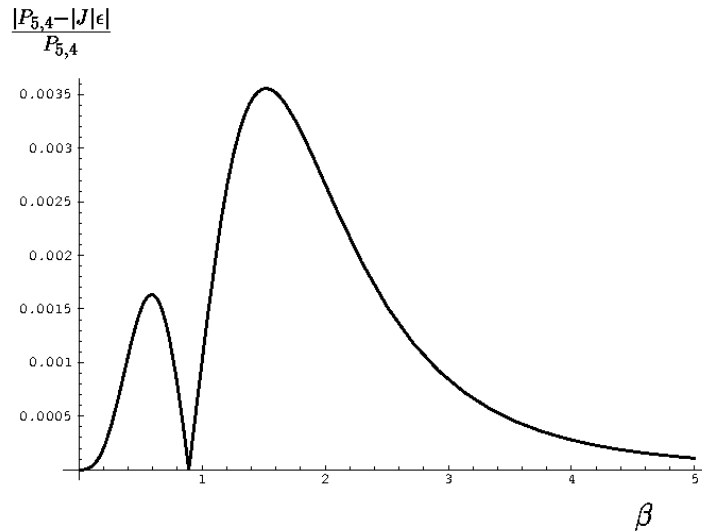


Figura 2.3: Diferencia entre la serie en  $1/|J|$  y el aproximante de Padé para la energía del estado de tres electrones con números cuánticos  $J = -3$  y  $S = 3/2$ .

## 2.2 Cuantización semiclásica y supersimetría en Mecánica Cuántica. Vibraciones moleculares

Como se mencionó en la sección 1.3, a partir de la supersimetría en el artículo [1] se construyeron potenciales de interacción entre  $N$  partículas en una dimensión para los cuales se conoce exactamente la energía y la función de onda del estado base, mientras que la supersimetría en conjunción con la cuantización semiclásica y las transformaciones canónicas se utilizó en los trabajos [5, 6, 7, 8] para obtener los estados excitados de moléculas lineales y los estados de tres partículas con momento angular total igual a cero.

En la presente sección nos concentraremos en la mejora de la descripción semiclásica del espectro de excitaciones en sistemas de tres partículas, lo cual nos parece el resultado mas interesante de los trabajos mencionados. En la Ref. [5] se argumentó que reemplazar el potencial de interacción,  $V$ , por un nuevo potencial,  $U$ , construido a partir de la función de onda del estado base, debía conducir a una mejor descripción semiclásica de los estados excitados en un sistema con varios grados de libertad. La relación entre  $V$  y  $U$  es la siguiente. Sea

$$H = \sum_i \frac{p_i^2}{2\mu_i} + V, \quad (2.24)$$

el hamiltoniano y  $\Psi_0$ ,  $E_0$  la función de onda y energía del estado base, respectivamente.  $V$  puede ser escrito en términos de  $\Psi_0$  como:

$$V - E_0 = \sum_i \frac{1}{2\mu_i} \{(\partial_i W)^2 - \hbar \partial_i^2 W\}, \quad (2.25)$$

donde  $\Psi_0 = \exp -W/\hbar$ . Entonces, el nuevo potencial  $U$  es definido de la siguiente forma:

$$U = \sum_i \frac{1}{2\mu_i} (\partial_i W)^2. \quad (2.26)$$

Listemos algunas de las propiedades de  $U$ .

- $U$  es definido positivo.  $U = 0$  en el mínimo, que corresponde a la configuración de máxima probabilidad, es decir, el máximo de  $|\Psi_0|^2$ . Notemos que  $E'_0 = 0$  es la energía exacta del estado base en el potencial  $V - E_0$ .
- En el caso de un grado de libertad, la regla de Bohr-Sommerfeld modificada:

$$\frac{1}{2\pi} \oint \sqrt{2\mu(\Delta E - U)} dx = n\hbar, \quad (2.27)$$

resulta exacta en una clase de potenciales que incluye el potencial de Coulomb [49]. Estos potenciales tienen la propiedad de que las parejas supersimétricas

$$H_{\pm} - E_0 = \frac{1}{2\mu} \{p^2 + (\partial W)^2 \pm \hbar \partial^2 W\}, \quad (2.28)$$

son invariantes de forma, es decir tienen la misma dependencia funcional y difieren sólo en los parámetros de que dependen. Existen indicaciones [5] de que una clase similar existe en sistemas con varios grados de libertad.

- Formalmente, puede pensarse que  $U$  difiere de  $V - E_0$  en un término que es de orden  $\hbar$ . Por eso en el límite de números cuánticos muy grandes debe ser lo mismo hacer la semiclásica con  $U$  o con  $V - E_0$ . Procediendo formalmente es posible argumentar que la regla de Bohr - Sommerfeld se transforma en la Ec. (2.27). Y esta última tiene la propiedad de ser exacta también en el límite  $n = 0$  ya que el estado base tiene exactamente  $E'_0 = 0$ . Por eso los niveles de energía obtenidos a partir de la Ec. (2.27) son asintóticamente exactos cuando  $n \rightarrow \infty$  y exactos por construcción cuando  $n = 0$ . De aquí que la semiclásica en  $U$  sea mejor.

En el caso de varios grados de libertad, las reglas de cuantización a utilizar son las de Einstein - Keller - Maslov [78, 79]:

$$\frac{1}{2\pi} \oint_{C_\alpha} \sum_i p_i dx_i = (n_\alpha + m_\alpha/4)\hbar, \quad (2.29)$$

donde  $V - E_0$  se sustituye por  $U$ , los índices de Maslov se ponen a cero  $m_\alpha = 0$  y el estado base corresponde a todos los  $n_\alpha = 0$ .

Debido a la forma funcional de  $U$ , con un mínimo absoluto  $U = 0$ , las energías de excitación mas bajas pueden calcularse aproximadamente a partir de las frecuencias de pequeñas oscilaciones alrededor del mínimo [5]. Esta descripción corresponde con el cuadro semiclásico de los estados excitados como oscilaciones por encima del estado base.

Una descripción mas completa requiere tomar en cuenta la anarmonicidad de  $U$  cerca del mínimo. Para ello utilizamos la reducción a formas normales de Birkhoff y Gustavson (BG) en la cual la anarmonicidad es tratada no perturbativamente por medio de sucesivas transformaciones canónicas [79]. Esquemáticamente, el algoritmo se puede formular así. Desarrollando el potencial alrededor de la configuración de mínimo,  $x_i^{(0)}$ , obtenemos una expresión para el hamiltoniano clásico:

$$H(p, q) = V(x^{(0)}) + H_2(p, q) + H_3(p, q) + \dots, \quad (2.30)$$

donde los  $H_\alpha$  son polinomios homogéneos de grado  $\alpha$  en las variables  $p_i$  y  $q_i = x_i - x_i^{(0)}$ . Ahora hacemos transformaciones canónicas sucesivas (la forma explícita de las cuales puede verse en [79, 8]) para reducir  $H_2$ ,  $H_3$ , etc a la forma normal (la forma normal de  $H_3$  y de todos los polinomios impares es cero). De forma que el hamiltoniano resulta:

$$\Gamma(P, Q) = V(x^{(0)}) + \frac{1}{2} \sum_i \omega_i (P_i^2 + Q_i^2) + \Gamma_2(P^2 + Q^2) + \Gamma_4(P^2 + Q^2) + \dots, \quad (2.31)$$

donde los  $\Gamma_\alpha$  son polinomios homogéneos en las variables  $P_i^2 + Q_i^2$ . Truncando la expansión (2.31) obtenemos un hamiltoniano que describe aproximadamente el problema y que es exactamente integrable. La receta de cuantización es simplemente:

$$(P_i^2 + Q_i^2)/2 \rightarrow (n_i + 1/2)\hbar, \quad (2.32)$$

o, en el caso de que el punto de partida es el hamiltoniano modificado, con el potencial  $U$ ,

$$(P_i^2 + Q_i^2)/2 \rightarrow n_i \hbar. \quad (2.33)$$

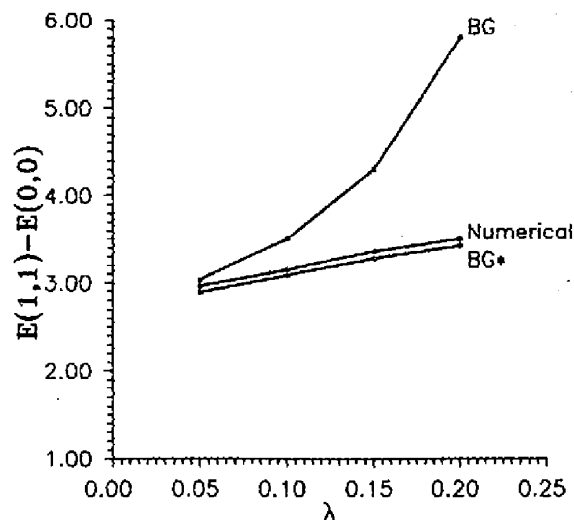


Figura 2.4: Energía de excitación del estado con números cuánticos  $(n_1, n_2) = (1, 1)$  en el modelo de molécula triatómica lineal del artículo [7].

En la Fig. 2.4 mostramos un ejemplo de cómo trabaja la semiclásica modificada en un modelo de molécula triatómica en una dimensión [7]. Separando el centro de masa restan dos grados de libertad, es decir dos números cuánticos  $n_1, n_2$ . El parámetro  $\lambda$  cuantifica la anarmonicidad de la molécula. La figura muestra la energía de excitación del estado con números  $(1, 1)$ . La curva denominada BG corresponde a la cuantización a través de BG del movimiento en el potencial  $V$ , mientras que BG\* corresponde al movimiento en  $U$ . Los resultados se comparan con estimados numéricos utilizando una base de osciladores. Los resultados de BG\* son significativamente superiores cuando la anarmonicidad es grande.

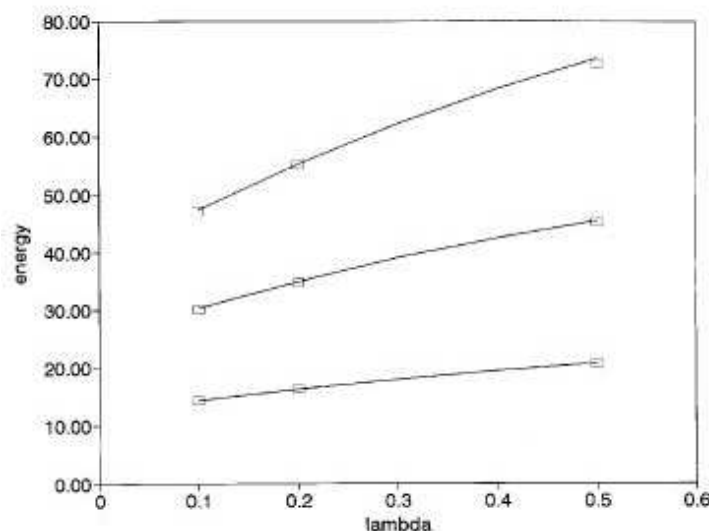


Figura 2.5: Comparación entre BG\* (línea sólida) y los estimados numéricos (cuadrados) para los modos de oscilación del tipo “respiratorios” en el modelo de molécula triatómica del artículo [8].

Un modelo de molécula triatómica en tres dimensiones es estudiado en [8]. Se consideran sólo estados en los que el momento angular total es cero. También existe un parámetro  $\lambda$  que caracteriza la anarmonicidad del potencial. En la Fig. 2.5 se muestran las energías de excitación de los modos “respiratorios” (es decir donde la molécula se dilata y contrae a lo largo de la dirección radial) como función de  $\lambda$  y se comparan con estimados numéricos. La concordancia también es muy buena, siendo el error máximo del orden de 1%.

## 2.3 El método de los aproximantes dobles de Padé en sistemas con decenas de electrones o de átomos confinados

El método de los aproximantes de Padé de dos puntos fue utilizado por primera vez en los trabajos [11, 12, 14, 16, 17] para obtener aproximaciones analíticas a la energía del estado base y los primeros estados excitados de electrones en puntos cuánticos y átomos con espín entero (bosones) confinados en trampas. En esta sección reseñaremos los trabajos [11], [14] y [16], considerados los mas importantes.

Un aproximante de Padé de dos puntos es una función racional de la variable  $\beta$  que interpola entre dos series conocidas alrededor de los puntos  $\beta = \beta_0$  y  $\beta = \beta_1$ . En el caso nuestro,  $\beta_0 = 0$  y la serie alrededor de  $\beta = 0$  no es mas que la teoría de perturbaciones hasta determinado orden. Por otro lado,  $\beta_1 = \infty$  y la serie de Laurent alrededor de  $\beta_1$  también se calculará hasta determinado orden. En general, obtendremos los desarrollos siguientes:

$$\epsilon|_{\beta \rightarrow 0} = \sum_{k=0}^s b_k \beta^k + \mathcal{O}(\beta^{s+1}), \quad (2.34)$$

$$\epsilon|_{\beta \rightarrow \infty} = \beta^2 \left\{ \sum_{k=0}^t a_k / \beta^k + \mathcal{O}(1/\beta^{t+1}) \right\}. \quad (2.35)$$

El aproximante doble de Padé se escribirá:

$$P_{s,t}(\beta) = \frac{\sum_{k=0}^L p_k \beta^k}{\sum_{k=0}^K q_k \beta^k}. \quad (2.36)$$

Como hemos asumido  $\epsilon|_{\beta \rightarrow \infty} \sim \beta^2$ , entonces  $L = K + 2$ . Sin perder generalidad, podemos hacer  $q_0 = 1$ . La igualdad entre los números de coeficientes  $p, q$  por un lado y  $b, a$  por otro resulta en que:

$$s + t = 2K + 1. \quad (2.37)$$

Igualando las ecuaciones (2.34,2.35) con (2.36) obtenemos un sistema de ecuaciones lineales para los coeficientes  $p_k$  y  $q_k$ . Los aproximantes que mejores propiedades de convergencia tienen son aquellos en que  $s \approx t$ .

### 2.3.1 Energía del estado base de puntos cuánticos con decenas o cientos de electrones

En el trabajo [11] se elaboraron aproximaciones analíticas a la energía de sistemas de hasta 5 electrones en un punto cuántico cuasi-bidimensional y en presencia de un campo magnético externo orientado perpendicularmente al plano del punto. La idea original se perfiló en el trabajo [55] donde se calcularon los niveles del excitón y se basa en el hecho de que en el límite de altas densidades (confinamiento fuerte) la energía se puede calcular por teoría de perturbaciones, mientras que en el límite opuesto de densidades muy bajas (confinamiento débil) el sistema forma una especie de sólido (molécula) de Wigner cuya energía de Madelung y frecuencias de pequeñas oscilaciones también pueden ser calculadas. La interpolación entre ambos regímenes se hace utilizando un aproximante de Padé de dos puntos. La idea había sido empleada en los 70 para estimar la energía del gas de electrones a densidades intermedias [80]. Posteriormente, el cálculo se extendió a puntos cuánticos con decenas o cientos de electrones [14].

El punto de partida es el hamiltoniano del sistema escrito en variables adimensionales:

$$h = \frac{H}{\hbar\omega_0} = \frac{1}{2} \sum_{i=1}^N (\vec{p}^2 + \vec{r}^2) + \beta^3 \sum_{i<j} \frac{1}{|\vec{r}_i - \vec{r}_j|}, \quad (2.38)$$

donde  $\omega_0$  es la frecuencia del punto y el parámetro  $\beta$  se define en términos de las energías características de Coulomb y de oscilador,  $\beta^3 = \sqrt{E_{coul}/(\hbar\omega_0)}$ . El límite  $\beta \rightarrow 0$  corresponde a electrones libres, mientras que  $\beta \rightarrow \infty$  corresponde a la molécula de Wigner. Las series en el entorno de estos puntos se escriben:

$$\epsilon|_{\beta \rightarrow 0} = b_0 + b_3\beta^3 + \dots, \quad (2.39)$$

$$\epsilon|_{\beta \rightarrow \infty} = \beta^2 \{a_0 + a_2/\beta^2 + \dots\}. \quad (2.40)$$

Los coeficientes  $b_\alpha$  y  $a_\alpha$  fueron calculados para puntos con un máximo de 210 electrones.  $b_0$  es la energía de  $N$  electrones libres en un potencial armónico, mientras que  $b_3$  corresponde al cálculo del valor medio de la energía de interacción Coulombiana en primer orden de teoría de perturbaciones. Por otro lado, escalando las distancias según  $r \rightarrow \beta\rho$ , podemos reescribir  $h$  así:

$$h = \beta^2 \left\{ \frac{1}{2} \sum_{i=1}^N \rho_i^2 + \sum_{i<j} \frac{1}{|\vec{\rho}_i - \vec{\rho}_j|} \right\} + \frac{1}{2\beta^2} \sum_{i=1}^N p_i^2. \quad (2.41)$$

Por lo que, en el límite  $\beta \rightarrow \infty$ , la energía se determina de minimizar la energía potencial efectiva:

$$U = \frac{1}{2} \sum_{i=1}^N \rho_i^2 + \sum_{i<j} \frac{1}{|\vec{\rho}_i - \vec{\rho}_j|}, \quad (2.42)$$

(una especie de energía de Madelung para un sistema finito), mientras que las correcciones se calculan a partir de las oscilaciones de la estructura que minimiza  $U$ . En el caso  $N \leq 5$  uno puede adivinar la geometría del mínimo. Por ejemplo, en el caso  $N = 3$  uno busca el mínimo como un triángulo equilátero. Pero para  $N$  mas grandes la minimización debe hacerse numéricamente. Nosotros utilizamos una búsqueda aleatoria que después es optimizada con métodos de gradiente. Los modos normales de oscilación también fueron obtenidos numéricamente.

El comportamiento asintótico cuando el número de electrones es grande,  $N \geq 100$ , es el siguiente:  $b_0 \approx \frac{2}{3}N^{3/2}$ ,  $b_3 \approx 0.7 N^{7/4}$ ,  $a_0 \approx 1.0 N^{5/3}$  y  $a_2 \approx 0.6 N^{5/4}$ .

Los aproximantes dobles de Padé a utilizar son:

$$P_{3,2}(\beta) = b_0 + a_0\beta^2 \left\{ 1 - \frac{1}{1 + (b_3/a_0)\beta + (a_0/(b_0 - a_2))\beta^2} \right\}, \quad (2.43)$$

$$P_{4,3}(\beta) = b_0 + \frac{b_3\beta^3}{1 + q_1\beta + q_2\beta^2 + q_3\beta^3} + a_0\beta^2 \left\{ 1 - \frac{1 + q_1\beta}{1 + q_1\beta + q_2\beta^2 + q_3\beta^3} \right\}, \quad (2.44)$$

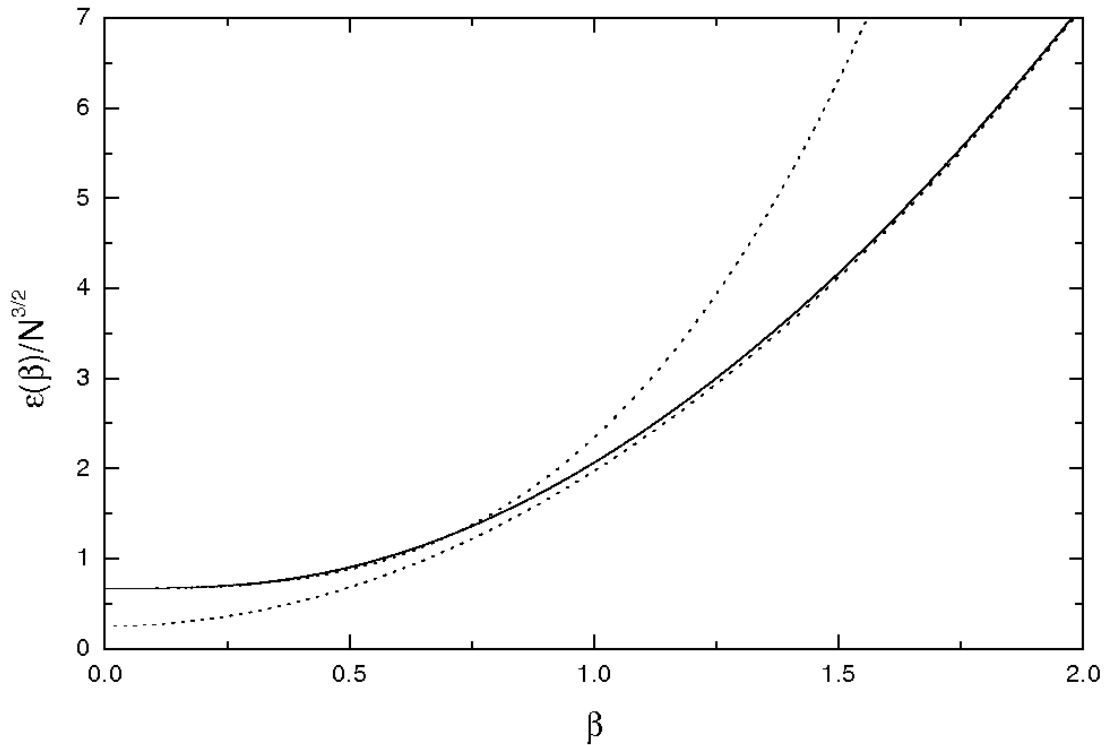


Figura 2.6: Los límites  $\beta \rightarrow 0$  y  $\beta \rightarrow \infty$  (curvas discontinuas) y el aproximante  $P_{4,3}$  (curva continua) para el estado base del punto con 42 electrones.

Los coeficientes  $q_\alpha$  que aparecen en la Ec. (2.44) son determinados de la condición que los desarrollos en  $\beta \rightarrow 0$  y  $\beta \rightarrow \infty$  sean reproducidos.

En la Fig. 2.6 mostramos el comportamiento del Padé en el punto con 42 electrones. El estado base tiene momento angular total y espín total  $L = 0$  y  $S = 0$ , respectivamente. El aproximante interpola suavemente entre los dos regímenes. El error estimado no es mayor que el 2.5 %. Nótese que existe un intervalo de “densidades” (alrededor de  $\beta = 0.9$ ) donde los dos desarrollos asintóticos mantienen su validez.

### 2.3.2 Aproximaciones analíticas a la solución de la ecuación de Gross-Pitaevskii para bosones en trampas atómicas

En el trabajo [16] se utilizaron los aproximantes dobles de Padé para obtener estimados analíticos a la energía y el potencial químico de átomos con espín entero (bosones) en trampas atómicas a temperaturas prácticamente iguales a 0 K. Estos sistemas son usualmente descritos por la ecuación de Gross-Pitaevskii (GP) [56] la cual, en la variante mas simple de potencial externo, se escribe de forma adimensional así:

$$\left\{ -\frac{1}{2}\Delta + \frac{1}{2}r^2 + g|\psi|^2 - \mu \right\} \psi = 0, \quad (2.45)$$

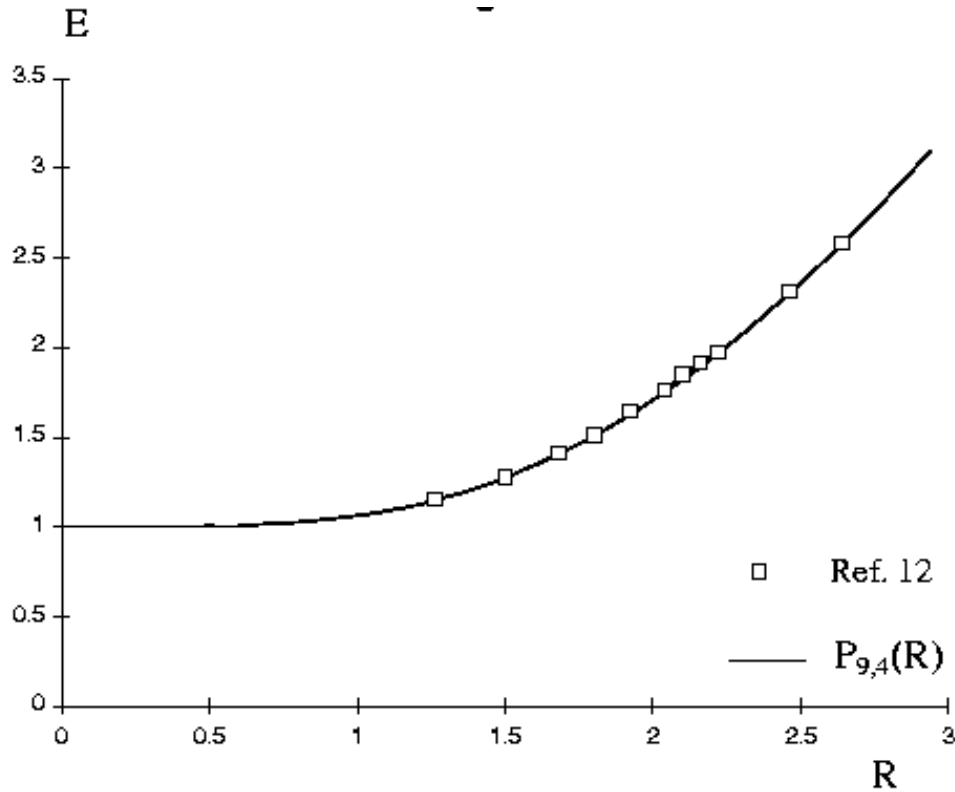


Figura 2.7: Comparación entre el aproximante  $P_{9,4}$  y los resultados numéricos del artículo [82] para la energía por partícula en dos dimensiones.

donde  $\psi$  es la función de onda del condensado de bosones,  $\mu$  es el potencial químico y  $g$  la constante de interacción. El límite  $g \rightarrow 0$  corresponde a bosones libres y las correcciones al mismo pueden calcularse por teoría de perturbaciones, mientras que en  $g \rightarrow \infty$  la denominada teoría de Thomas-Fermi es aplicable [56] y las correcciones a la misma son debidas a efectos en la frontera del condensado. En tres dimensiones, estas correcciones fueron calculadas por Fetter y Feder [81]. Cálculos análogos se presentaron en la Ref. [16] para el problema bidimensional. Nótese que la Ec. (2.45) tiene la forma de una ecuación de Schrodinger no lineal donde  $\mu$  juega el papel del autovalor.

En términos de  $\psi$ , el potencial químico y la energía del sistema de átomos se escriben:

$$\mu = \int d^3r \left\{ \psi^* \left( -\frac{1}{2} \Delta + \frac{1}{2} r^2 \right) \psi + g |\psi|^4 \right\}, \quad (2.46)$$

$$E = \mu - \frac{g}{2} \int d^3r |\psi|^4. \quad (2.47)$$

Para estas magnitudes podemos obtener series en los límites  $g \rightarrow 0$  y  $g \rightarrow \infty$ :

$$f(R)|_{R \rightarrow 0} = b_0 + b_5 R^5 + \mathcal{O}(R^{10}), \quad (2.48)$$

	$E$	$\mu$
$b_0$	1	1
$b_4$	1/16	1/8
$b_8$	-0.001124	-0.003371
$a_0$	1/3	1/2
$a_4$	4/3	2/3
$Q_2$	0.646107	0.751621
$Q_4$	0.292455	0.424002
$Q_6$	0.073825	0.142145
$P_4$	0.262488	0.379052

Tabla 2.2: Coeficientes de los desarrollos asintóticos para la energía y el potencial químico de bosones en dos dimensiones.

$$f(R)|_{R \rightarrow \infty} = R^2 \left\{ a_0 + \frac{a_4}{R^4} \ln(AR) + \mathcal{O}(1/R^5) \right\}, \quad (2.49)$$

donde  $R = (15g/(4\pi))^{1/5}$  tiene interpretación de radio del condensado en el límite de  $g$  grandes. A partir de las mismas podemos construir los aproximantes de Padé, por ej.

$$\begin{aligned} P_{6,3}(R) &= b_0 + b_5 R^5 \frac{1 + q_1 R}{1 + q_1 R + \dots + q_4 R^4} \\ q_3 &= b_5/a_0, \quad q_1 = 3q_3/(2a_0), \\ q_4 &= b_5 q_1/a_0, \quad q_2 = 3b_5 q_1/(2a_0^2), \end{aligned} \quad (2.50)$$

los cuales brindan aproximaciones analíticas para estas magnitudes a cualquier  $R$ . El hecho de que el término que acompaña a  $a_4$  contenga la dependencia  $\ln(R)$ , que no es polinómica, puede resolverse construyendo el aproximante para la magnitud  $(1/R)d/dR (R^2 f(R))$ .

En la Fig. 2.7 mostramos cómo se compara el aproximante  $P_{9,4}(R)$  con la solución numérica de la ecuación de GP obtenida en el trabajo [82] para la energía de bosones en dos dimensiones. Ahora  $R = (4g/\pi)^{1/4}$  y el aproximante se define según:

$$P_{9,4}(R) = b_0 + \frac{6b_4}{R^2} \int_0^R dx x^5 \frac{1 + Q_2 x^2 + P_4 x^4}{1 + Q_2 x^2 + Q_4 x^4 + Q_6 x^6}, \quad (2.51)$$

donde los coeficientes que en el intervienen vienen dados en el Cuadro 2.2. La diferencia entre el Padé y la solución numérica no excede el 2 % en el intervalo de  $R$  considerado.

## 2.4 La función BCS y las ecuaciones de Bethe-Goldstone para sistemas multiexcitónicos confinados

En los trabajos [18, 19, 25, 35, 36] se hace uso extensivo de la función BCS para describir el apareamiento de fermiones, mientras que en el artículo [20] se utilizó la denominada ecuación

de Bethe - Goldstone para estudiar sistemas de hasta 12 pares electrón - hueco y sistemas no neutros (hasta 6 electrones y 2 huecos). Mas abajo describimos los resultados mas relevantes de estos artículos.

### 2.4.1 La transición al régimen BCS, la luminiscencia coherente y otras propiedades de sistemas multiexcitónicos

En el trabajo [19] se resaltó e hizo uso de la analogía entre los núcleos atómicos y los sistemas de excitones en semiconductores. Un método de cálculo de la estructura nuclear muy empleado para núcleos pesados y que se basa en una función BCS [58] fue utilizado para calcular la energía de sistemas de hasta 90 pares de electrones y huecos, es decir hasta 180 partículas, con el objetivo de investigar cuándo, o sea para qué densidades, el sistema se comporta como un gas de electrones y huecos y cuándo se manifiesta como un sistema de excitones descrito por la función BCS.

La función de onda variacional BCS,

$$|BCS\rangle = \prod_{j=1}^{N_{max}} (u_j + v_j h_j^\dagger e_j^\dagger) |0\rangle, \quad (2.52)$$

aparea huecos y electrones en estados con momento angular total igual a cero. El estado  $\bar{j}$  del electrón tiene momento invertido respecto del hueco.  $|u_j|^2$  es la probabilidad de que no exista el par  $(j, \bar{j})$ , mientras que  $|v_j|^2$  es la probabilidad de que exista. El principio de Ritz

$$E_{gs} \leq \langle BCS | H | BCS \rangle, \quad (2.53)$$

nos da un estimado para la energía del estado base,  $E_{gs}$ . Los coeficientes  $u_j$  y  $v_j$  se utilizan como parámetros variacionales sujetos a la ligadura  $|u_j|^2 + |v_j|^2 = 1$ . La minimización conduce a la denominada ecuación del gap

$$\Delta_j = \sum_{k \neq j} \langle j, k | V | k, j \rangle \frac{\Delta_k}{2\sqrt{\Delta_k^2 + (\epsilon_k^{HF} - \mu)^2}}, \quad (2.54)$$

donde  $V$  es el potencial de interacción entre pares,  $\epsilon_k^{HF}$  es la energía del estado  $k$  renormalizada por la interacción con el resto de los estados y  $\mu$  es el potencial químico que se determina de la ecuación

$$N = \langle BCS | \sum_j e_j^\dagger e_j | BCS \rangle. \quad (2.55)$$

Los coeficientes  $v_j$  se han escrito en términos de los parámetros de gap,  $\Delta_j$ , así:

$$v_j = \frac{1}{2} \left( 1 - \frac{\epsilon_j^{HF} - \mu}{\sqrt{\Delta_j^2 + (\epsilon_j^{HF} - \mu)^2}} \right). \quad (2.56)$$

Las ecuaciones (2.54) se resuelven iterativamente y muestran muy buenas propiedades de convergencia.

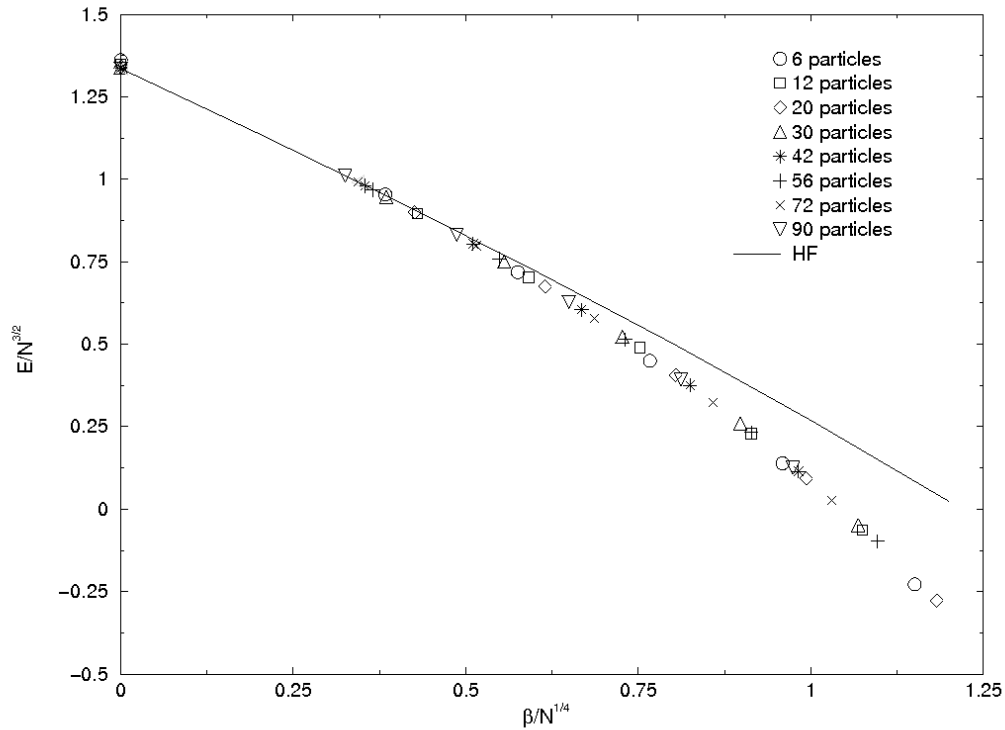


Figura 2.8: Escalamiento de la energía en sistemas de hasta 90 pares electrón - hueco. La curva continua representa el estimado de Hartree - Fock.

Debido a que la función BCS no conserva el número de partículas se hace necesario un procedimiento de proyección. En el trabajo se empleó una proyección aproximada propuesta por Lipkin y Nogami [83, 84]. Al resultar evidente que esta proyección era insuficiente se creó un método estocástico basado en el algoritmo de Metropolis que ofreció muy buenos resultados, incluso en sistemas nucleares [18].

Además del estimado de la energía de  $N$  excitones ( $2 \leq N \leq 90$ ) para cualquier valor del confinamiento del punto cuántico, las conclusiones más importantes del artículo [19] son las siguientes: a) que la energía muestra propiedades de escalamiento y b) que el apareamiento es significativo cuando  $\beta > 0.55 N^{1/4}$ . Traducido a densidades, esto significa que la densidad superficial de pares es mayor que  $4/(\pi a_B^2)$ , donde  $a_B$  es el radio de Bohr efectivo del material. Estas propiedades son evidentes en la fig. 2.8 El apareamiento aquí se visualiza como separación de los valores de energía respecto del estimado de Hartree - Fock.

Por otro lado, en el trabajo [25] se analizaron los efectos combinados de la energía de confinamiento del punto cuántico, la energía Zeeman, la interacción de Coulomb y de campos magnéticos intensos sobre la polarización de los espines electrónicos y la luminiscencia coherente en sistemas de hasta 40 pares e - h.

El esquema teórico ya había sido utilizado en el artículo [19], es decir una función de onda BCS

con proyección aproximada a lo Lipkin - Nogami (LN). La bondad de este método en el caso de campos magnéticos grandes consiste en que la función BCS reproduce el estado básico exacto – un condensado de excitones [85]– en el límite de campos infinitos.

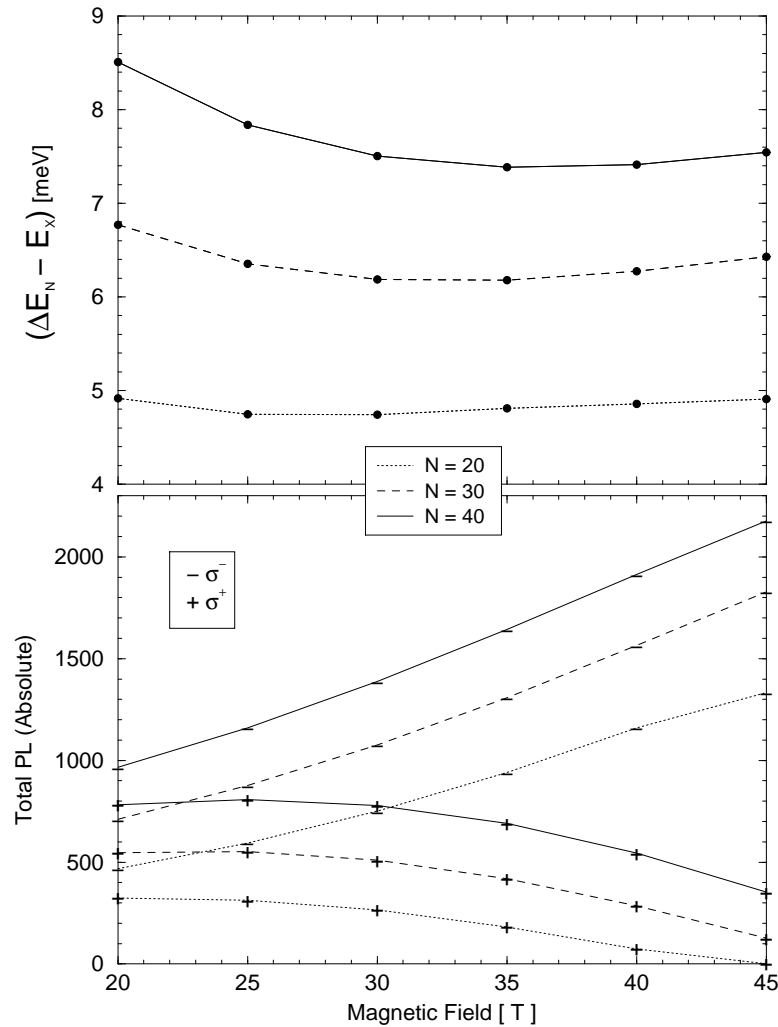


Figura 2.9: Posición e intensidad de la línea de luminiscencia como función del campo magnético y el número de excitones en el punto.  $E_X$  es la energía del excitón.

Mediciones de la luminiscencia en pozos cuánticos como función de la intensidad y polarización de la luz que crea los excitones habían sido reportadas en [86].

Nuestros cálculos arrojan sólo un 10 % de polarización neta de los espines electrónicos, aún a campos tan altos como 20 Teslas, debido a la fuerte interacción entre electrones y huecos. Además, se predice un corrimiento hacia el azul del pico de luminiscencia coherente con el aumento del número de pares e - h presentes en el punto (o, lo que es equivalente, aumento de la intensidad del láser). Un ejemplo de estos resultados se muestra en la Fig. 2.9.

## 2.4.2 Dinámica de un punto cuántico acoplado a una microcavidad óptica

En el trabajo [36] se estudia la dinámica de un punto cuántico acoplado resonantemente a una microcavidad óptica. La motivación es un trabajo teórico previo [87] que a su vez se inspira en resultados experimentales recientes [59, 60, 61]. En [87] se describe el campo fotónico en términos de un espacio de Fock que contiene hasta 100 fotones. Considerando un solo estado del excitón en el punto, la dinámica en esta base de funciones se describe por un sistema de 300 ecuaciones lineales acopladas. En el trabajo nuestro, por el contrario, se utiliza para los fotones un campo coherente (descrito solamente por una amplitud y una fase) por lo que, aún siendo una descripción simplificada, permite incluir mayor cantidad de estados excitónicos en el punto y así considerar otros efectos.

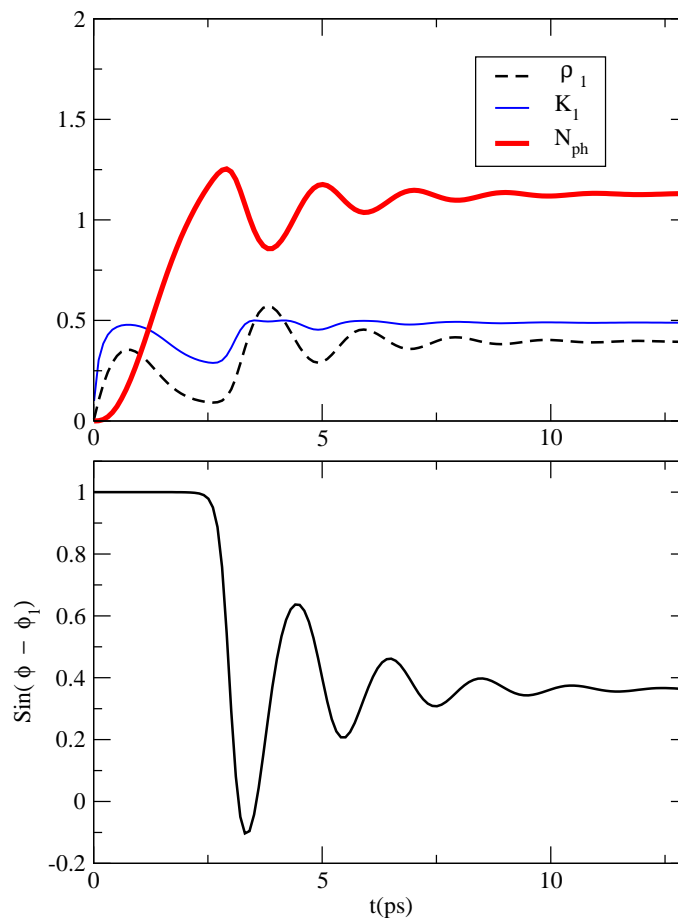


Figura 2.10: Número de fotones, ocupación y polarización del punto cuántico con un solo estado del par y parámetros  $P = 1 \text{ ps}^{-1}$ ,  $k = 0.5 \text{ ps}^{-1}$ . El parámetro  $\Delta$  es  $4.5 \text{ ps}^{-1}$  (resonancia máxima).

Nuestro esquema de trabajo se basa en considerar la evolución temporal de magnitudes como:

$$\rho_n = \langle e_n^\dagger e_n \rangle = \langle h_{\bar{n}}^\dagger h_{\bar{n}} \rangle, \quad (2.57)$$

$$N_{ph} = |\sigma|^2 = \langle a^\dagger a \rangle, \quad (2.58)$$

$$\kappa_{n\bar{n}} = \langle e_{n\downarrow} h_{\bar{n}\uparrow} \rangle. \quad (2.59)$$

$\rho_n$  describe la ocupación del nivel electrónico  $n$  en el punto (o del nivel correspondiente  $\bar{n}$  del hueco),  $\sigma$  es el campo fotónico y  $\kappa_{n\bar{n}}$  es la función de apareamiento o polarización.  $\rho_n$  y  $\kappa_{n\bar{n}}$  provienen de una descripción del subsistema electrónico por medio de una función BCS.

Las ecuaciones dinámicas se hallan de calcular el conmutador con el hamiltoniano. Por ejemplo, para  $\rho_n$ :

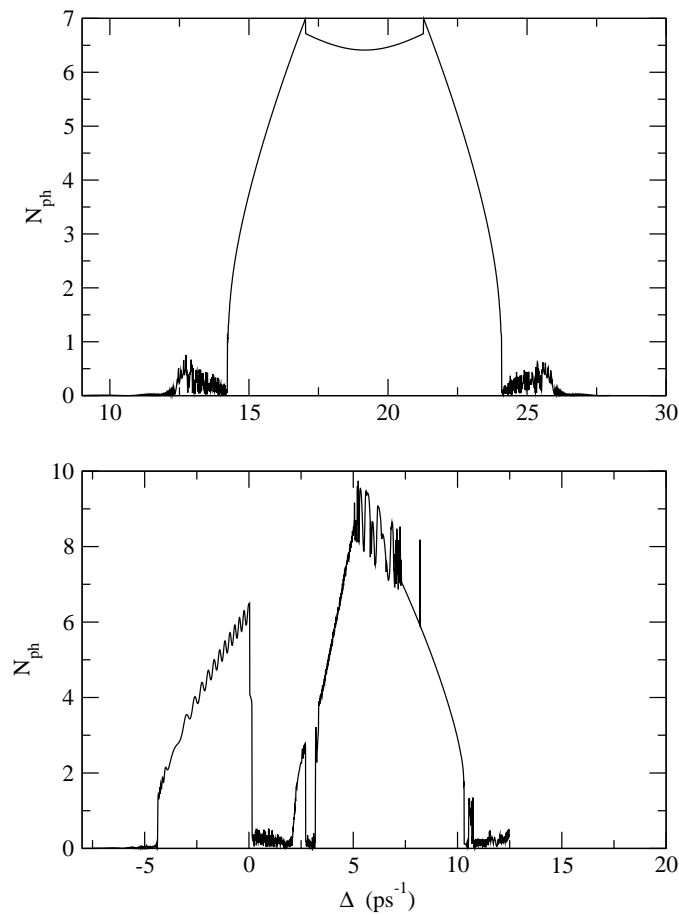


Figura 2.11: El número de fotones como función de  $\Delta$  para el punto con  $N_{states} = 2$  y parámetros  $P = 1 \text{ ps}^{-1}$ ,  $k = 0.1 \text{ ps}^{-1}$ . En el panel superior, las interacciones de Coulomb no han sido incluidas ( $\beta = 0$ ).

$$i\hbar \frac{d\rho_n}{dt} = \langle [e_n^\dagger e_n, H] \rangle. \quad (2.60)$$

Las mismas se complementan con términos que describen fenomenológicamente las pérdidas a través de los espejos de la microcavidad, el decaimiento espontáneo de los estados excitónicos en el punto y el bombeo incoherente del punto cuántico. Por ejemplo, para  $\rho_n$  se obtiene:

$$\begin{aligned} \frac{d\rho_n}{dt} = & - \frac{2\beta}{\hbar} \kappa_n \sum_{j \neq n} \langle n, j | 1/r | j, n \rangle \kappa_j \sin(\phi_n - \phi_j) - \frac{2g}{\hbar} s \kappa_n \sin(\phi - \phi_n) \\ & - \gamma \rho_n + P(1 - \rho_n). \end{aligned} \quad (2.61)$$

En esta ecuación,  $\beta$  es la constante de la interacción de Coulomb,  $\kappa_n$  y  $\phi_n$  son el módulo y la fase de  $\kappa_{n\bar{n}}$ , mientras que  $s$  y  $\phi$  son el módulo y la fase de  $\sigma$ . Las constantes  $\gamma$  y  $P$  parametrizan respectivamente el decaimiento espontáneo y el bombeo incoherente del punto. Las pérdidas de fotones en la microcavidad se caracterizan por la constante  $k$ .

En la Fig. 2.10 mostramos la evolución temporal de las magnitudes  $\rho_1$ ,  $\kappa_1$ ,  $N_{ph}$  y  $\sin(\phi - \phi_1)$  para el caso en que en el punto hay un solo estado del par. Estos resultados se corresponden cualitativamente con los del trabajo [87].

Por el contrario, en la Fig. 2.11 mostramos el caso en que en el punto hay dos estados excitónicos. La magnitud planteada es el número de fotones,  $N_{ph}$ , para tiempos largos como función de  $\Delta$ , la cual tiene interpretación de diferencia entre las energías del excitón y del modo fotónico en la microcavidad. La parte superior de la figura se hizo sin tomar en cuenta la interacción de Coulomb ( $\beta = 0$ ), de forma que los efectos de Coulomb son evidentes. Los dos picos en el panel inferior corresponden a resonancias entre el modo fotónico y la energía de uno u otro estado del par en el punto.

### 2.4.3 Energía de excitones múltiplemente cargados a partir de la ecuación de Bethe-Goldstone

La ecuación de Bethe-Goldstone es la base de la denominada aproximación de pares independientes en núcleos [58]. Significa una mejora apreciable sobre los métodos de Hartree-Fock o de partículas independientes en el sentido que se consideran las correlaciones de pares en la función de onda del núcleo. Ha sido utilizada extensivamente en Física Nuclear para el cálculo de la energía de cohesión de la materia nuclear y de la energía (masa) de núcleos intermedios.

En el trabajo [20], la ecuación de Bethe-Goldstone fue reformulada para sistemas de excitones confinados en puntos cuánticos y empleada para el cálculo de la energía de estos sistemas. Se investigaron sistemas desde el biexcitón (2 electrones - 2 huecos) hasta conglomerados de 12 pares, considerando además sistemas cargados, 4e - 2h y 6e - 2h. La diferencia  $E_{N+1} - E_N$  entre las energías de N+1 y N excitones permite evaluar cómo depende la frecuencia del láser que crea un nuevo par con el número de pares presentes en el punto cuántico. De nuestros resultados se dedujo, además, la aparente inestabilidad del sistema 4e - 4h en un pozo cuántico.

La ecuación de Bethe-Goldstone describe el movimiento de un par de fermiones que ocupan los estados  $\alpha$  y  $\gamma$  por debajo del nivel de Fermi y se dispersan hacia estados por encima del nivel de Fermi. Dicha ecuación se escribe:

$$(T_1 + T_2 + Q_{\alpha\gamma}V)\psi_{\alpha\gamma} = E_{\alpha\gamma}\psi_{\alpha\gamma}, \quad (2.62)$$

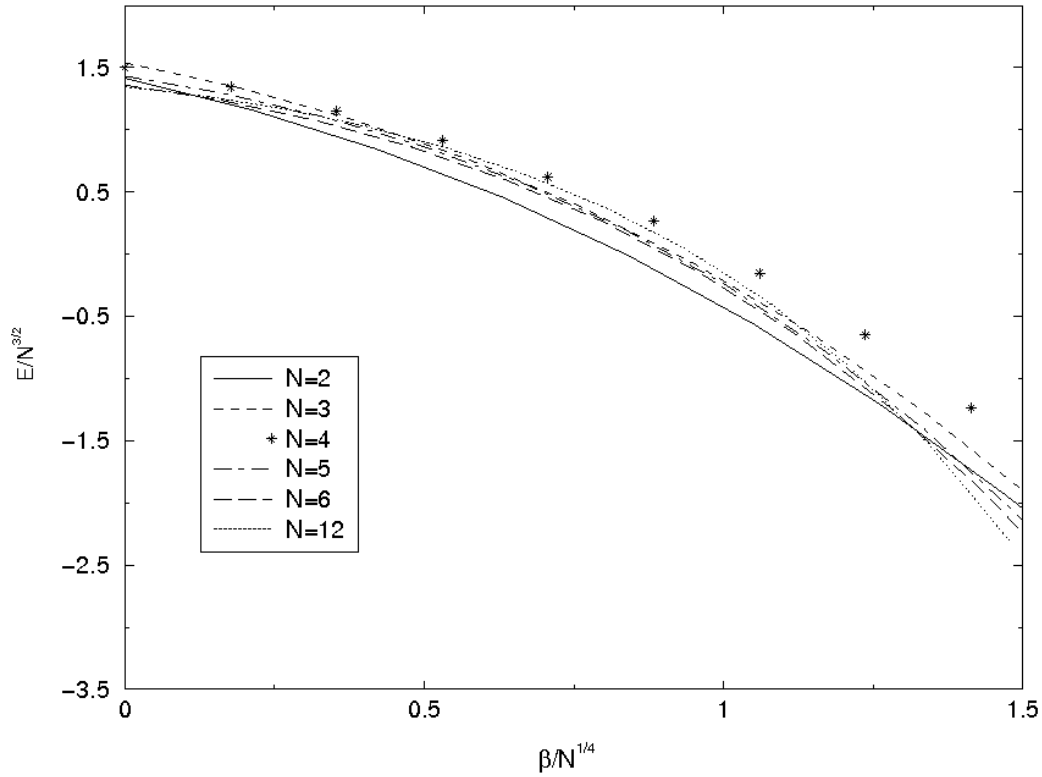


Figura 2.12: Energías de sistemas de  $N$  excitones calculadas a partir de la ecuación de Bethe-Goldstone.

donde  $T$  son los operadores de energía de partículas libres en un campo externo y  $V$  es la interacción entre pares de partículas.  $Q_{\alpha\gamma}$  realiza la proyección sobre los estados disponibles

$$Q_{\alpha\gamma} = |\alpha\gamma\rangle\langle\alpha\gamma| + \sum_{\mu',\lambda'>\mu_F} |\mu',\lambda'\rangle\langle\mu',\lambda'|. \quad (2.63)$$

Escribiendo:

$$\psi_{\alpha\gamma} = |\alpha\gamma\rangle + \sum_{\mu',\lambda'>\mu_F} C_{\mu'\lambda'}^{\alpha\gamma} |\mu',\lambda'\rangle, \quad (2.64)$$

obtenemos para  $C_{\mu\lambda}^{\alpha\gamma}$  y  $E_{\alpha\gamma}$ :

$$\begin{aligned} (\epsilon_{\mu}^{(0)} + \epsilon_{\lambda}^{(0)} - E_{\alpha\gamma})C_{\mu\lambda}^{\alpha\gamma} + \sum_{\mu',\lambda'>\mu_F} \langle\mu,\lambda|V|\mu',\lambda'\rangle C_{\mu'\lambda'}^{\alpha\gamma} \\ = -\langle\mu,\lambda|V|\alpha,\gamma\rangle, \end{aligned} \quad (2.65)$$

$$\begin{aligned} E_{\alpha\gamma} &= \epsilon_{\alpha}^{(0)} + \epsilon_{\gamma}^{(0)} + \langle\alpha,\gamma|V|\alpha,\gamma\rangle \\ &+ \sum_{\mu',\lambda'>\mu_F} \langle\alpha,\gamma|V|\mu',\lambda'\rangle C_{\mu'\lambda'}^{\alpha\gamma}. \end{aligned} \quad (2.66)$$

Las ecuaciones (2.65) constituyen un sistema lineal de donde se obtiene  $C_{\mu\lambda}^{\alpha\gamma}$  como función de  $E_{\alpha\gamma}$ , después sustituyendo en (2.66) llegamos a una ecuación trascendente para  $E_{\alpha\gamma}$ . La energía total se halla de:

$$E = \sum_{\alpha} \epsilon_{\alpha}^{(0)} + \sum_{\alpha < \gamma} (E_{\alpha\gamma} - \epsilon_{\alpha}^{(0)} - \epsilon_{\gamma}^{(0)}). \quad (2.67)$$

En la Fig. 2.12 mostramos la energía de  $N$  excitones ( $2 \leq N \leq 12$ ) calculadas por este método. El parámetro  $\beta$  está relacionado con la razón entre las energías características de Coulomb y de oscilador,  $\beta = \sqrt{E_c/(\hbar\omega)}$ . Nótese el escalamiento con respecto al número de pares y a la constante de interacción.

## 2.5 El método de Monte Carlo variacional en la descripción de bosones en trampas y la proyección por Monte Carlo de la función BCS

En los trabajos [17] y [18] se utilizó el método de Monte Carlo para estimar, respectivamente, la energía de un sistema de alrededor de 200 bosones confinados en una trampa y para proyectar la función de onda BCS que se había empleado en sistemas de excitones y en el cálculo de la energía de apareamiento de núcleos.

### 2.5.1 Energía de sistemas de bosones cargados en trampas de átomos

El perfil de densidad, el potencial químico y otras magnitudes en sistemas de  $10^4$  -  $10^6$  átomos confinados en trampas y enfriados por láser hasta temperaturas muy por debajo de 1K han sido medidas experimentalmente en fecha reciente [88]. Inicialmente, el interés se centró en la realización experimental del fenómeno de condensación de Bose para átomos bosónicos (espín entero), aunque mas recientemente también se han estudiado los sistemas de fermiones altamente degenerados y los sistemas mixtos de Bose y Fermi.

En el trabajo [17] se calculó la energía del estado base de sistemas de hasta 210 bosones con interacción de Coulomb entre ellos y confinados en una trampa cuasi-bidimensional. Aunque los sistemas de bosones con interacción de Coulomb no han sido estudiados experimentalmente, la posibilidad de tener un plasma de partículas alfa en el núcleo de una estrella neutrónica [89], o la posible existencia de bosones cargados en los superconductores a capas [90] han motivado varios trabajos teóricos. El nuestro es el primero que estudió al sistema finito confinado en una trampa, aunque trabajos posteriores ya existen [91].

El cálculo se hizo por dos vías: analíticamente utilizando los denominados aproximantes dobles de Padé de la Sec. 2.3 y a partir del método variacional de Monte Carlo (MC) [57]. En realidad, la novedad del trabajo se inclina mas hacia la aplicación de los aproximantes dobles de Padé a sistemas de cientos de bosones. En la presente sección, sin embargo, nos concentramos en el método de Monte Carlo.

El método variacional de MC combina el principio variacional de Ritz con la técnica de MC para evaluar integrales multidimensionales. Siendo  $\Psi_T$  una función de prueba arbitraria, el

principio variacional nos dice que la energía del estado base satisface la desigualdad

$$\begin{aligned} E_{gs} &\leq \langle \Psi_T | H | \Psi_T \rangle \\ &\leq \int d^2r_1 \dots d^2r_N |\Psi_T|^2 E_T(\vec{r}_1, \dots, \vec{r}_N), \end{aligned} \quad (2.68)$$

donde  $H$  es el hamiltoniano del problema y  $E_T = \Psi_T^{-1} H \Psi_T$ . La integral, de dimensión  $2N$ , es evaluada por MC. Para ello generamos puntos  $\vec{R} = (\vec{r}_1, \dots, \vec{r}_N)$  con probabilidad dada por  $|\Psi_T|^2$ . Tenemos:

$$E_{gs} \leq \frac{1}{N_{\text{puntos}}} \sum_K E_T(\vec{R}_K). \quad (2.69)$$

El lado derecho de (2.69) es el estimado para  $E_{gs}$ .

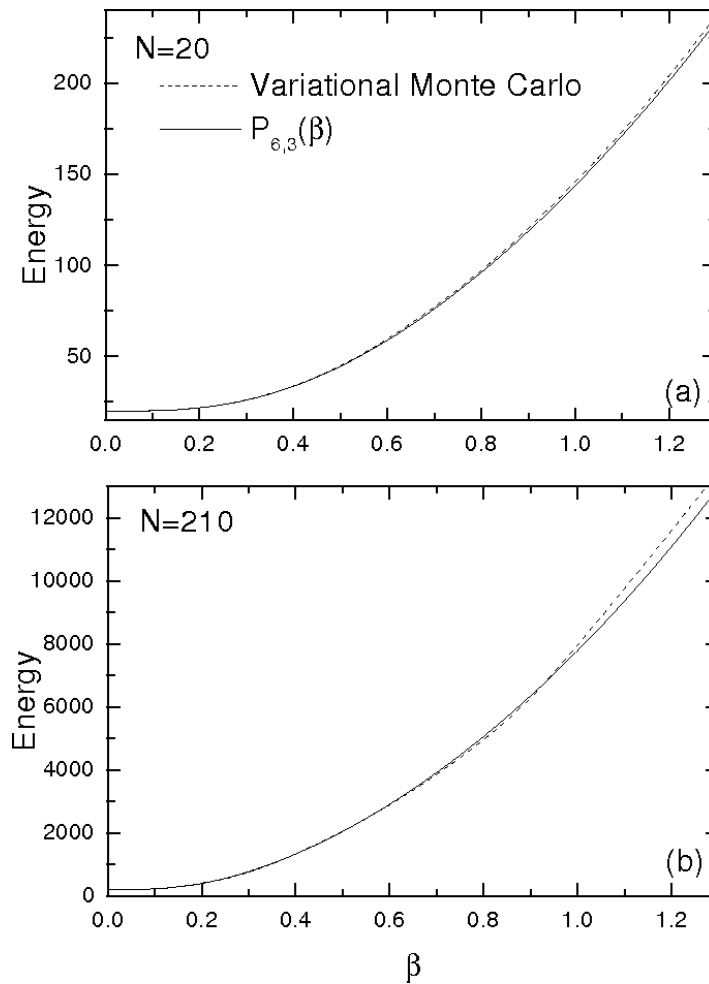


Figura 2.13: Comparación entre los resultados de Monte Carlo y los aproximantes dobles de Padé para 20 y 210 bosones.

El valor de  $N_{puntos}$  utilizado en nuestros cálculos fue  $10^5$ . La función de prueba  $\Psi_T$  contenía correlaciones entre pares de partículas (factores de Jastrow) y sus tres parámetros variacionales eran utilizados para minimizar la energía. La generación de puntos en el espacio multidimensional se hizo a partir del algoritmo de Metropolis [57]. Este es un algoritmo secuencial en el que el punto  $\vec{R}_{K+1}$  se genera a partir de  $\vec{R}_K$  de acuerdo con lo siguiente:

- (i) Se crea  $\vec{R}' = \vec{R}_K + \delta\vec{R}$ , donde  $\delta\vec{R}$  es una perturbación aleatoria.
- (ii) Se genera un número aleatorio  $r$  distribuido uniformemente en  $(0,1)$ .
- (iii) Si  $|\Psi_T(\vec{R}')|^2/|\Psi_T(\vec{R}_K)|^2 > r$ , entonces  $\vec{R}_{K+1} = \vec{R}'$ , en caso contrario  $\vec{R}_{K+1} = \vec{R}_K$ .

Un ejemplo de los resultados de [17] se muestra en la Fig. 2.13. El parámetro  $\beta$  es función de la razón entre las energías características de Coulomb y de oscilador:  $\beta^3 = \sqrt{(me^4/\hbar^2)/(\hbar\omega)}$ . El límite  $\beta \rightarrow 0$  corresponde a bosones no interactuantes, mientras que  $\beta \rightarrow \infty$  corresponde a un régimen en que la repulsion de Coulomb domina y el sistema se comporta como un sólido rígido (un cristal o molécula de Wigner). En  $\beta \approx 1$  la contribución de las interacciones de Coulomb es altamente no perturbativa. La diferencia entre los estimados de Padé y por MC es inferior al 1.5 % para 20 bosones y menor que el 4 % para 210 bosones en el rango del parámetro mostrado en la Fig. 2.13.

## 2.5.2 Proyección estocástica de la función BCS

El método de MC en la variante de Metropolis fue utilizado también en el trabajo [18] con el objetivo de proyectar la función de onda BCS al sector con un número fijo de partículas, corrigiendo así la mayor deficiencia de esta función cuando se aplica a sistemas finitos, mencionada en la Sec. 2.4. Esto no sólo nos permitió hallar mejores valores para la energía en el caso de sistemas de excitones sino que, de vuelta a la Física Nuclear, se calculó la energía de apareamiento en diversos modelos de estructura nuclear y en el isótopo de Zr con masa atómica 100. Los resultados nuestros son comparables en exactitud con los mejores cálculos cuánticos por MC de esta magnitud [92].

La proyección de la función BCS sobre el sector de  $N$  pares se escribe

$$|\Psi_{BCS}^N\rangle = C_N \sum_{j_1, \dots, j_N} \left( \prod_{k=j_1}^{j_N} \frac{v_k}{u_k} a_k^\dagger a_k^\dagger \right) |0\rangle, \quad (2.70)$$

donde

$$C_N = \sum_{j_1, \dots, j_N} \left( \frac{v_{j_1}^2 \dots v_{j_N}^2}{u_{j_1}^2 \dots u_{j_N}^2} \right)^{-1/2}. \quad (2.71)$$

El estimado para la energía se obtiene de

$$\begin{aligned} E_{BCS}^N &= \langle \Psi_{BCS}^N | H | \Psi_{BCS}^N \rangle \\ &= \sum_{j_1, \dots, j_N} W(j_1, \dots, j_N) \epsilon(j_1, \dots, j_N), \end{aligned} \quad (2.72)$$

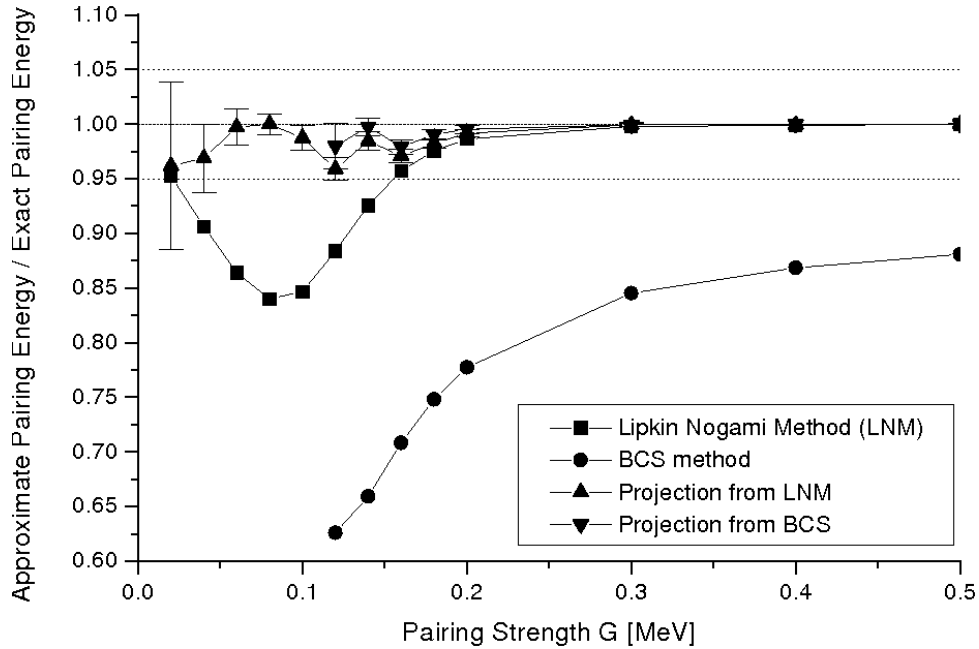


Figura 2.14: Energía de apareamiento entre núcleones en un modelo de dos niveles degenerados.

donde  $\epsilon(j_1, \dots, j_N)$  tiene interpretación de energía cuando los  $N$  estados  $j_1, \dots, j_N$  están ocupados y los coeficientes

$$W(j_1, \dots, j_N) = C_N \frac{v_{j_1}^2 \dots v_{j_N}^2}{u_{j_1}^2 \dots u_{j_N}^2}, \quad (2.73)$$

que son explícitamente mayores que cero, pueden interpretarse como factores de peso. La expresión (2.72) permite una evaluación por MC, donde el conjunto de estados  $(j_1, \dots, j_N)$  se generan según Metropolis con peso  $W(j_1, \dots, j_N)$ .

En la Fig. 2.14 se muestran algunos resultados en un modelo de estructura nuclear. En este modelo la energía de apareamiento se puede calcular exactamente, de modo que la razón entre la energía calculada y la exacta en el caso ideal es igual a uno. El gráfico muestra esta razón como función de la constante de interacción o apareamiento,  $G$ . La solución BCS da un error de hasta un 40 %, mientras que LN da un error cercano al 15 % cuando  $G \approx 0.1$ . La proyección por MC a partir de la Ec. (2.72), sin embargo, reduce el error relativo a menos del 5 % en todo el rango de variación de  $G$ , llegando incluso a coincidir prácticamente con la energía exacta cuando el apareamiento es fuerte.

## 2.6 La diagonalización exacta y el algoritmo de Lanczos. Aplicación a puntos cuánticos pequeños

En los trabajos [21, 24, 26, 28, 31] se empleó la diagonalización exacta del hamiltoniano cuántico para obtener diversas propiedades de sistemas relativamente pequeños, con un máximo de 7 partículas.

En muchos de los problemas que se describen en ésta y la próxima sección, los cálculos numéricos tienen en común el hecho de que aproximadamente el 80 % del tiempo computacional es dedicado al cálculo de los elementos de matriz del potencial de Coulomb,  $\langle n_1, n_2 | 1/|\vec{r}_1 - \vec{r}_2| | n_3, n_4 \rangle$ , donde los  $|n_\alpha\rangle$  representan estados del oscilador armónico en dos dimensiones. Para optimizar este tiempo, el autor y sus colaboradores calcularon todos los elementos de matriz no nulos entre estados de las primeras 20 capas de oscilador y los almacenaron en un archivo. Esto nos permitió, por ejemplo, reducir de varias horas a unos pocos minutos los cálculos de HF para un sistema con 200 electrones.

El primer paso en un proceso de diagonalización es la construcción de la base de funciones multiparticulares. En nuestro caso, la base fue conformada por determinantes de Slater de  $N$  partículas:  $S = |n_1, \dots, n_N\rangle$ . Como se mencionó en la Introducción, la dimensión del espacio de Hilbert crece exponencialmente con el número de partículas. Imponiendo la conservación exacta de magnitudes como el momento angular y la proyección del espín total se logra reducir un poco la dimensión de esta base. Y utilizando técnicas como el algoritmo de Lanczos para hallar, al menos, un sector del espectro de energías pudimos abordar problemas con un máximo de 7 partículas.

### 2.6.1 Absorción y luminiscencia inter-banda en puntos cuánticos bajo campos magnéticos muy intensos

En el trabajo [21] se calculó el coeficiente de absorción, la luminiscencia y el perfil de densidades de electrones y huecos en puntos cuánticos pequeños (de 0 a 3 electrones) en presencia de campos magnéticos muy intensos, entre 8 y 50 Teslas. Experimentos de luminiscencia en pozos cuánticos (donde existen muchos electrones confinados en una región cuasi-bidimensional) bajo campos magnéticos tan altos han sido reportados recientemente [93].

Los estados finales de un proceso de absorción e iniciales en uno de luminiscencia contienen un par electrón - hueco adicional. El sistema mas grande considerado fue el 4e - 1h. Las funciones de onda de los estados iniciales y finales fueron obtenidas por diagonalización exacta de la ecuación de Schrodinger en bases de aproximadamente 5,000 funciones. Debido a que los campos son tan altos las energías convergen rápidamente aún cuando la dimensión de la base es relativamente pequeña.

Las intensidades de las líneas de luminiscencia, por ejemplo, se calculan de la siguiente manera:

$$I_{i \rightarrow f} \sim |\langle f | D | i \rangle|^2, \quad (2.74)$$

donde  $D = \sum_n e_n h_{\bar{n}}$  es el operador dipolar interbanda. El estado  $\bar{n}$  del hueco tiene momento angular invertido y proyección del espín invertida respecto del estado del electrón. En el artículo

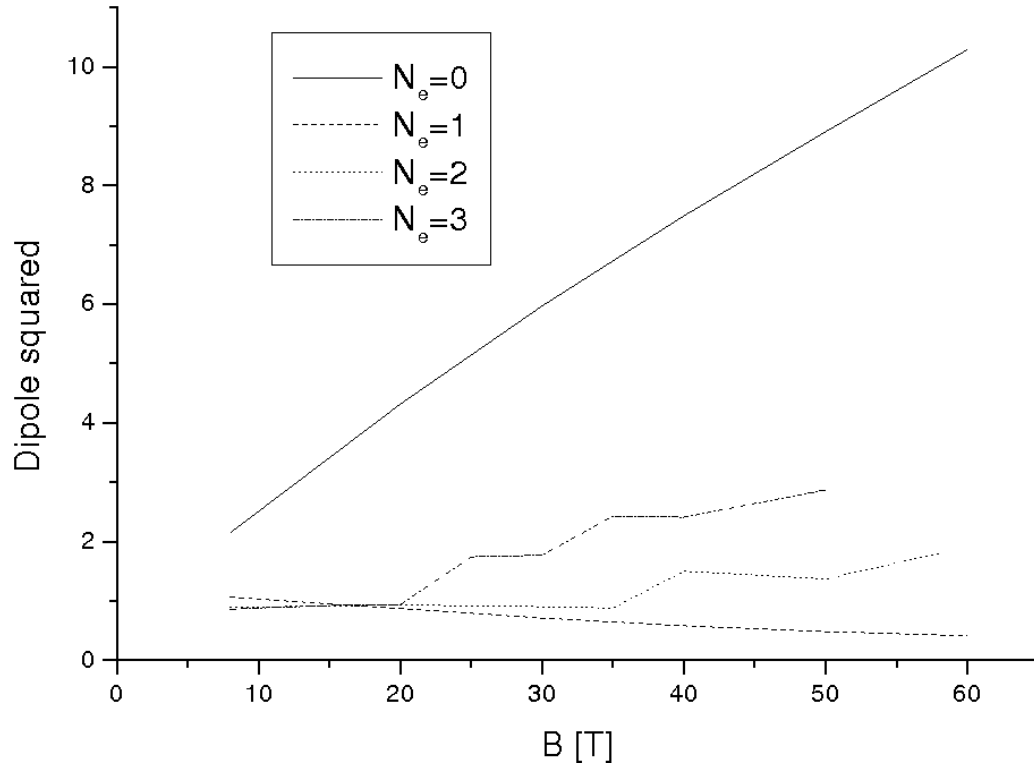


Figura 2.15: Intensidad del pico principal de luminiscencia correspondiente a excitones múltiplemente cargados.

se utiliza un modelo simple de dos bandas para puntos cuánticos de GaAs.

Se obtuvieron resultados interesantes como la re-estructuración de los estados de mas baja energía al variar el campo magnético, dando como resultado el corrimiento de los picos de absorción y de luminiscencia, así como variaciones abruptas del coeficiente de absorción o de la luminiscencia para valores de campos correspondientes a los llenados  $1/3$ ,  $1/5$ , etc del efecto Hall cuántico.

Como ejemplo de los resultados de este trabajo en la Fig. 2.15 mostramos los máximos de luminiscencia correspondientes a multiexcitones con un exceso de carga  $N_e$ , es decir la recombinación desde sistemas con  $N_e + 1$  electrones y un hueco. Observamos un comportamiento a saltos de las intensidades cuando  $N_e \geq 2$ . Los valores de campo en que esto ocurre corresponden a los llenados mencionados.

## 2.6.2 Tunelamiento resonante a través de un punto cuántico

Experimentos recientes han mostrado la factibilidad de controlar el número de electrones en un punto cuántico (desde uno hasta cuarenta), a la vez que reportan mediciones de la conductancia en los mismos [94, 95, 96, 97, 98].

En el trabajo [24] se tomaron parámetros que reprodujeran aproximadamente las condiciones de

los experimentos en [94, 95, 96, 97, 98] y se calculó exactamente la conductancia y la densidad de niveles para un punto de 6 electrones. Hay que resaltar que el punto cuántico se halla separado de los electrodos por barreras de potencial, por lo que la conducción a través del mismo se realiza por medio de un proceso de tunelamiento resonante.

Las energías y funciones de onda de 6 y 7 electrones en el punto fueron obtenidas a partir de la diagonalización de la ecuación de Schrodinger en bases de hasta 40,000 funciones utilizando el método de Lanczos para tratar matrices tan grandes.

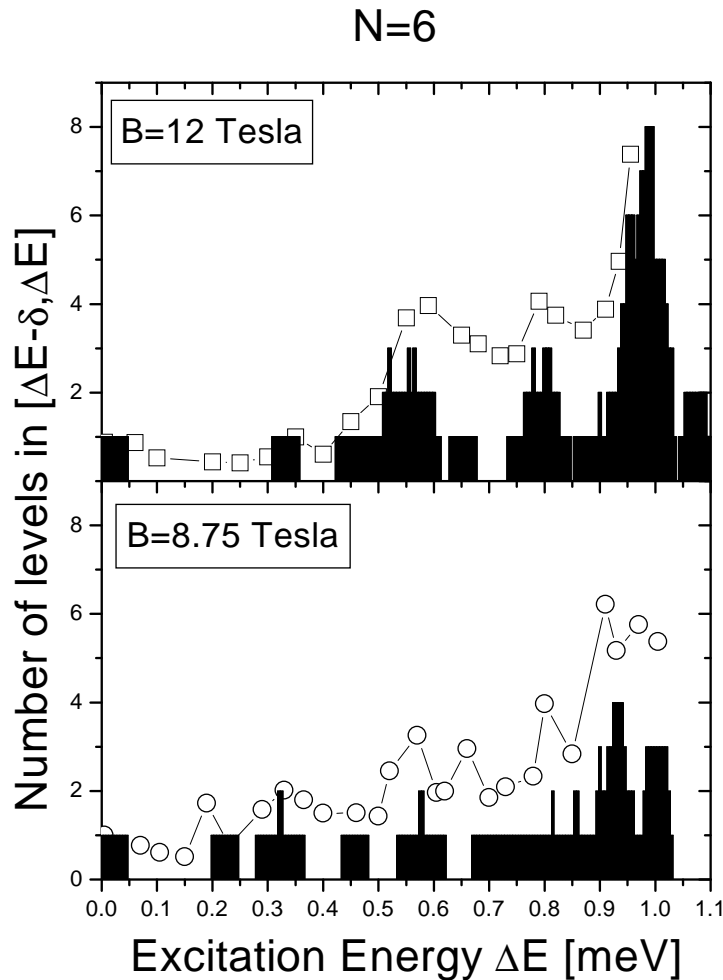


Figura 2.16: Densidad de niveles de energía para un punto cuántico con 6 electrones en estados polarizados del espín. Las barras representan los resultados de la diagonalización exacta, mientras que los símbolos son estimados a partir del coeficiente de trasmisión.

El método de Lanczos hace uso del algoritmo de Gram-Schmidt para ortogonalizar una base de vectores que es creada por la propia matriz hamiltoniana (que se supone simétrica). Debido a que la base es creada por la propia matriz, las propiedades de convergencia ante truncamiento son muy buenas. Quiere decir, por ejemplo, que para obtener los primeros 30 autovalores con buena aproximación basta representar la matriz en el subespacio de los primeros 500 vectores de Lanczos, aún cuando la dimensión de la matriz sea 40,000.

Sea  $\vec{e}_1$  un vector arbitrario. La primera iteración de Lanczos consiste en lo siguiente:

Calculamos  $a_1 = \vec{e}_1 \cdot H\vec{e}_1$ ,  $\vec{v}_2 = H\vec{e}_1 - a_1\vec{e}_1$ ,  $b_2 = |\vec{v}_2|$  y definimos  $\vec{e}_2 = \vec{v}_2/b_2$ . Tenemos entonces:

$$H\vec{e}_1 = a_1\vec{e}_1 + b_2\vec{e}_2. \quad (2.75)$$

En la segunda iteración calculamos:  $a_2 = \vec{e}_2 \cdot H\vec{e}_2$ ,  $\vec{v}_3 = H\vec{e}_2 - a_2\vec{e}_2 - b_2\vec{e}_1$ ,  $b_3 = |\vec{v}_3|$  y definimos  $\vec{e}_3 = \vec{v}_3/b_3$ . Tenemos:

$$H\vec{e}_2 = b_2\vec{e}_1 + a_2\vec{e}_2 + b_3\vec{e}_3. \quad (2.76)$$

Las siguientes iteraciones se hacen de manera análoga. Nótese que en la base  $\{\vec{e}_i\}$  el operador  $H$  se representa por una matriz tridiagonal.

Nuestros cálculos revelan que, a partir de una medición precisa de la conductancia, se puede obtener la densidad de estados excitados en sistemas de pocos electrones. Esta afirmación se ilustra en la Fig. 2.16, donde la densidad de estados obtenida por diagonalización exacta es comparada con la que se obtiene a partir de la conductancia (coeficiente de transmisión), calculada para un punto con 6 electrones y energías de excitación por debajo de 1 meV. En este intervalo,  $0 < \Delta E < 1$  meV, existen decenas de niveles de energía en el sistema estudiado. Nosotros consideramos sólo los estados polarizados de espín, es decir, aquellos con espín total  $S_z = N/2$ , que son los de menos energía cuando el campo magnético es de alrededor de 10 Teslas.

En la figura se muestra un histograma con el número de niveles de energía en subintervalos de 0.05 meV, el cual se compara con la magnitud:

$$n = \frac{\ln(1 - T_{peak})}{\ln(1 - T_1^{res})}, \quad (2.77)$$

donde  $T_{peak}$  es el valor del coeficiente de transmisión correspondiente a una energía de excitación  $\Delta E$  y  $T_1^{res}$  es el valor de este coeficiente cuando sólo el primer estado excitado, que está aislado del resto, está en resonancia. Por ejemplo, cuando  $B = 12$  Teslas el primer estado tiene  $\Delta E \approx 0.35$  meV. La idea detrás de la fórmula (2.77) es que al coeficiente de transmisión sólo contribuyen los estados que están en un intervalo de 0.05 meV alrededor de  $\Delta E$ . El coeficiente de transmisión de cada canal independiente se puede estimar como  $T_1^{res}$  y entonces el coeficiente total es [24]:

$$T \approx 1 - (1 - T_1^{res})^n, \quad (2.78)$$

de aquí la expresión (2.77).

### 2.6.3 Densidad de niveles de energía en un punto cuántico con 6 electrones

Motivados por los resultados de la sección anterior, en el trabajo [28] se estudió la densidad de niveles de energía en un punto cuántico con 6 electrones en un campo magnético intenso. En estas condiciones, a energías de excitación por debajo de 1.5 meV y considerando todas las polarizaciones del espín, existen cientos de estados excitados. Notar que el rango de energías estudiados es pequeño si se compara con la energía de ciclotrón ( $\hbar\omega_c \approx 12$  meV), con la energía

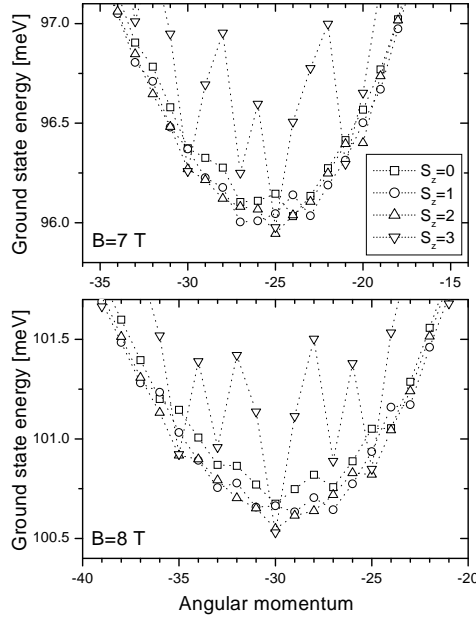


Figura 2.17: Niveles mas bajos de energía del sistema de 6 electrones en cada sector con momento angular y espín total dados.

característica de Coulomb ( $E_{coul} = 8.4$  meV) o con la energía de confinamiento del punto ( $\hbar\omega_0 = 3$  meV).

Se estudiaron todas las configuraciones de espín del sistema (desde  $S_z = 0$  hasta 3) y se incluyeron estados de una partícula de los primeros tres niveles de Landau para formar la base de funciones del sistema de 6 partículas. La matriz hamiltoniana en esta base alcanzó dimensiones de 850,000. Sus 200 autovalores mas bajos fueron obtenidos por medio del algoritmo de Lanczos, descrito mas arriba.

En la Fig. 2.17 mostramos los niveles mas bajos de energía en cada torre con momento angular total dado,  $L$ . El campo magnético se tomó igual a 7 T en el panel superior y 8 T en el inferior. Los saltos entre estados con  $S_z = 3$  y valores adyacentes de  $L$  son del orden de 0.6 meV, mientras que para cualquier otro valor de  $S_z$  las variaciones son mas suaves. La contribución de los niveles de Landau mas altos (segundo y tercero) a las energías es del orden de -0.4 meV, comparables con los saltos entre estados con  $L$  consecutivos.

El resultado principal del artículo se muestra esquemáticamente en la Fig. 2.18. El número de estados en escala logarítmica es planteado como función de la energía de excitación. Se ve claramente que existen dos regímenes, por debajo y por encima de 0.3 meV. En cada sector, la gráfica es muy bien aproximada por una dependencia:

$$n(\Delta E) = n_0 \exp \frac{\Delta E}{\Theta}. \quad (2.79)$$

El parámetro  $\Theta$  cambia abruptamente en  $\Delta E = 0.3$  meV, señalando una discontinuidad en la

densidad de estados. Mediciones Raman bajo régimen de resonancia extrema pudieran poner de manifiesto esta discontinuidad. La discontinuidad en la densidad de estados se interpreta en términos de la teoría de fermiones compuestos en el efecto Hall [102]. En los estados con  $\Delta E < 0.3$  meV, las cuasipartículas forman clusters compactos donde la interacción entre ellas, a pesar de ser débil, debe considerarse. Por el contrario, los estados con  $\Delta E > 0.3$  meV pueden visualizarse como excitaciones del tipo Rydberg, donde uno o varios fermiones compuestos no interactuantes orbitan alrededor de un núcleo de cuasipartículas débilmente interactuantes. En la figura se ha incluido la predicción de esta teoría.

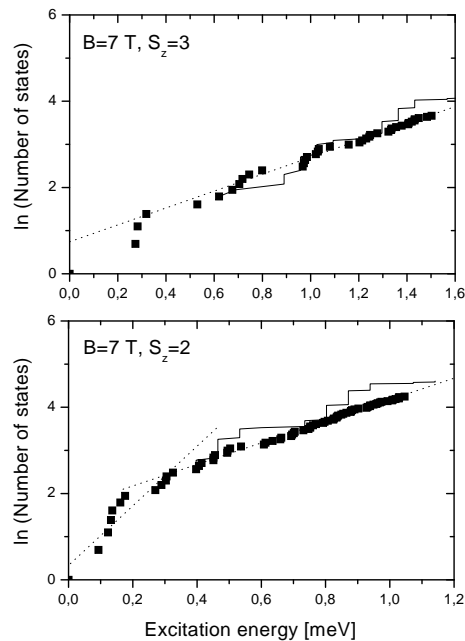


Figura 2.18: Logaritmo del número de niveles como función de la energía de excitación en un campo  $B = 7$  T: los resultados exactos (cuadrados) se comparan con la ecuación (2.79) (líneas discontinuas) y con la teoría de fermiones compuestos (líneas sólidas).

#### 2.6.4 Transiciones ópticas intra-bandas en el biexcitón

Las transiciones entre estados electrónicos internos, causadas por absorción de fotones en el infra-rojo lejano (5 - 10 meV), han sido estudiadas recientemente por medio de una técnica, conocida como ODR, consistente en observar sus efectos en las líneas de luminiscencia [99]. Los experimentos fueron realizados en pozos cuánticos y la línea de luminiscencia tomada como referencia es la línea fundamental del excitón.

En el trabajo [26], se calculan los niveles de energía, funciones de onda y elementos matriciales del operador dipolar para el biexcitón, definido según:

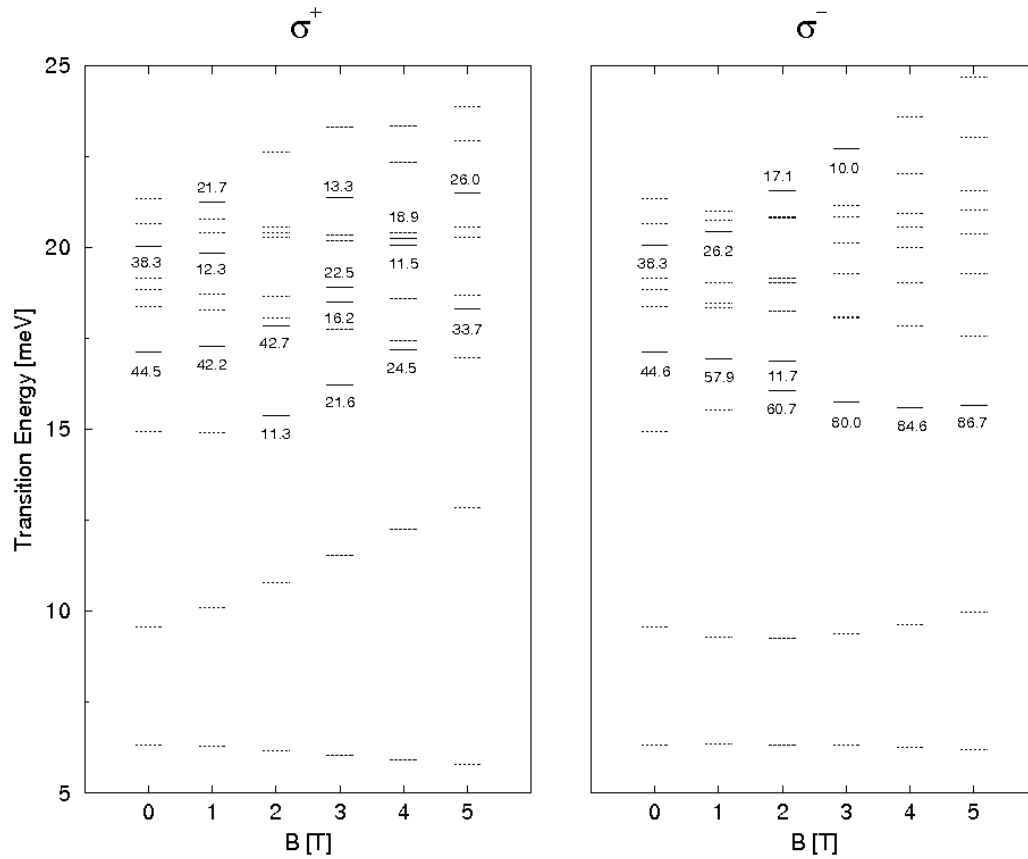


Figura 2.19: Energías de excitación y probabilidades relativas de absorción (sólo las superiores al 10 % se representan) en el biexcitón como función del campo magnético.

$$\vec{D} = \sum_{i=1}^2 (\vec{r}_{ie} - \vec{r}_{ih}). \quad (2.80)$$

Campos magnéticos entre 0 y 5 Teslas son considerados. Los parámetros utilizados (masas de las partículas, etc) corresponden a los de los experimentos [99]. La mezcla de sub-bandas de valencia se consideró aproximadamente. El método de cálculo fue la diagonalización directa de la ecuación de Schrodinger en bases de hasta 10,000 funciones, para lo cual se hizo uso del algoritmo de Lanczos.

Se hicieron predicciones para las posiciones e intensidades de las transiciones internas en el biexcitón, las cuales deben ser observadas siguiendo la línea biexcitónica en la ODR. Se obtuvieron resultados interesantes sobre anti-cruzamiento de niveles y transferencia de fuerza de oscilador entre estados que colisionan. Un ejemplo de estos resultados se muestra en la Fig. 2.19.

### 2.6.5 Absorción intra-banda por excitones múltiplemente cargados

Consideremos un sistema de electrones cuyo movimiento está confinado a un plano y sobre los cuales actúa un campo magnético perpendicular al plano de movimiento. También a lo largo

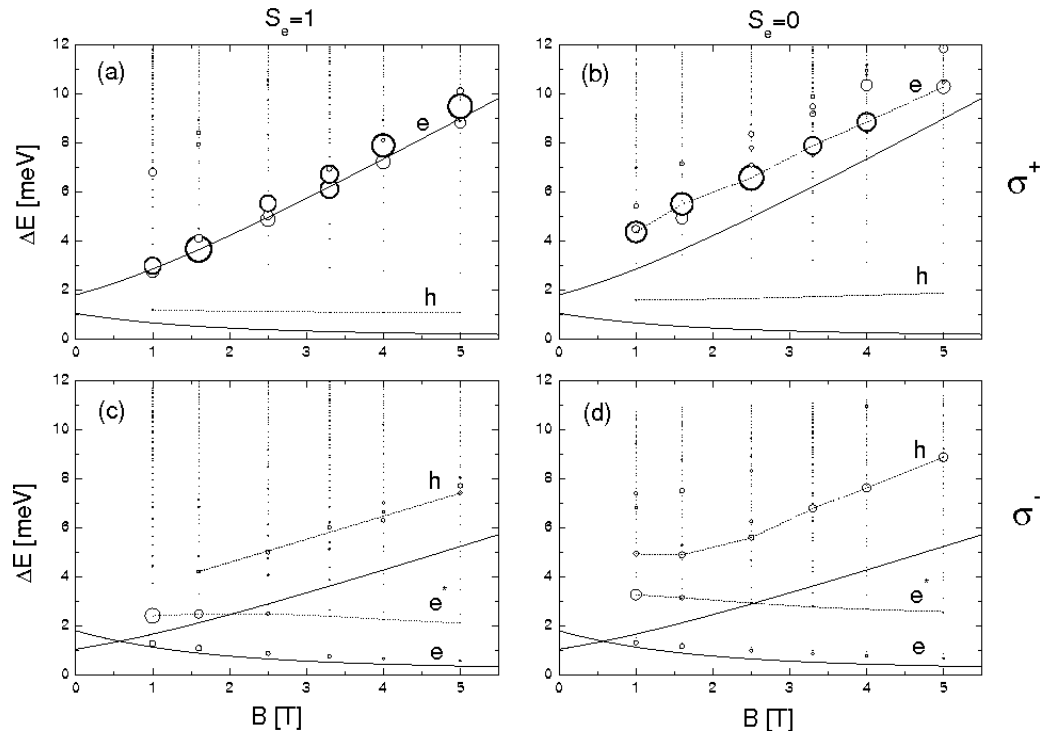


Figura 2.20: Posición de los picos de absorción y fortalezas de oscilador para el trión en estados tripletes ( $S_e = 1$ ) y singletes ( $S_e = 0$ ) de espín y polarización de la luz  $\sigma^\pm$ .

de la normal, hacemos incidir luz polarizada circularmente. La absorción de luz en el infrarrojo lejano mostrará un único pico localizado en la denominada energía de ciclotrón,  $\hbar\omega_{ce} = \hbar eB/m_e$ . Este resultado se conoce como Teorema de Kohn [100] y se debe a que la luz se acopla con el centro de masa del conjunto de electrones. Para un sistema de huecos, que se comportan como partículas con carga positiva, la posición del pico de absorción se halla por la misma fórmula (basta sustituir  $m_e$  por  $m_h$ ), pero la polarización de la luz es opuesta. Los electrones absorben la polarización  $\sigma^+$  y los huecos la  $\sigma^-$ .

Este razonamiento permite comprender a grandes rasgos el experimento reportado en [101], donde en esencia se mide la absorción de ciclotrón para electrones en un pozo cuántico como función de la concentración de electrones en el mismo. A diferencia del problema mencionado en el párrafo anterior, un segundo láser con energía superior a la brecha del semiconductor crea pares electrón-hueco, con lo que el sistema no contiene sólo cargas negativas, sino muchos electrones y un hueco. Por esa razón, la posición del pico de absorción deja de seguir la fórmula simple mencionada mas arriba y comienza a depender de la concentración (densidad superficial) de electrones. Los resultados experimentales son “interpretados” en términos de excitaciones colectivas del tipo plasmón mas un hueco. Dichos resultados pueden resumirse en que el pico de absorción se corre hacia el azul a medida que aumenta la concentración de electrones.

En el trabajo [31] se calcula la absorción en el infrarrojo de sistemas compuestos por unos pocos electrones (de 2 a 5) y un hueco. En el plano del movimiento se ha superpuesto, además, un potencial parabólico, con el cual modelaremos un punto cuántico [100]. El trabajo extiende los cálculos presentados previamente para el biexcitón (2 electrones mas 2 huecos) en un punto [26].

La comparación directa de nuestros resultados con el experimento reportado en [101] desde luego que no es posible. El confinamiento lateral puede inducir comportamientos que no están presentes en el caso infinito. Sin embargo, uno espera que cualitativamente se reproduzca el corrimiento al azul observado en el experimento. Por otro lado, no existen impedimentos para realizar mediciones directamente en un punto cuántico o en un arreglo de puntos. Nótese que en [101] la absorción en el infrarrojo se mide indirectamente a través de los cambios inducidos en la luminiscencia cuando el haz infrarrojo es conectado. Y la luminiscencia es una técnica extremadamente sensible y de fácil implementación.

Para los cálculos utilizamos un modelo simple de dos bandas con parámetros apropiados para el GaAs. La matriz hamiltoniana se diagonaliza exactamente en una base de funciones de partículas libres en un campo magnético. Las dimensiones de esta matriz están entre 40,000 para los sistemas mas pequeños y 350,000 para los mas grandes. Matrices de estas dimensiones son diagonalizadas con ayuda del algoritmo de Lanczos, el cual nos permite obtener un conjunto de los autovalores mas bajos de energía. El error estimado para las energías de excitación es de 0.02 meV y para las fortalezas de oscilador (normalizadas a la unidad) de 0.02.

Un ejemplo de los resultados se muestra en la Fig. 2.20. En este caso, el sistema tratado es el trión o  $X^-$  ( es decir 2 electrones y un hueco, lo que daría una carga neta igual a -1. En general,  $X^{n-}$  designará a un sistema compuesto por  $n + 1$  electrones y un hueco). Los gráficos están separados de acuerdo a la proyección sobre el eje  $z$  del espín total de los electrones,  $S_e$  y a la polarización de la luz absorbida. Los puntos en los gráficos dan las posiciones de los picos principales de absorción. Como información adicional damos también la fortaleza de oscilador en forma de un círculo centrado en la posición del pico de absorción. De manera que un círculo grande simboliza un pico fuerte de absorción.

En los gráficos se ven también líneas gruesas que simbolizan los máximos de Kohn para electrones o huecos en un punto cuántico parabólico [100]:

$$\Delta E_{\pm}^{(e)} = \hbar\Omega_e \pm \frac{\hbar\omega_{ce}}{2}, \quad (2.81)$$

$$\Delta E_{\pm}^{(h)} = \hbar\Omega_h \mp \frac{\hbar\omega_{ch}}{2}, \quad (2.82)$$

donde  $\Omega_e = \sqrt{\omega_{0e}^2 + \omega_{ce}^2}/4$ ,  $\omega_{0e}$  es la frecuencia correspondiente al confinamiento lateral de los electrones, etc. El subíndice  $\pm$  en la energía se refiere a la absorción de un fotón con polarización  $\sigma^{\pm}$ .

El resultado principal de nuestros cálculos se puede resumir en que la interacción entre los electrones y el hueco provoca un corrimiento de los picos de absorción con respecto a la posición predicha por (2.81, 2.82). La dependencia de este corrimiento respecto a la carga neta,  $n$ , del punto cuántico es la siguiente: cuando  $n$  va de 1 a 3 el corrimiento disminuye (es decir, los picos se acercan a las posiciones dadas por (2.81, 2.82)), mientras que para  $n = 4$  crece nuevamente, manifestando la tendencia observada en el experimento de que cuando la concentración de electrones aumenta los picos de absorción se corren hacia el azul.

## 2.7 La aplicación de los métodos de Hartree-Fock y de la fase aleatoria (RPA) a puntos cuánticos grandes. Resonancias dipolares gigantes y el efecto Raman

Los trabajos [22, 23] están dedicados a la absorción intrabanda en sistemas de decenas o cientos de pares electrón-hueco en un punto cuántico, mientras que los artículos [27, 30, 32, 34, 37, 38] abordan la dispersión inelástica de luz (efecto Raman) en puntos cuánticos. El común denominador de todos ellos es que utilizan aproximaciones de campo medio tanto para el estado base (Hartree-Fock) como para los estados excitados (la denominada aproximación de fase aleatoria, RPA). Mas abajo se describen algunos de los resultados mas interesantes de estos trabajos.

### 2.7.1 Resonancias dipolares gigantes en sistemas neutros de electrones y huecos

Las resonancias dipolares gigantes (GDR) son excitaciones colectivas de núcleos [103] que juegan un importante papel en la foto-absorción y en otras reacciones nucleares. En el trabajo [22] se muestra que estados muy similares existen en sistemas de electrones y huecos en puntos cuánticos semiconductores. Cualitativamente, la GDR se puede ver como una oscilación en contrafase de los electrones y los huecos. Es decir, los electrones moviéndose en una dirección y los huecos en la opuesta bajo la acción del campo eléctrico oscilante de la luz.

Las energías de excitación y los elementos de matriz del operador de dipolo son calculados a partir de la denominada aproximación de fase aleatoria (RPA) en sistemas de hasta 110 pares e - h, concluyéndose que en las GDR se concentra aproximadamente el 98 % de la absorción de luz con frecuencias de TeraHertz en estos sistemas.

La RPA requiere como paso previo que el estado base sea obtenido en la aproximación de Hartree - Fock (HF), por lo que se implementó la solución iterativa de las ecuaciones de HF:

$$\begin{aligned} \sum_t \left\{ \begin{aligned} & E_{es}^{(0)} \delta_{st} + \beta \sum_{\gamma \leq \mu_F^e} \sum_{u,v} [\langle s, u | 1/r | t, v \rangle \\ & - \langle s, u | 1/r | v, t \rangle] C_{\gamma,u}^e C_{\gamma,v}^e \\ & - \beta \sum_{\gamma \leq \mu_F^h} \sum_{u,v} \langle s, u | 1/r | t, v \rangle C_{\gamma,u}^h C_{\gamma,v}^h \end{aligned} \right\} C_{\alpha,t}^e = E_{e\alpha} C_{\alpha,s}^e, \end{aligned} \quad (2.83)$$

donde los orbitales electrónicos ocupados se expresan en términos de las funciones de oscilador a través de los coeficientes  $C_{\alpha,s}$ . Ecuaciones análogas a (2.83) se pueden escribir para la descomposición de los orbitales correspondientes a los huecos. Note que los  $E^{(0)}$  son las energías del oscilador en 2D

$$E_{es}^{(0)} = \hbar \sqrt{\omega_0^2 + \omega_c^2/4} \{2k_s + |l_s| + 1\} + \frac{\hbar \omega_c}{2} l_s$$

$$E_{hs}^{(0)} = \frac{m_e}{m_h} \hbar \sqrt{\omega_0^2 + \omega_c^2/4} \{2k_s + |l_s| + 1\} + g_e \mu_B B S_z^e, \quad (2.84)$$

$$- \frac{m_e}{m_h} \frac{\hbar \omega_c}{2} l_s - g_h \mu_B B S_z^h, \quad (2.85)$$

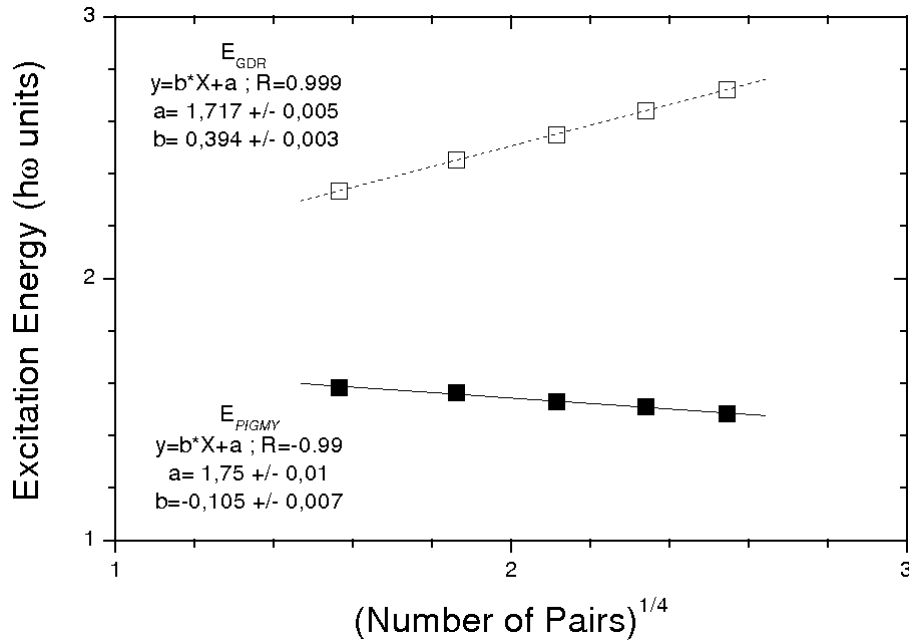


Figura 2.21: Posición de las resonancias gigantes y pigmeas como función del número de pares en el punto cuántico.

Por otro lado, en la RPA el estado base  $|RPA\rangle$  se supone que contiene correlaciones entre las partículas y los estados excitados se buscan en la forma

$$\Psi = Q^\dagger |RPA\rangle, \quad (2.86)$$

donde el operador  $Q^\dagger$  viene dado por la expresión

$$Q^\dagger = \sum_{\sigma,\lambda} (X_{\sigma\lambda}^e e_\sigma^\dagger e_\lambda + X_{\sigma\lambda}^h h_\sigma^\dagger h_\lambda - Y_{\lambda\sigma}^e e_\lambda^\dagger e_\sigma - Y_{\lambda\sigma}^h h_\lambda^\dagger h_\sigma). \quad (2.87)$$

El índice  $\lambda$  corre sobre estados ocupados de HF, mientras que  $\sigma$  corre sobre estados desocupados (por encima del nivel de Fermi). Los coeficientes  $X$ ,  $Y$  se determinan por ecuaciones del tipo:

$$\sum_{\tau,\mu} \{ A_{\sigma\lambda,\tau\mu}^{ee} X_{\tau\mu}^e + A_{\sigma\lambda,\tau\mu}^{eh} X_{\tau\mu}^h + B_{\sigma\lambda,\mu\tau}^{ee} Y_{\mu\tau}^e + B_{\sigma\lambda,\mu\tau}^{eh} Y_{\mu\tau}^h \} = \hbar \Omega X_{\sigma\lambda}^e, \quad (2.88)$$

en las cuales  $\hbar\Omega$  son las energías de excitación y las matrices  $A$  y  $B$  vienen dadas por

$$\begin{aligned}
A_{\sigma\lambda,\tau\mu}^{ee} &= (E_{e\sigma} - E_{e\lambda})\delta_{\sigma\tau}\delta_{\lambda\mu} + \beta (\langle\sigma, \mu|1/r|\lambda, \tau\rangle \\
&\quad - \langle\sigma, \mu|1/r|\tau, \lambda\rangle), \\
A_{\sigma\lambda,\tau\mu}^{eh} &= -\beta\langle\sigma, \mu|1/r|\lambda, \tau\rangle, \\
B_{\sigma\lambda,\mu\tau}^{ee} &= \beta(\langle\sigma, \tau|1/r|\lambda, \mu\rangle - \langle\sigma, \tau|1/r|\mu, \lambda\rangle), \\
B_{\sigma\lambda,\mu\tau}^{eh} &= -\beta\langle\sigma, \tau|1/r|\lambda, \mu\rangle.
\end{aligned} \tag{2.89}$$

Usualmente, energías de excitación positivas (físicas) y negativas (no físicas) aparecen como soluciones de (2.88). Las soluciones físicas aniquilan el estado base

$$Q|RPA\rangle = 0, \tag{2.90}$$

y satisfacen la condición de normalización

$$1 = \sum_{\sigma,\lambda} \{|X_{\sigma\lambda}^e|^2 + |X_{\sigma\lambda}^h|^2 - |Y_{\lambda\sigma}^e|^2 - |Y_{\lambda\sigma}^h|^2\}. \tag{2.91}$$

Las ecuaciones (2.88) dan directamente las energías de excitación. Los elementos de matriz del operador dipolar, que causa la transición del estado base a los estados excitados, se expresan en términos de los coeficientes  $X$  e  $Y$ . La posición de la GDR, es decir del estado que absorbe casi toda la fortaleza de la transición, como función del número de pares electrón-hueco se muestra en la Fig. 2.21.

Por otro lado, en fecha reciente, se ha observado experimentalmente [104, 105, 106, 107, 108], que el 2 % de la foto-absorción en núcleos se concentra en estados de mas baja energía de excitación. Por contraposición a las GDR, a estos estados se les ha llamado “resonancias pigmeas”.

Los resultados del trabajo [23] muestran que la analogía con núcleos es casi perfecta pues los cálculos de la absorción en sistemas de electrones y huecos también dan como resultado una concentración del 2 % restante en estados de baja energía de excitación. (Ver Fig. 2.22).

El número de resonancias pigmeas, al igual que en núcleos, aumenta con el número total de partículas. La posición de la GDR y del promedio de las resonancias pigmeas también depende del número  $N$  de pares e - h en el punto cuántico. Esta dependencia es cualitativamente similar a la de núcleos, es decir la GDR se desplaza hacia energías mas altas al aumentar  $N$ , mientras que las resonancias pigmeas se desplazan hacia mas bajas energías.

## 2.7.2 Dispersión inelástica de luz (Raman) en puntos cuánticos

Consideremos, otra vez, el modelo simplificado de punto cuántico parabólico descrito en la sección anterior, pero incluyamos en él decenas de electrones. La intención es acercarnos a las condiciones de los experimentos [64], en los cuales se miden las intensidades Raman en puntos con decenas o cientos de electrones. La dispersión de la luz en este modelo se puede calcular

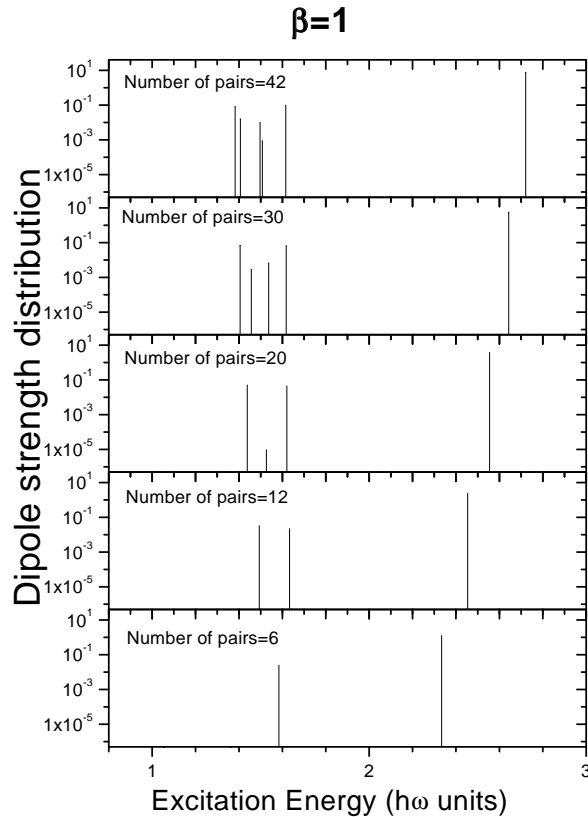


Figura 2.22: Intensidades de las resonancias gigantes y pigmeas en puntos cuánticos.

a partir de la teoría de perturbaciones de segundo orden [109]. Es decir, el tránsito desde un estado inicial electrónico,  $|i\rangle$ , hasta un estado final,  $|f\rangle$ , con la consiguiente absorción de un fotón de frecuencia  $\nu_i$  y emisión de otro de frecuencia  $\nu_f$ , se realiza a través del paso (virtual) por estados intermedios,  $|int\rangle$ . En las condiciones de los experimentos, la energía del fotón incidente es  $h\nu_i > E_{gap}$ , donde  $E_{gap}$  es la brecha del semiconductor, por lo que los estados intermedios contienen, además de los electrones iniciales, un par adicional electrón - hueco.

La amplitud del proceso se calcula a partir de la expresión:

$$A_{fi} \sim \sum_{int} \frac{\langle f, N_i - 1, 1_f | H_{e-r}^+ | int, N_i - 1 \rangle \langle int, N_i - 1 | H_{e-r}^- | i, N_i \rangle}{h\nu_i - (E_{int} - E_i) + i\Gamma_{int}}, \quad (2.92)$$

donde  $H_{e-r}$  es el hamiltoniano de interacción de los electrones con la radiación y  $\Gamma_{int}$  es el ancho energético (fenomenológico) de los niveles intermedios.  $N_i$  es el número de fotones en el haz incidente.

El cálculo de  $A_{fi}$  requiere de : a) Las energías y funciones de onda uniparticulares de electrones y huecos, que son obtenidas en la aproximación de Hartree-Fock. Las mismas son utilizadas como punto de partida en los pasos posteriores. La mezcla de sub-bandas de valencia es considerada en un esquema de Kohn - Luttinger  $4 \times 4$ . b) Los estados finales de  $N_e$  electrones,  $|f\rangle$ , hallados por medio de la aproximación de fase aleatoria (RPA por sus siglas en inglés)[58]. c) Los estados intermedios de  $N_e + 1$  electrones y un hueco,  $|int\rangle$ , que se obtienen a partir del denominado formalismo pp-RPA. Y, finalmente, d) calcular los elementos de matriz de  $H_{e-r}$

con estas funciones y realizar la suma (2.92).

Con las amplitudes  $A_{fi}$  uno calcula la sección eficaz de dispersión:

$$\frac{d\sigma}{d\nu_f} \sim \sum_f |A_{fi}|^2 \delta(E_i + h\nu_i - E_f - h\nu_f), \quad (2.93)$$

que es la magnitud medida experimentalmente.

Como se mencionó antes, en el conjunto de experimentos discutidos en [64] se obtienen los espectros Raman en puntos con decenas o cientos de electrones. Mediciones sin o en presencia de campos magnéticos, sin o teniendo en cuenta la polarización de la luz incidente y reflejada, bajo diferentes condiciones de resonancia, son reportadas en estos experimentos. De forma simplificada, podemos resumir los resultados así: bajo condiciones de resonancia extrema (es decir cuando  $h\nu_i$  prácticamente coincide con  $E_{gap}$ ) el espectro Raman es dominado por excitaciones uniparticulares, mientras que a 40 meV o más por encima de  $E_{gap}$  los picos Raman están asociados a estados finales que representan excitaciones colectivas (de espín o de carga). En los experimentos,  $h\nu_i$  no va mucho más allá de 40 meV por encima de  $E_{gap}$  con el objetivo de no inducir procesos con fonones ópticos. El efecto principal del campo magnético es mezclar las excitaciones de espín y de carga, así como desplazar la posición de los picos Raman.

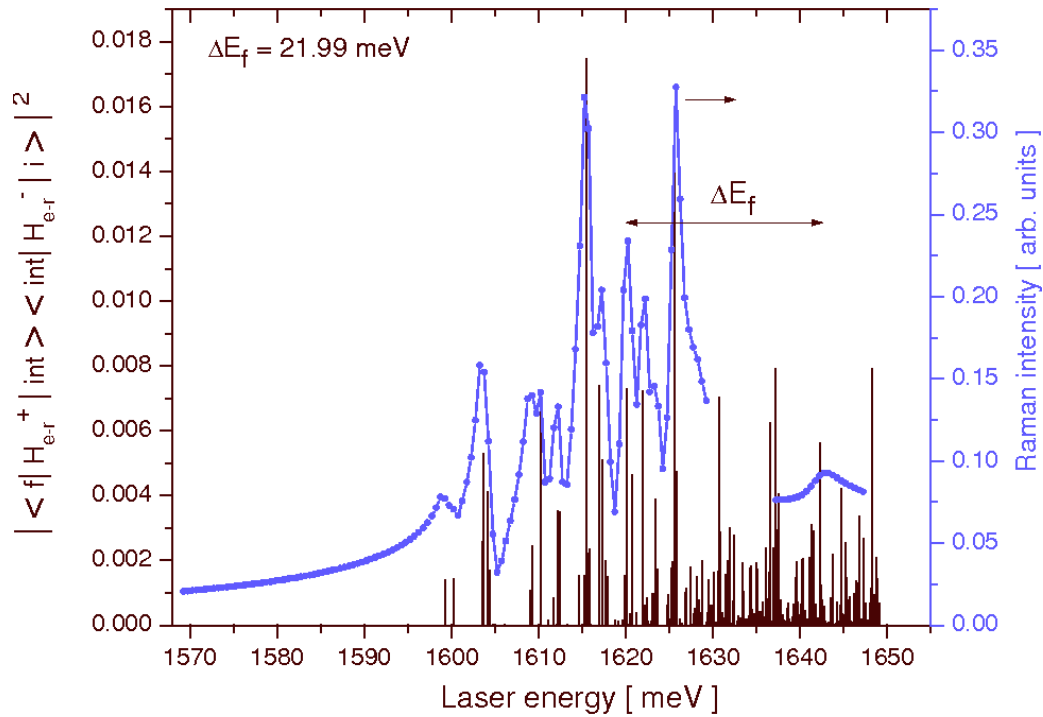


Figura 2.23: Intensidad del pico Raman asociado a un estado final monopolar de carga como función de  $h\nu_i$ . Una resonancia en el canal de salida a 1642 meV es modelada.

En el artículo [32] se presenta un análisis detallado de la dispersión Raman a cero campo magnético. Se consideran tres condiciones de resonancia: a)  $E_{gap} - 30 \text{ meV} < h\nu_i < E_{gap}$ , b)  $E_{gap} < h\nu_i < E_{gap} + 30 \text{ meV}$  (resonancia extrema) y c)  $E_{gap} + 30 \text{ meV} < h\nu_i$ . El caso a) no ha sido abordado experimentalmente pero en el artículo se muestra su utilidad para identificar los

diferentes picos en el espectro. La teoría presentada en [32] reproduce de forma cualitativa los aspectos mas relevantes observados en el experimento y señala otros, como por ejemplo el papel de  $\Gamma_{int}$  y su dependencia con la energía de excitación, que no habían sido notados previamente.

Como ejemplo y resumen de los resultados de [32], en la Fig. 2.23 mostramos la intensidad del pico mas importante del espectro (excitación monopolar colectiva de carga) como función de la energía de excitación,  $h\nu_i$ . La brecha efectiva en este caso es aproximadamente 1600 meV. En el caso  $h\nu_i < E_{gap}$  observamos una dependencia monótona de la intensidad del pico Raman. En resonancia extrema, por el contrario, las oscilaciones abruptas de la intensidad están asociadas a estados intermedios resonantes con  $h\nu_i$ . Cuando  $h\nu_i > E_{gap} + 30$  meV, el aumento de  $\Gamma_{int}$  hace que se pierda la dependencia oscilante con  $\Gamma_{int}$  observada antes y, en general, provoca una disminución de la intensidad. Sólo para determinados estados intermedios del tipo “excitón + excitación colectiva”,  $\Gamma_{int}$  conserva valores relativamente pequeños. En la figura, uno de estos estados es el responsable del aumento de intensidad en  $h\nu_i \approx 1642$  meV. En la figura se han incluido además, en forma de líneas verticales, los numeradores que entran en la suma (2.92). La comparación con las intensidades Raman muestra que los efectos de interferencia son poco importantes en estos procesos.

Otros resultados con y sin campo magnético externo son presentados en [30]. El comportamiento de las reglas de selección en presencia de un campo magnético externo es estudiado en [38]. El caso de puntos cuánticos neutros o no dopados, donde una población de electrones y huecos con  $N_e = N_h$  es inducida por un segundo láser, es tratado en [27]. Este último caso hasta el momento no cuenta con una comprobación experimental.

## 2.8 La teoría degenerada de perturbaciones a segundo orden en puntos cuánticos de tamaño intermedio

La dimensión de la matriz que representa al operador hamiltoniano crece exponencialmente con el número de partículas. Así, por ej., si consideramos un sistema de electrones en un punto cuántico cuasi-bidimensional y en presencia de un campo magnético fuerte, donde la base de funciones mas idónea se construye a partir de los estados de un electrón en un campo magnético, sistemas con mas de 6 electrones se hacen prácticamente inaccesibles a la diagonalización exacta.

Consideremos, por ejemplo, 12 electrones con el espín polarizado a lo largo de  $B$ . Si tomamos 78 estados en el primer nivel de Landau (1LL) para construir determinantes de Slater de 12 electrones entonces, en el caso que la proyección del momento angular total es  $L = -132$ , el número de funciones alcanza la cifra de 674 585. Esta cifra es manejable con el algoritmo de Lanczos según vimos en la Sec. 2.6. Sin embargo, intentemos incluir los efectos de los LLs mas altos. Estos efectos son importantes ya que pueden ser comparables en magnitud con las interacciones de intercambio. Tomamos 3 LLs con 78 estados en cada uno. El número de funciones de la base es ahora mayor que 172 millones y la matriz hamiltoniana se hace inmanejable.

En la presente sección se muestra que el problema aún se puede tratar utilizando la teoría degenerada de perturbaciones de segundo orden (PT2) [110]. Esto significa exactamente lo siguiente. El hamiltoniano se separa así:  $H = H_0 + V$ , donde  $H_0$  describe a  $N$  electrones en  $B$  y  $V = V_{conf} + V_{Coul}$  contiene al potencial confinante y a la interacción de Coulomb entre

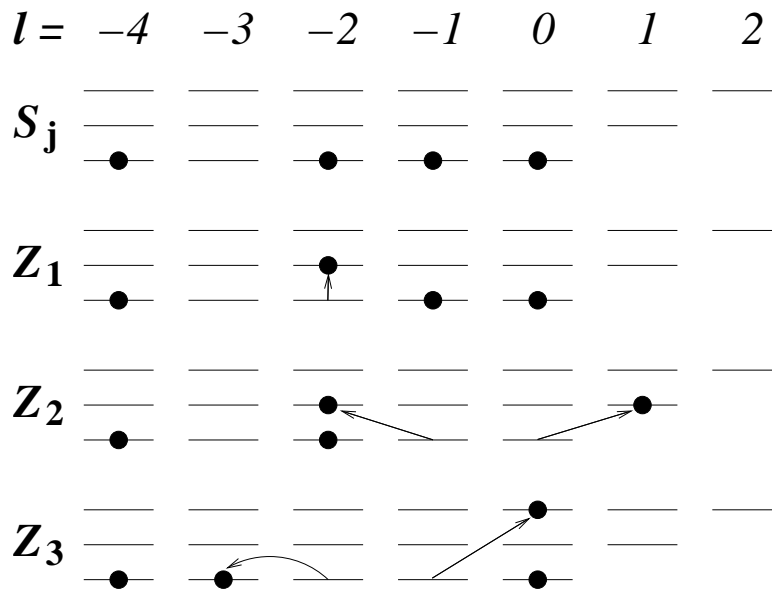


Figura 2.24: Funciones de Slater en el subespacio de degeneración,  $S_j$ , y en el orthogonal,  $Z$ , que entran en la suma de la Eq. (2.95). El ejemplo es para un sistema con 4 electrones.

electrones.

$H_0$  describe a un sistema cuántico altamente degenerado. Para el caso de 12 electrones en el 1LL aparecen los 674 585 determinantes de Slater mencionados y a todos ellos corresponde la energía  $E_0 = N\hbar\omega/2$ . A primer orden de teoría de perturbaciones degenerada (TP1) debemos diagonalizar la matriz

$$H_{ij}^{(1)} = \langle S_i | H | S_j \rangle = E_0 \delta_{ij} + \langle S_i | V | S_j \rangle, \quad (2.94)$$

donde los  $\{S_i\}$  conforman el subespacio de degeneración. En el siguiente orden perturbativo, TP2, debemos diagonalizar la matriz

$$H_{ij}^{(2)} = E_0 \delta_{ij} + \langle S_i | V + \sum_Z \frac{V|Z\rangle\langle Z|V}{E_0 - E_0(Z)} | S_j \rangle. \quad (2.95)$$

La suma sobre estados intermedios,  $\{Z\}$ , corre por el subespacio orthogonal, es decir, aquellos que cumplen  $\langle Z | S_i \rangle = 0$ . En los  $Z$  al menos uno de los electrones debe ocupar un estado de un LL mas alto que el primero. Vemos entonces que en TP2 la matriz a diagonalizar tiene la misma dimensión que en TP1, pero el cálculo de los elementos de matriz es mas complejo.

Uno puede utilizar las propiedades de  $V$  para optimizar la suma sobre los  $Z$ . Por ejemplo, dado un  $S_j$  uno puede sumar sólo por los  $Z$  tales que  $\langle Z | V | S_j \rangle$  sea distinto de cero. Las propiedades de  $V$  a que nos referimos son:  $V_{conf}$  es un operador de una partícula,  $V_{Coul}$  es un operador de dos partículas y ambos conservan la proyección del momento angular total,  $L$ . Uno de los aspectos del trabajo consiste en diseñar algoritmos que construyan estos estados intermedios. En general, la suma de la Ec. (2.95) se hará sobre estados de tres tipos:  $Z_1$ ,  $Z_2$  y  $Z_3$ . Un ejemplo para el caso  $N_e = 4$  que muestra las características de estos estados se da en la Fig. 2.24.

En el trabajo [39] se reportan los resultados para el caso  $N_e = 12$ . Los sistemas con  $N_e = 2$  (que se resuelve exactamente) y  $N_e = 6$  (cuyos autovalores de energía mas bajos fueron calculados bajo el esquema de Lanczos utilizando estados monoelectrónicos de los tres primeros LLs [28]) fueron utilizados como bancos de prueba para validar el algoritmo. La matriz  $H^{(2)}$  tiene 10 veces mas elementos no nulos que  $H^{(1)}$ , alcanzando tamaños del orden de 15 GB en disco duro. Su generación demora aproximadamente 2 semanas en un pequeño cluster de 10 procesadores a 2.4 GHz. La diagonalización por el método de Lanczos toma de 1 a 2 semanas en un solo procesador.

En la Fig. 2.25 mostramos los valores mas bajos de energía en cada sector con momento angular total  $L$  fijo. El campo magnético se tomó como 10 T. Puede verse que la contribución de TP2 a la energía es del orden de  $-0.6$  meV, es decir aproximadamente  $-0.05$  meV por electrón. Estos valores son comparables a las energías de intercambio que marcan diferencias entre estados con distintos valores del espín total [28]. De aquí que si queremos determinar el espín total y el momento angular del estado base es necesario incluir los LLs mas altos en vez de reducir el cálculo al 1LL, como usualmente se hace [111].

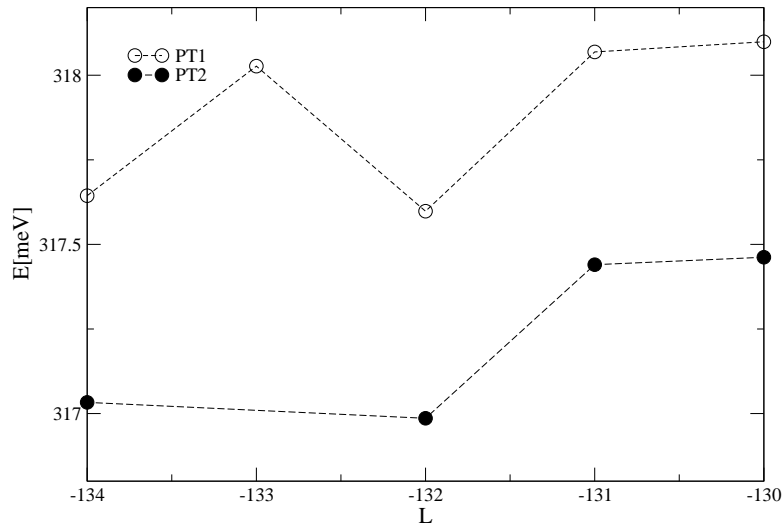


Figura 2.25: Estimados por PT1 y PT2 de los niveles de energía mas bajos con espines polarizados de 12 electrones.  $B = 10$  T.

# Capítulo 3

## Conclusiones y perspectivas

Hemos presentado un conjunto de métodos no perturbativos y su utilización en problemas físicos donde intervienen varias partículas. Estos problemas son difíciles de tratar y se distinguen del problema de una partícula en un campo exterior, del cual existen numerosos ejemplos de soluciones analíticas, o de los problemas donde intervienen un número muy grande de partículas y en los cuales son aplicables los métodos de la Física Estadística.

Como se mencionó antes, los principales aportes nuestros no se concentran en los métodos, a los cuales hemos hecho modestas contribuciones, sino en el estudio de sistemas físicos con varias partículas empleando estos métodos. A nuestro juicio, los resultados mas importantes de todos los reseñados en la tesis son los siguientes:

- El cuadro ofrecido por el método  $1/D$ , que permite obtener expresiones analíticas para la energía del estado básico, energías de excitación y radios cuadráticos medios de sistemas que contienen desde 3 hasta alrededor de 10 partículas. En cierto sentido, la configuración rígida que se obtiene en la aproximación principal del método es análoga a la órbita de Bohr en el átomo de Hidrógeno, mientras que las correcciones provienen de relajar la rigidez y permitir oscilaciones.
- La demostración (numérica) de que algunos de los estados excitados en sistemas cuánticos de tres partículas (en especial, los denominados estados “respiratorios” o de “dilatación - contracción”) son muy bien descritos como pequeñas oscilaciones en un potencial construido a partir de la función de onda del estado base (Sec. 2.2). Algo similar es bien conocido por los especialistas que se dedican a la espectroscopía de núcleos atómicos y de otros sistemas: el espectro de excitaciones mas bajas muchas veces puede describirse como osciladores armónicos.
- La construcción de aproximaciones analíticas a la energía de sistemas con cientos de electrones basados en los aproximantes dobles de Padé. Se mostró que el error relativo de estos estimados no superaba el 2 - 3% cualesquiera fuera la fortaleza del potencial confinante.
- La “demostración”, con varios hechos, de que los puntos cuánticos neutros fuertemente excitados, de forma que el número de pares electrón - hueco en ellos es relativamente grande, son, en gran medida, análogos a los núcleos atómicos. En efecto, en ellos existen

partículas de diversas especies, interacciones atractivas y repulsivas, la aproximación de Hartree - Fock trabaja muy bien, la existencia de apareamiento entre fermiones, la formación de estados colectivos como las resonancias dipolares gigantes y otros hacen que la analogía sea casi perfecta.

- Varios resultados específicos para puntos cuánticos con unos pocos electrones y huecos nos parecen muy interesantes y ameritan ser verificados en el experimento. Resaltemos, como ejemplo, el de la Sec. 2.6.2 referido al tunelamiento vertical a través de un punto cuántico con 6 electrones acoplado débilmente a electrodos. En esa sección se mostró que la medición de conductancia permitiría estimar con buena exactitud la densidad de estados excitados en el punto.
- Los cálculos nuestros de dispersión Raman en puntos cuánticos con decenas de electrones, motivados por los experimentos realizados en los 90, los cuales no tienen similares en la literatura científica.
- Y, finalmente, la utilización combinada del método de Lanczos con la teoría de perturbaciones a segundo orden, lo cual ha mostrado en un ejemplo específico que se pueden tratar problemas cuya matriz hamiltoniana es de dimensión extragrande. Esta combinación pudiera convertirse en una metódica de alcance mas general.

Mirando hacia delante vemos que para nosotros existen varias perspectivas inmediatas de continuar el trabajo. La primera consiste en introducir otros métodos en el análisis de sistemas con varias partículas. Entre los mas prometedores tenemos las integrales continuales evaluadas por Monte Carlo [112], con las cuales el autor ya tuvo una primera experiencia en 1986 [113], el método de los funcionales de densidad [114], el denominado Grupo de Renormalización en Mecánica Cuántica [115] y otros.

La segunda posibilidad, para nosotros muy interesante, está relacionada con el efecto Raman en puntos cuánticos multielectrónicos. Ya mencionamos que en los últimos años los cálculos de sección Raman en puntos grandes son exclusivamente de nuestra autoría. Los experimentos habían prácticamente desaparecido de la literatura desde el año 98, pero en época reciente se nota un resurgimiento relacionado con la medición del efecto Raman en puntos autoensamblados [116, 117]. Desde hace varios años mantenemos una colaboración con D.J. Lockwood en el Institute of Microstructural Sciences, en Ottawa, en el cual en estos momentos se están realizando mediciones. La maquinaria nuestra de cálculo está lista, por lo que tenemos buenas posibilidades. Resaltemos que a esta temática está dedicada la tesis de doctorado en Física de Alain Delgado, próxima a defenderse.

También en la dirección de vincular nuestros estimados teóricos con las mediciones experimentales está la colaboración que estamos comenzando con D. Whittaker en la University of Sheffield en el Reino Unido, que aborda la óptica de puntos cuánticos acoplados resonantemente a microcavidades semiconductoras. Herbert Vinck, cuya tesis de doctorado en Física está en ejecución, ha desarrollado una estancia larga en estos laboratorios con resultados muy alentadores. Esperemos que la interacción con éstos y otros grupos nos permita llevar nuestra comprensión teórica de los problemas tratados a un nivel superior.

Otra perspectiva de trabajo alentadora se refiere a la condensación de Bose - Einstein de excitones en puntos cuánticos. Los trabajos sobre condensación de excitones comenzaron en los años 60, pero aún no han recibido una confirmación experimental. Recientemente, la búsqueda

se ha enfocado en la condensación en regiones finitas del espacio (puntos cuánticos) [118], inspirándose en el éxito que han tenido los trabajos experimentales sobre condensación de átomos en trampas. En nuestro caso, ya está implementado el algoritmo basado en la función BCS para tratar con decenas de pares confinados en un potencial exterior. Faltaría ampliar un poco más el tamaño del sistema, de forma que los indicios de comportamiento macroscópico se hagan más evidentes, y extender el formalismo al caso de temperatura no cero. El trabajo en esta dirección ya ha comenzado.

Finalmente, una extensión natural de nuestro trabajo y que pudiera tener impacto consiste en abordar sistemas moleculares de interés biológico que involucren decenas o centenares de electrones. Los pasos que estamos dando en este problema van en dos direcciones: a) un tratamiento cualitativo que nos permita obtener estimados simples y rápidos y b) la implementación de los métodos basados en los funcionales de densidad, los cuales representan en la actualidad la forma más avanzada de abordar estos sistemas [120].

# Bibliografía

- [1] A. González, R. González, Some particular solutions of the N-body problem on the line, obtained from supersymmetry, *Few-Body Systems* 13 (1992) 153 - 158.
- [2] A. González, R. Martínez, Strong interaction radii of hadrons in the  $1/d$  expansion, *Revista Mexicana de Física* 39 (1993) 893 - 901.
- [3] A. González, G. Loyola, M. Moshinsky, Radial equation for the particle - antiparticle system with a Dirac oscillator interaction and a qualitative application to mesons, *Revista Mexicana de Física* 40 (1994) 12 - 30.
- [4] A. González, David Leal, Binding and excitation energies of Lennard-Jones clusters in the  $1/d$  method, *J. Phys. B* 26 (1993) 1253 - 1261.
- [5] A. González, The three-body problem in the ground state representation, *Few-Body Systems* 15 (1993) 87 - 97.
- [6] A. González, Improved semiclassical quantization of systems with a few degrees of freedom, *Revista Mexicana de Física* 39, Suplemento 2 (1993) 106 - 113.
- [7] A. González, A. López, F. Morales, Improved semiclassical quantization of molecular oscillations, *J. Phys. B* 27 (1994) 1743 - 1751.
- [8] A. González, Improved Semiclassics for the excited states of three particles, *Few-Body Systems* 20 (1996) 155 - 173.
- [9] L. Quiroga, A. Camacho, A. González, Two-dimensional magnetoexciton: a shifted- $1/N$  approach, *J. Phys.: Cond. Matt.* 7 (1995) 7517 - 7527.
- [10] A. González, L. Quiroga, B. Rodríguez, Planar three-body problem with Calogero interactions and a magnetic field, *Few-Body Systems* 21 (1996) 47-61.
- [11] A. González,  $N$  electrons in a quantum dot: Two-point Padé approximants, *J. Phys.: Cond. Matter* 9 (1997) 4643 - 4657.
- [12] A. González, I. Mikhailov, Renormalised perturbative series for the impurity levels in a quantum well, *Int. J. Mod. Phys. B* 11 (1997) 3469-77.
- [13] A. González, R. Pérez, P. Fileviez, Two and three electrons in a quantum dot:  $1/|J|$ -expansión, *J. Phys.: Cond. Matt.* 9 (1997) 8465-76.
- [14] A. González, B. Partoens and F. M. Peeters, Padé approximants to the ground-state energy of closed-shell quantum dots, *Phys. Rev. B* 56 (1997) 15740-43.

- [15] R. Pérez, A. González, Few-anyon systems in a parabolic dot, *Phys. Rev. B* 58 (1998) 7412-19.
- [16] A. González, A. Pérez, Ground-state properties of bosons in three- and two-dimensional traps, *Int. J. Mod. Phys. B* 12 (1998) 2129-38.
- [17] A. González, B. Partoens, A. Matulis and F. M. Peeters, Ground-state energy of confined charged bosons in two dimensions, *Phys. Rev. B* 59 (1999) 1653-56.
- [18] R. Capote and A. González, Stochastic number projection method in the pairing-force problem, *Phys. Rev. C* 59 (1999) 3477-80.
- [19] B. A. Rodríguez, A. González, L. Quiroga, F. J. Rodríguez, and R. Capote, Crossover between the electron-hole phase and the BCS excitonic phase in quantum dots, *Int. J. Mod. Phys. B* 14 (2000) 71-83.
- [20] R. Pérez and A. González, Small excitonic complexes in a disk-shaped quantum dot, *Physica E* 8 (2000) 91 - 98.
- [21] A. González and E. Menéndez, Interband absorption and luminescence in small quantum dots under strong magnetic fields, *Physica E* 8 (2000) 333-341.
- [22] A. Delgado, L. Lavin, R. Capote and A. González, Far infrared giant dipole resonances in neutral quantum dots, *Physica E* 8 (2000) 342-348.
- [23] R. Capote, A. Delgado and A. González, Pygmy resonances in artificial nuclei: far-infrared absorption by electron-hole droplets, *Mod. Phys. Lett. B* 15 (2001) 81 - 87.
- [24] A. González and R. Capote, Vertical magneto-tunneling through a quantum dot and the density of states of small electronic systems, *Physica E* 10 (2001) 528 - 534.
- [25] B. Rodríguez and A. González, Spin polarization and magneto-luminescence of confined electron-hole systems, *Phys. Rev. B* 63 (2001) 205324, 6 pags.
- [26] R. Pérez and A. González, Internal transitions in the confined biexciton, *J. Phys.: Condens. Matter* 13 (2001) L539 - 544.
- [27] A. Delgado, A. González and E. Menéndez-Proupin, Resonant Raman scattering off neutral quantum dots, *Phys. Rev. B* 65 (2002) 155306, 11 pags.
- [28] A. González and R. Capote, Discontinuities in the level density of small quantum dots under strong magnetic fields, *Phys. Rev. B* 66 (2002) 113311, 3 pags.
- [29] A. González, Espectro de energías, densidad de niveles, polarización del espín, propiedades de transporte y ópticas de puntos cuánticos y trampas de átomos, *Revista Cubana de Física* 19 (2002) 5 - 14.
- [30] A. Delgado and A. González, Inelastic light scattering and the excited states of many-electron quantum dots, *J. Phys.: Condens. Matter* 15 (2003) 4259 - 4265.
- [31] Ricardo Pérez, Augusto González and Jorge Mahecha, Internal transitions of negatively charged magnetoexcitons in quantum dots, *J. Phys.: Condens. Matter* 15 (2003) 7681 - 7686.

- [32] A. Delgado, A. González and D.J. Lockwood, Semiquantitative theory of electronic Raman scattering from medium-size quantum dots, *Phys. Rev. B* 69 (2004) 155314, 11 pags.
- [33] Augusto González y Alain Delgado, Resonancia de ciclotrón y dispersión inelástica de luz en puntos cuánticos semiconductores, *Revista Cubana de Física* 21 (2004) 12 - 16.
- [34] Augusto González and Alain Delgado, Inelastic light scattering and the off-resonance approximation, *Physica E* 27 (2005) 5 - 12.
- [35] Boris A. Rodríguez and Augusto González, Effects of Coulomb interactions on the splitting of luminescence lines, *Physica E* 27 (2005) 129 - 139.
- [36] Herbert Vinck-Posada, Boris A. Rodríguez, and Augusto González, Mean-field dynamics of a quantum dot - microcavity system, *Physica E* 27 (2005) 427 - 438.
- [37] A. Delgado, A. González, and D.J. Lockwood, Electronic Raman scattering in quantum dots revisited, *Solid State Commun.* 135 (2005) 554 - 562.
- [38] A. Delgado, A. González, and D.J. Lockwood, Selection and jump rules in the electronic Raman scattering from artificial atoms, *Phys. Rev. B* 71 (2005) 241311 (R), 4 pags.
- [39] Augusto González, Juan David Serna, Roberto Capote, and Guillermo Avendaño, Higher Landau levels contribution to the energy of interacting electrons in a quantum dot, *Physica E* 30 (2005) 134 - 139.
- [40] A. Cabo, A. González, The role of dissipation in quantum Hall voltage profiles, *Revista Mexicana de Física* 40 (1994) 71 - 76.
- [41] A. González, Mechanical interpretation of existence theorems in a nonlinear Dirichlet problem, *Ciencias Matemáticas* (2005).
- [42] Augusto González, The effect of trap anharmonicity on the critical temperature for Bose-Einstein condensation, *Revista Cubana de Física* 20 (2003) 107 - 109.
- [43] M.C. Gutzwiller, *Rev. Mod. Phys.* 70 (1998) 589.
- [44] V. Efimov, *Comments Nucl. Part. Phys.* (1990) 271.
- [45] L.D. Fadeev and S.P. Merkuriev, *Quantum scattering theory for several particle systems*, Kluwer Academic, Dordrecht, 1993.
- [46] M.A. Olshnetsky and A.M. Perelomov, *Phys. Rep.* 94 (1983) 313.
- [47] D.Z. Freedman and P.F. Mende, *Nucl. Phys.* B344 (1990) 317.
- [48] W. Kwong and J.L. Rosner, *Prog. Theor. Phys. Suppl.* 86 (1986) 366.
- [49] A. Comtet, A. Bandrauk, D. Campbell, *Phys. Lett.* B150 (1985) 159.
- [50] R. Dutt, A. Khare, U. Sukhatme, *Am J. Phys.* 59 (1991) 723.
- [51] M. Crescimano, *J. Math. Phys.* 31 (1990) 2946.

- [52] D.R. Herschbach, J. Avery and O. Goscinsky (eds.), Dimensional scaling in chemical physics, Kluwer Academic, Dordrecht, 1993.
- [53] D.R. Herschbach, J. Chem. Phys. 84 (1986) 838.
- [54] J.G. Loeser, J. Chem. Phys. 86 (1987) 5635.
- [55] A.H. MacDonald and D.R. Ritchie, Phys. Rev. B 33 (1986) 8336.
- [56] S. Giorgini, L.P. Pitaevskii and S. Stringari, J. Low Temp. Phys. 109 (1997) 309.
- [57] D.M. Ceperley, Lectures on quantum Monte Carlo, in Spring College in Computational Physics, ICTP, Trieste, 1997.
- [58] P. Ring and P. Schuck, The nuclear many-body problem, Springer, Berlin, 1980.
- [59] J.M. Gerard, B. Sermage, B. Gayral, B. Legrand, E. Costard, and V. Thierry-Mieg, Phys. Rev. Lett. **81** (1998) 1110.
- [60] G.S. Solomon, M. Pelton, and Y. Yamamoto, Phys. Rev. Lett. **86** (2001) 3903.
- [61] M. Pelton, C. Santori, J. Vuckovic, B. Zhang, G.S. Solomon, J. Plant, and Y. Yamamoto, Phys. Rev. Lett. **89** (2002) 233602.
- [62] A. de Shalit and H. Feshbach, Theoretical nuclear physics, Vol. I, Wiley, New York, 1974.
- [63] T. Ando, Y. Arakawa, K. Furuya, et. al. (eds.), Mesoscopic physics and electronics, Springer, Berlin, 1998.
- [64] C.M. Sotomayor-Torres, D.J. Lockwood, and P.D. Wang, J. Electr. Materials 29 (2000) 576.
- [65] C. Steinebach, C. Schuller, and D. Heitmann, Phys. Rev. B59 (1999) 10240.
- [66] A. González, “El método  $1/D$  en la descripción de los estados ligados de tres o mas partículas”, Tesis de candidato a Dr. en Física, Inst. de Física P.N. Lebedev, Moscú, 1990.
- [67] A. González, Few-Body Systems 10 (1991) 43.
- [68] B. Povh and J. Hufner, Phys. Rev. Lett. 58 (1987) 1612.
- [69] B. Povh and J. Hufner, Nucl. Phys. A 478 (1988) 365c.
- [70] B. Povh and J. Hufner, Phys. Lett. B 245 (1990) 653.
- [71] A. González, Few-Body Systems 13 (1992) 105.
- [72] A. Martin, Phys. Lett. B 100 (1981) 511.
- [73] D. Leitner, J. Doll, and R. Whittell, J. Chem. Phys. 94 (1991) 6644.
- [74] R. Hernandez and J. Simons, J. Chem. Phys. 94 (1991) 2961.
- [75] T. Lee and J. Rice, J. Chem. Phys. 94 (1991) 1215.

- [76] U. Rothlisberger and W. Andreoni, *J. Chem. Phys.* 94 (1991) 8129.
- [77] D.A. Maksym, *Phys. Rev. B* 53 (1996) 10871.
- [78] V. Maslov and M. Fedoriuk, *Semiclassical approximation in Quantum Mechanics*. Dordrecht, Reidel, 1981.
- [79] M. Gutzwiller, *Chaos in Classical and Quantum Mechanics*. Springer, New-York, 1990.
- [80] A. Ishihara and E. W. Montroll, *Proc. Nat. Acad. Sci.* **68** (1971) 3111.
- [81] A.L. Fetter and D.L. Feder, *Phys. Rev. A* 58 (1998) 3185.
- [82] T. Haugset and H. Haugerud, *Phys. Rev. A* 57 (1998) 3809.
- [83] H.C. Pradham et. al. *Nucl. Phys. A* 201 (1973) 357.
- [84] J. Dobaczewski et. al. *Phys. Rev. C* 47 (1993) 2418.
- [85] I.V. Lerner and Yu.E. Lozovik. *Zh. Eksp. Teor. Fiz.* 80 (1981) 1488 [*Sov. Phys.—JETP* **53** (1981) 763].
- [86] T.C. Damen, L. Viña, J.E. Cunningham, J. Shah, and L.J. Sham. *Phys. Rev. Lett.* 67 (1991) 3432.
- [87] J.I. Perea, D. Porrás, and C. Tejedor, *Phys. Rev. B* 70 (2004) 115304.
- [88] M.H. Anderson et. al., *Science* 269 (1995) 198.
- [89] S. Schramm, K. Langange, and S.E. Koonin, *Astrophys. J.* 397 (1992) 579.
- [90] A.S. Alexandrov and N.F. Mott, *Semicond. Sci. Technol.* 6 (1993) 215.
- [91] Y.E. Kim and A.L. Zubarev, *Phys. Rev. A* 64 (2001) 013603.
- [92] R. Capote, E. Mainegra, and A. Ventura, *J. Phys. G* 24 (1998) 1113.
- [93] Y. Kim et. al. *Phys. Rev. B* 61 (2000) 4492.
- [94] S. Tarucha, D.G. Austing, and T. Honda. *Phys. Rev. Lett.* 77 (1996) 3613.
- [95] T.H. Oosterkamp, J.W. Janssen, L.P. Kouwenhoven et. al. *Phys. Rev. Lett.* 82 (1999) 2931.
- [96] L.P. Kouwenhoven, T.H. Oosterkamp, M.W.S. Danoesastro et. al. *Science* 278 (1997) 1788.
- [97] S. Sasaki, S.De Franceschi, J.M. Elzerman et. al. *Nature* 405 (2000) 764.
- [98] S.De Franceschi, S. Sasaki, J.M. Elzerman et. al. *Phys. Rev. Lett.* 86 (2001) 878.
- [99] H.A. Nickel, G. Kioseoglou, T. Yeo et. al. *Phy. Rev. B* 62 (2000) 2773.
- [100] L. Jacak, P. Hawrylak, and A. Wojs, *Quantum dots*, Springer-Verlag, Berlin, 1998.

- [101] H.A. Nickel, T.M. Yeo, A.B. Dzyubenko, B.D. McCombe, A. Petrou, A.Yu. Sivachenko, W. Schaff, and V. Umansky, *Phys. Rev. Lett.* **88** (2002) 056801.
- [102] J.K. Jain and R.K. Kamilla, in *Composite Fermions*, O. Heinonen (ed.), World Scientific, Singapore, 1988.
- [103] J. Speth (Ed.). *Electric and magnetic giant resonances in nuclei*, World Scientific, Singapore, 1991.
- [104] R.D. Herzberg et. al. *Phys. Rev. C* 60 (1999) 051307(R).
- [105] K. Govaert et. al. *Phys. Rev. C* 57 (1998) 2229.
- [106] R.D. Herzberg et al. *Phys. Lett. B* 390 (1997) 49.
- [107] J. Reif et. al. *Nucl. Phys. A* 620 (1997) 1.
- [108] F. Bauwens et. al. *Phys. Rev. C* 62 (2000) 024302.
- [109] R. Loudon, *Adv. Phys.* **13** (1964) 423.
- [110] L.D. Landau and E.M. Lifshits, *Quantum Mechanics, non-relativistic theory*, Pergamon Press, Oxford, 1977.
- [111] T. Chakraborty and P. Pietilainen, *The quantum Hall effects*, Springer, New York, 1996.
- [112] H. Kleinert, *Path integrals in Quantum Mechanics, Statistics, Polymer Physics, and financial markets*, World Scientific, Singapore, 2004.
- [113] A. González, *Soviet Physics - Theor. Math. Phys.* 69 (1986) 1016.
- [114] R.G. Parr and W. Yang, *Density functional theory of atoms and molecules*, Oxford University Press, New York, 1989.
- [115] S.R. White, *Phys. Rep.* 301 (1998) 187.
- [116] T. Brocke, M.-T. Bootsmann, M. Tews et. al., *Phys. Rev. Lett.* 91 (2003) 257401.
- [117] C.P. García, V. Pellegrini, A. Pinczuk et. al., <http://arxiv.org/cond-mat/0506143>.
- [118] Una revisión amplia del tema puede hallarse en S.A. Moskalenko and D.W. Snoke, *Bose - Einstein condensation of excitons and biexcitons and coherent nonlinear optics with excitons*, Cambridge Univ. Press, Cambridge, 2000.
- [119] Ver, por ejemplo, D.W. Snoke, Y. Liu and Z. Voros, *Solid State Commun.* 134 (2005) 37.
- [120] P. Giannozzi, F. De Angelis and R. Car, *J. Chem. Phys.* 120 (2004) 5903.